

Plan du cours MFE22

18/03: Les nuages dans l'atmosphère et le climat

25/03: Macro-physique des nuages

08/04: TP Numérique : Nuages & Rayonnement

22/04: Les nuages dans les Modèles de Climat

06/05: Micro-physique des nuages chauds

07/05: TP Numérique: Schéma de convection

# 1. La convection nuageuse



Target Name: Earth
Spacecraft: Space Shuttle
Produced by: NASA

Copyright: NASA Copyright Free

Policy

Cross Reference: STS41C-40-2130

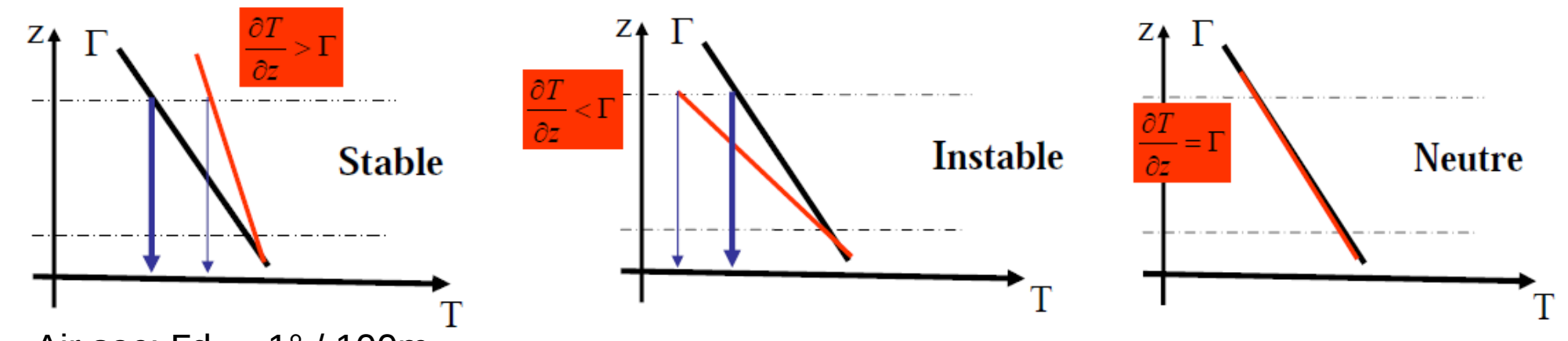
Date Released: April 1984

1.1 La couche limite nuageuse

1.2 La transition vers la convection profonde

1.3 L'organisation de la convection à méso-échelle

## Notion de stabilité locale de l'atmosphère



Air sec:  $\Gamma d = -1^{\circ} / 100m$ Air humide:  $\Gamma m \sim -0.45^{\circ} / 100m$ 

Gradient moyen dans l'atmosphère: -0.65° / 100m

On définit la température potentielle: Température de la particule d'air insaturé si elle était ramenée à p0 par transformation adiabatique

$$\theta = T(\frac{p_0}{p})^{\kappa}$$

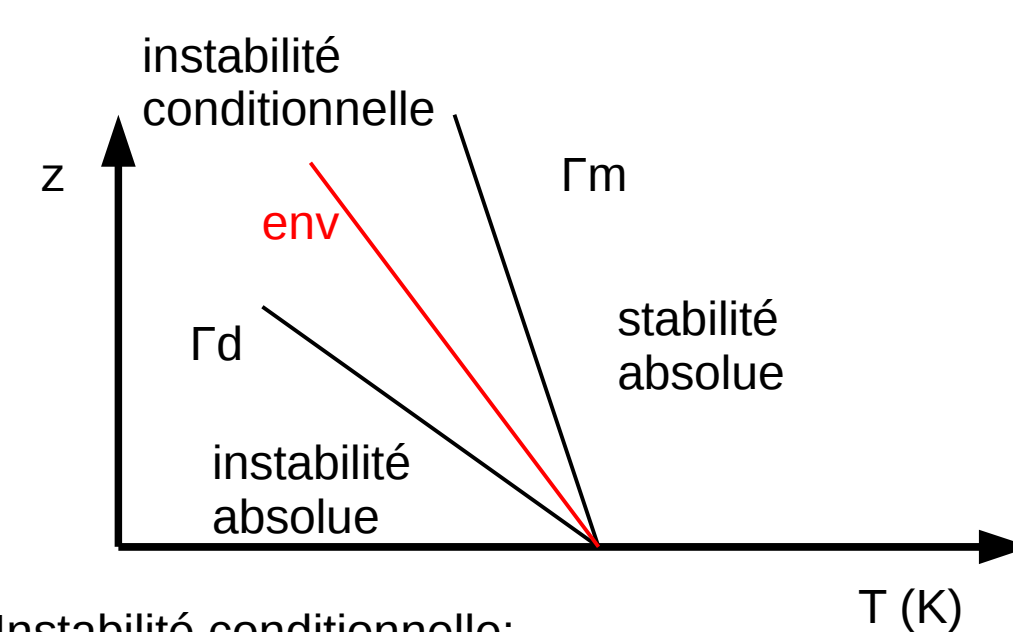
$$\frac{\partial \theta}{\partial z} < 0 \qquad \qquad \text{Instable}$$

$$\frac{\partial \theta}{\partial z} > 0 \qquad \qquad \text{Stable}$$

$$\frac{\partial \theta}{\partial z} > 0 \qquad \qquad \text{Stable}$$

$$\frac{\partial \theta}{\partial z} = 0 \qquad \qquad \text{Neutre}$$

#### L'instabilité conditionnelle



Instabilité conditionnelle: Les particules d'air insaturé sont stables

Les particules d'air saturé sont instables

Propriété des couches nuageuses

#### Notion de flottabilité

Lorsqu'une particule de masse volumique pp se déplace sur la verticale, elle est soumise à la force de flottabilité:  $\rho = \overline{\rho} \qquad \rho = \overline{\rho}$ 

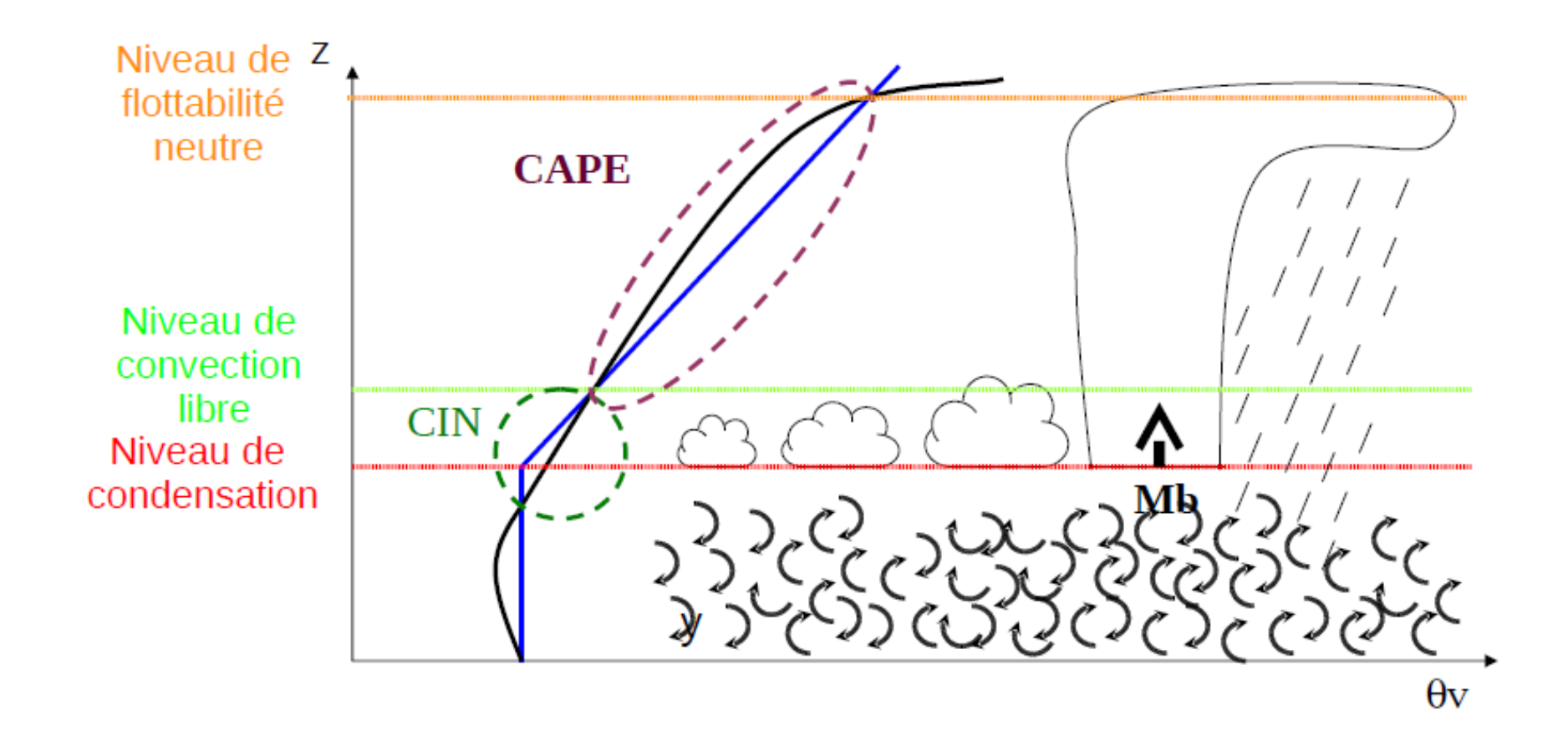
 $\gamma = -g \frac{\rho_p - \overline{\rho}}{\overline{\rho}} = g \frac{\theta_{vp} - \theta_v}{\overline{\theta_v}}$ 

avec

$$\theta_v = \theta(1 + 0.61q_v - q_l)$$

Le contenu en eau vapeur (liquide) augmente (diminue) la flottabilité d'une particule

C'est la température potentielle virtuelle, celle que devrait avoir une particule d'air sec pour avoir la même densité que l'air humide considéré.

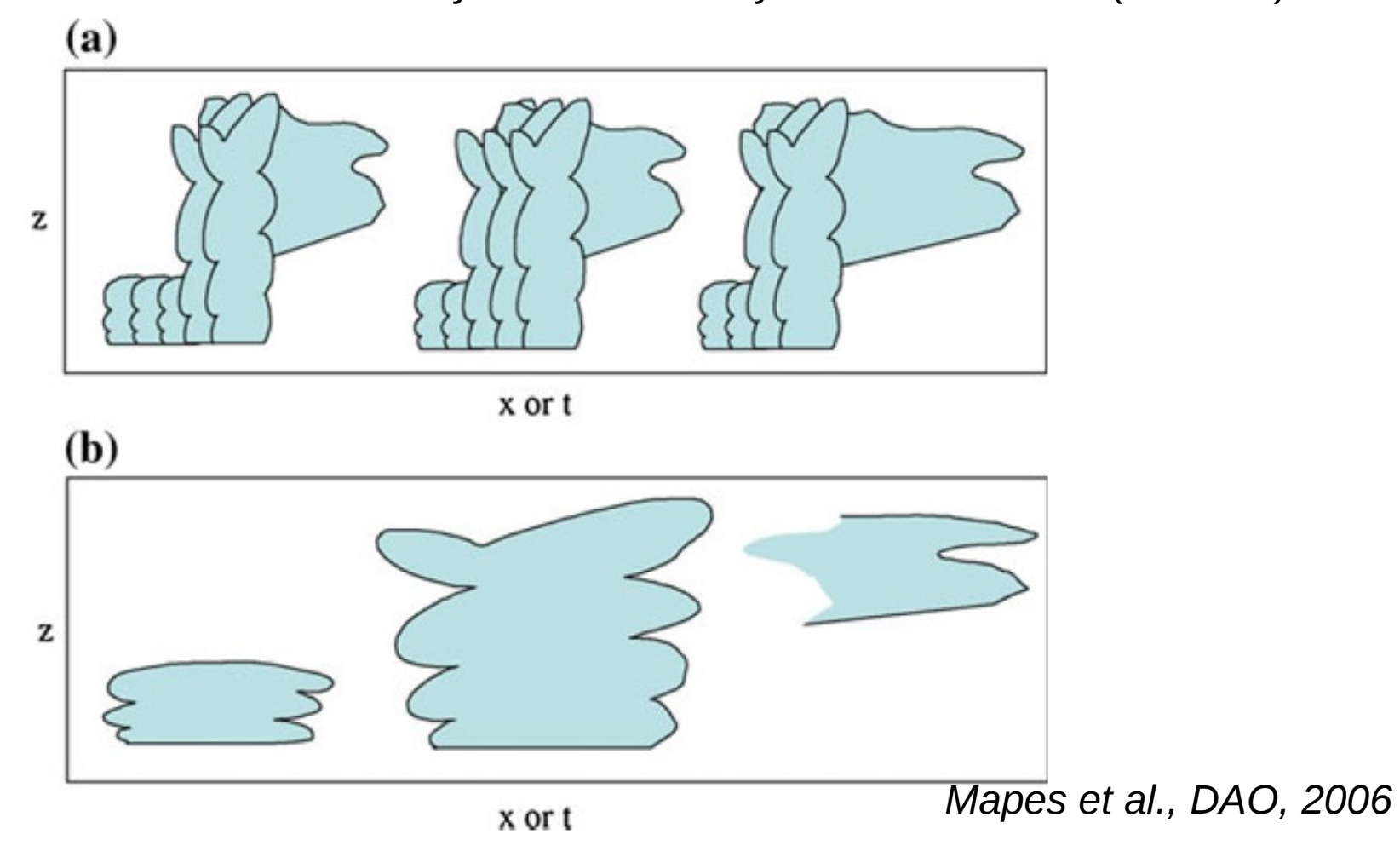


#### La convection nuageuse

Trois structures convectives basiques:

- convection peu profonde en sommet de couche limite
- tours convectives profondes
- nuages stratiformes et enclumes

Ces trois structures se retrouvent dans le cycle de vie des systèmes convectifs (12h-24h).



Mais elles se retrouvent aussi dans la variabilité de la convection à l'échelle de plusieurs jours ou mois.

La couche limite atmosphérique

Basse couche de l'atmosphère qui subit directement les interactions avec la surface

Nuit: qqs centaines de mètres

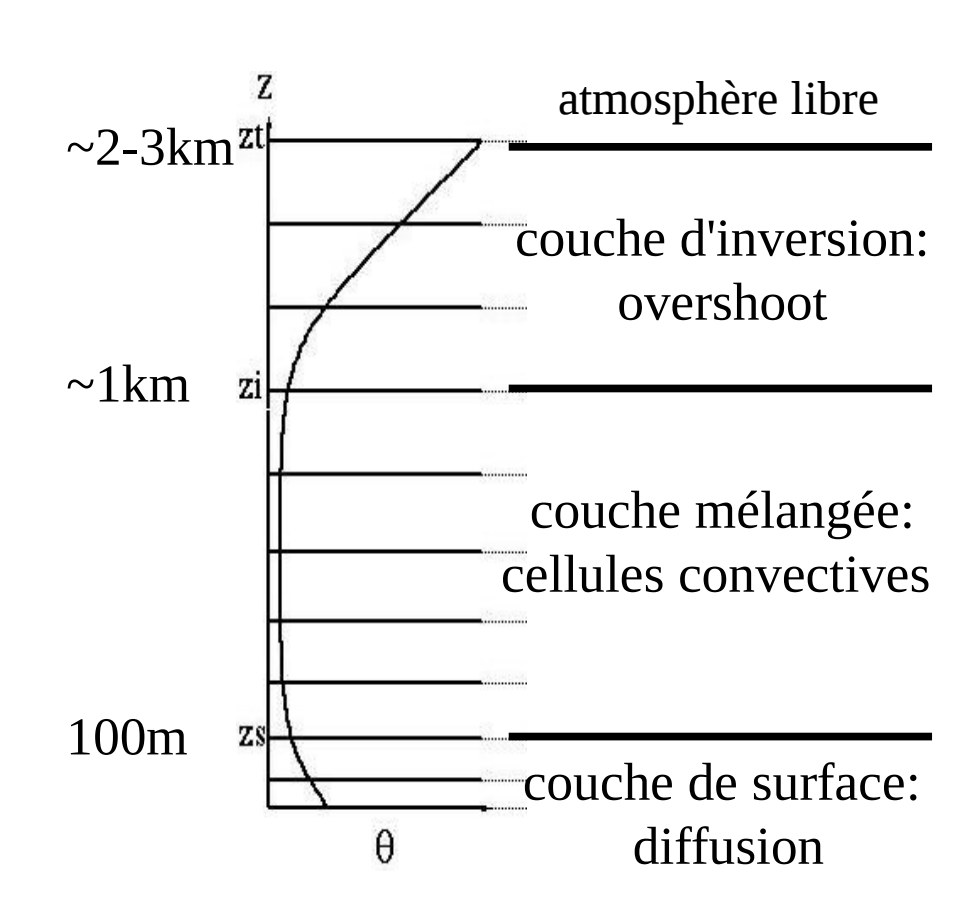
Jour: entre 1 et 3 km



Elle est le siège de mouvements turbulents à différentes échelles, générés par:

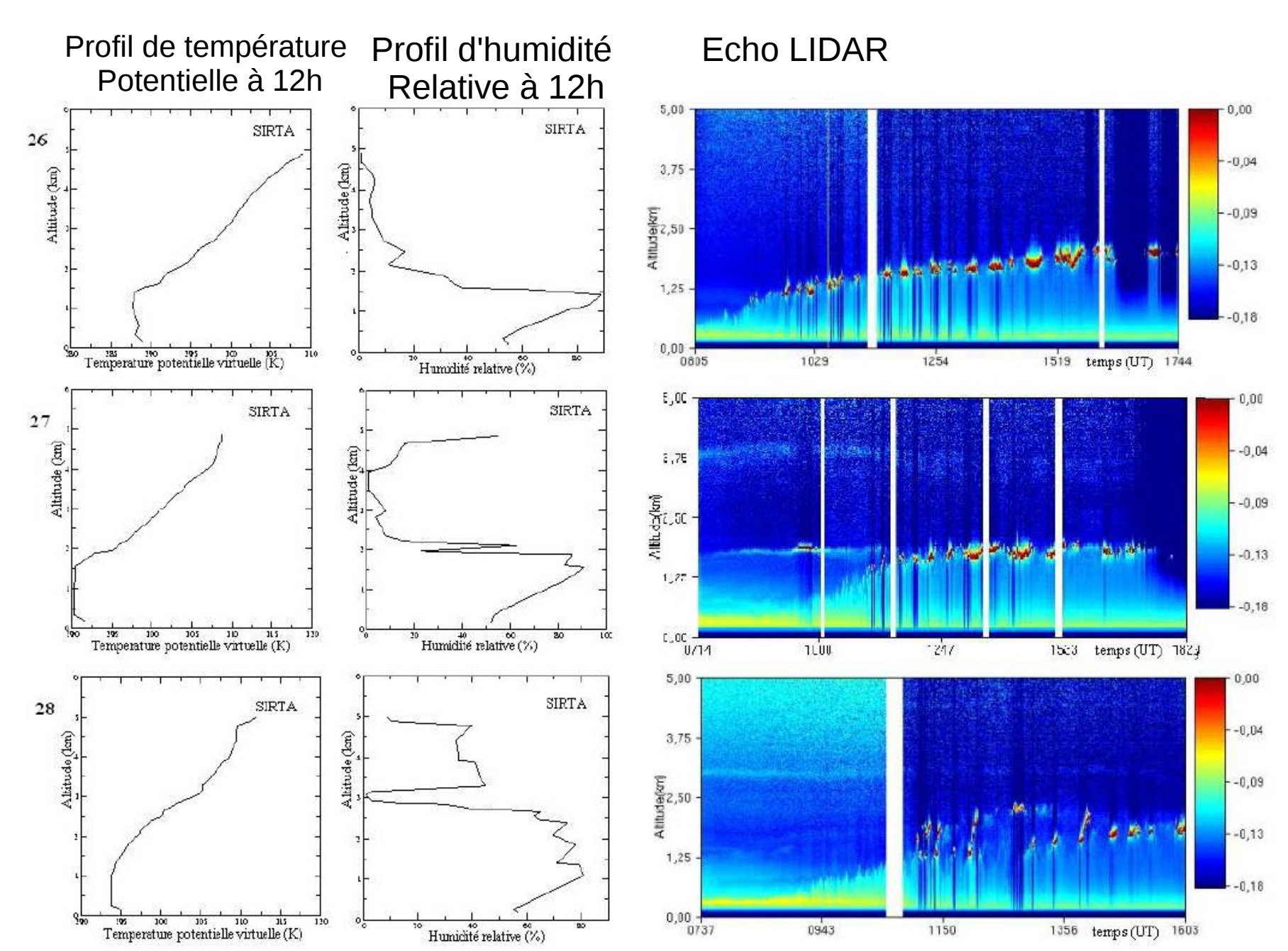
- le chauffage du sol par le rayonnement solaire (forçage thermique)
- le cisaillement de vent en surface dû à la friction (forçage dynamique)

La couche limite atmosphérique convective

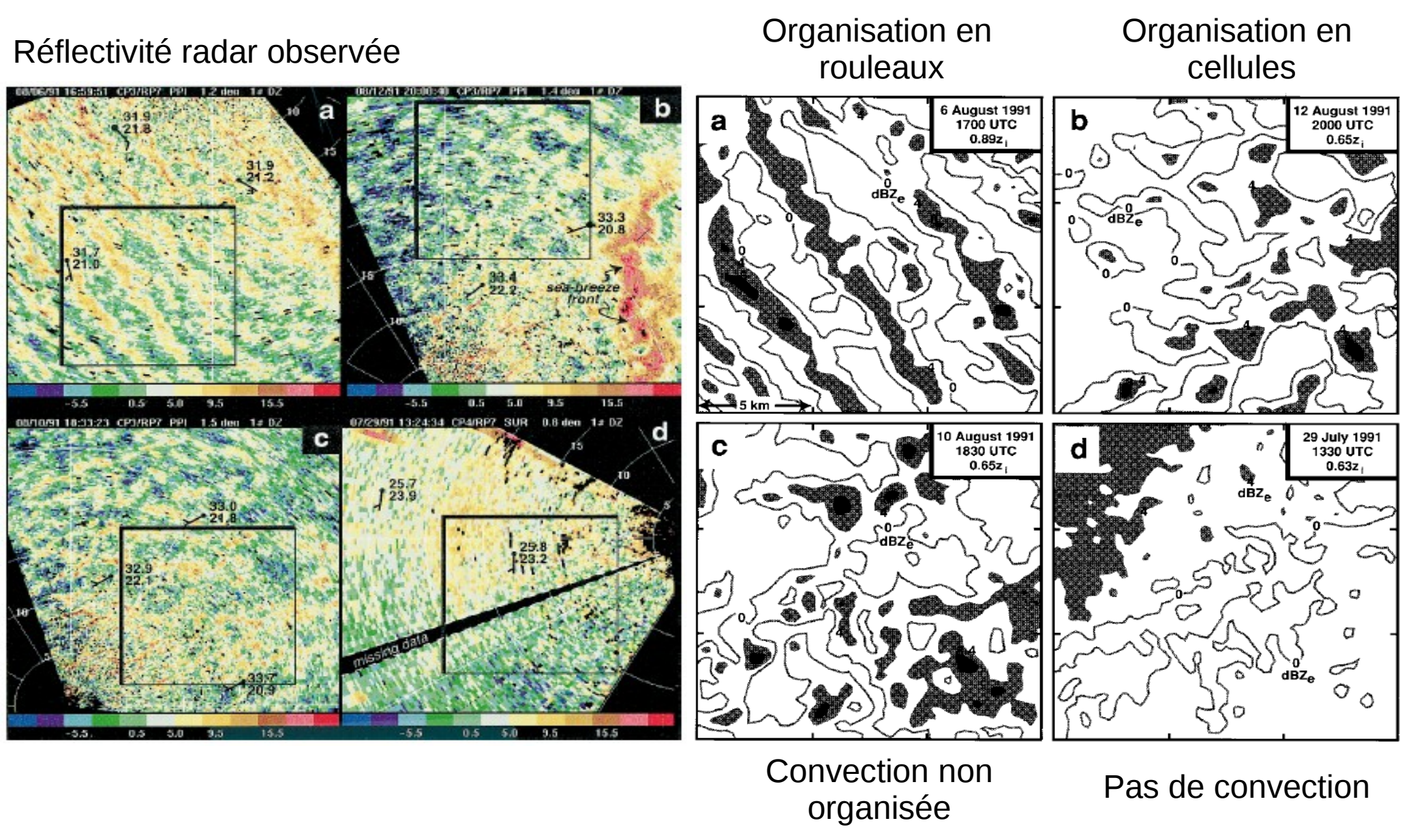


Observation de la couche limite convective au SIRTA (Palaiseau)

Trois jours successifs de cumulus de beau temps: 26, 27 et 28 mai 2003



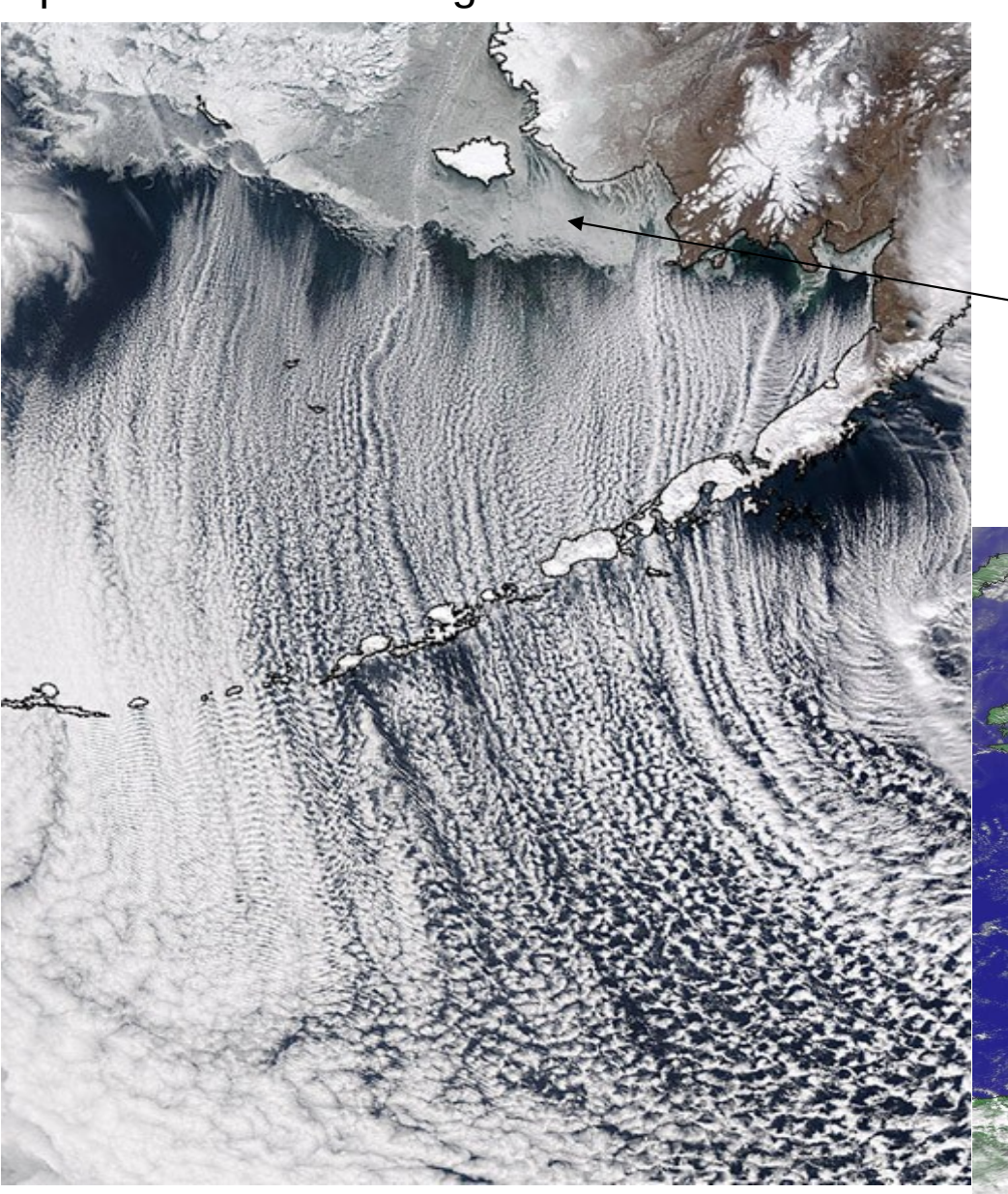
Observation des structures organisées de la couche limite Floride, été 1991

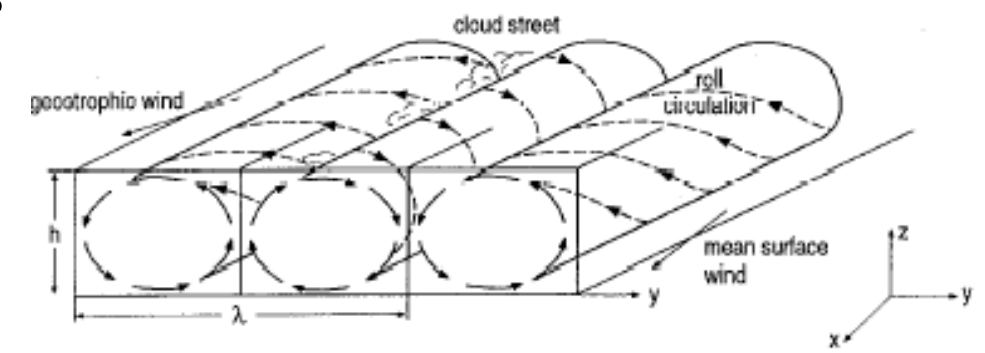


Weckwerth et al., MWR, 1997

L'organisation en rouleaux: les rues de nuages

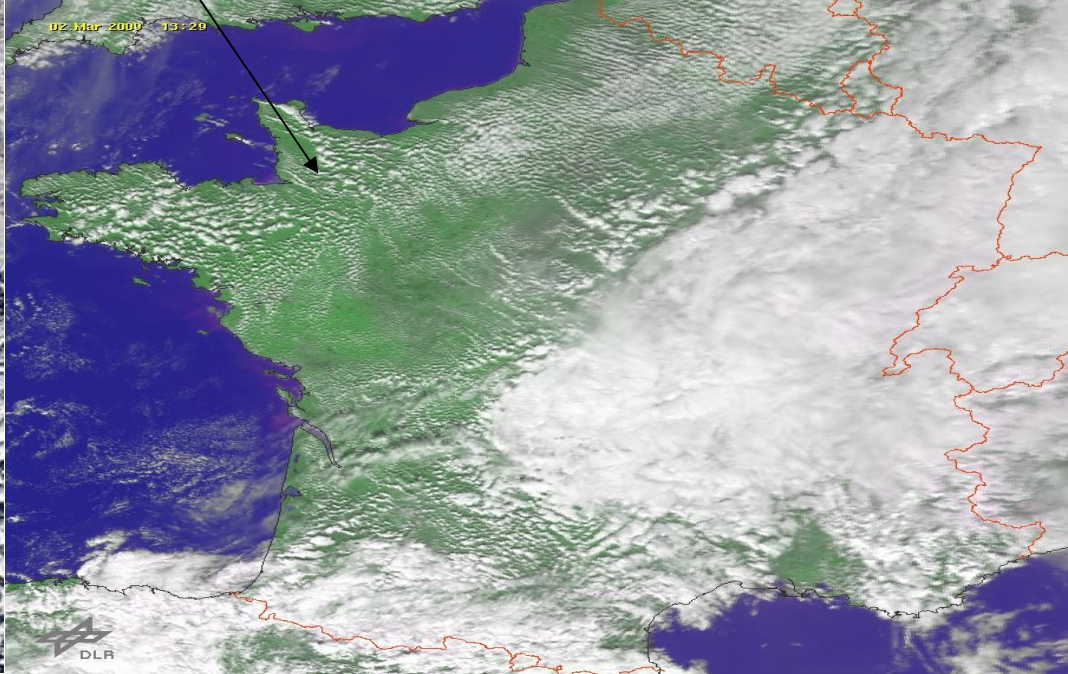
Les structures organisées sont visualisées ici par des rues de nuages





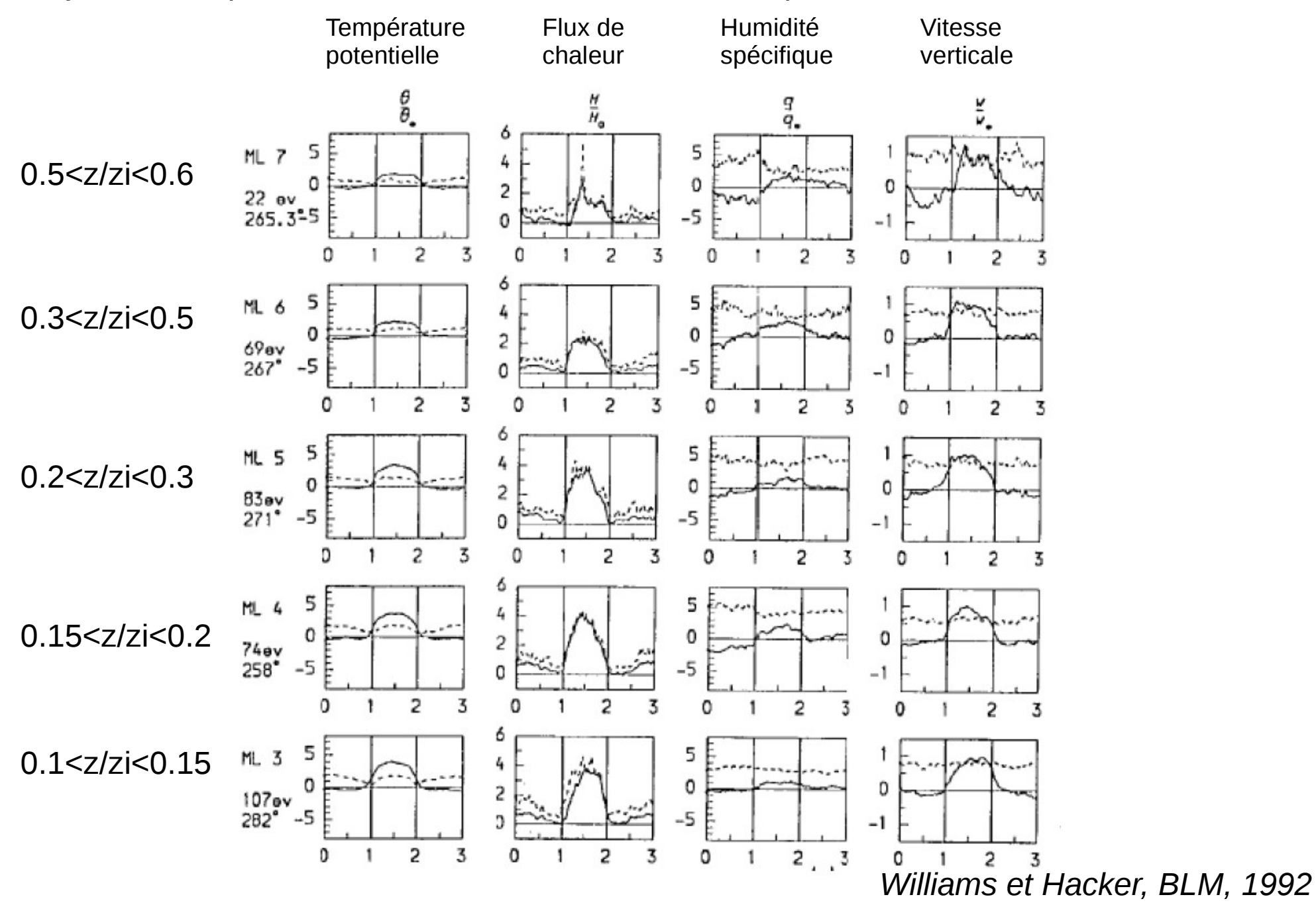
Exemple classique de rues de nuages générées au sommet de rouleaux convectifs:

- → Air polaire froid arrivant au-dessus d'un océan plus chaud.
- Air maritime chaud arrivant sur un continent plus chaud.



Observation de la couche limite convective: les panaches thermiques

Analyse en composites d'évènements chauds mesurés par vol avion en été en Australie



Observation de la couche limite convective: les panaches thermiques

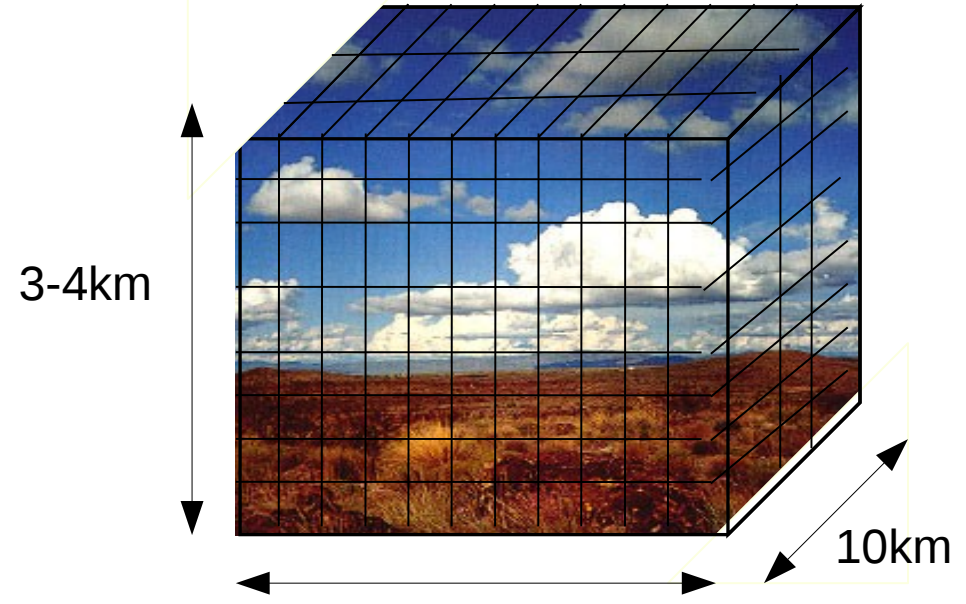
CASE II Cas II: 15 dec 1972- 12h48 CASE III SUPPRESSED AREA - 15 DECEMBER 1972 TRADE WIND CUMULUS AREA - 15 DECEMBER 1972 610 m CROSSWIND 531 m CROSSWIND 1437.8 1438.6 Cas III: 15 dec 1972 - 14h18 1328.8 1329.9 1438.2 1438.6 1327.7 1437.8 TIME (LST) TIME (LST) Les cumulus sont la partie saturée des thermiques initiés en surface

(a)

(b)

Lemone et Pennell, MWR, 1976

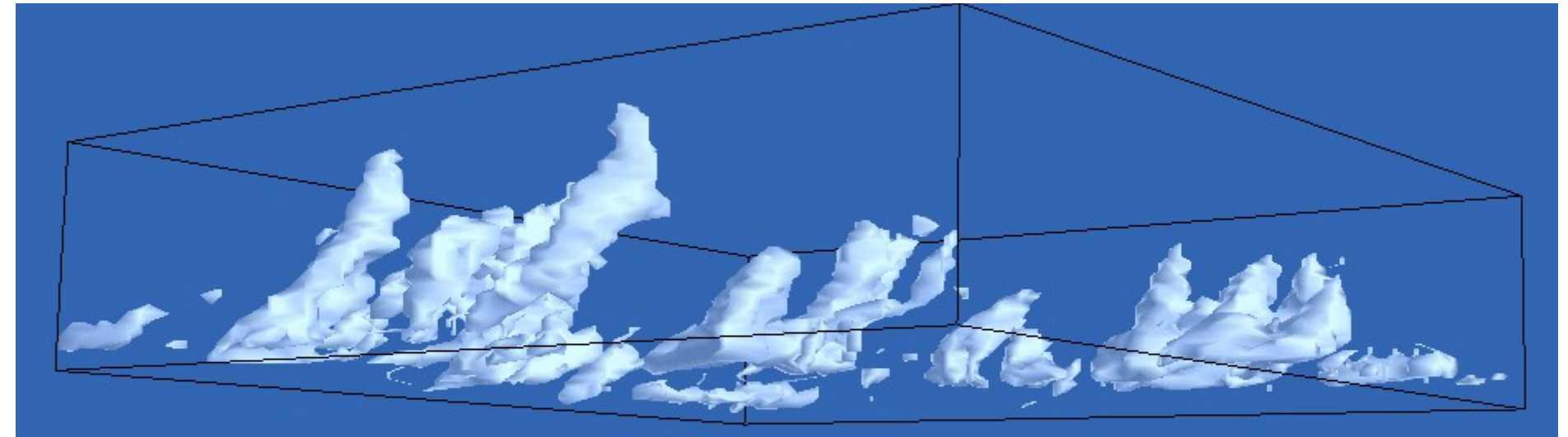
Apport des simulations des grands tourbillons: LES pour Large-Eddy Simulations



- Simulations à haute résolution:  $\Delta x \sim \Delta y \sim 50$ m
- Sur un domaine 10km x 10km x 4km
- Pas de temps:  $\Delta t \sim 2s$
- Forçages uniformes: flux de surface, profils initiaux, advections grande-échelle
- Conditions aux limites cycliques

10km Champ de cumulus simulé:

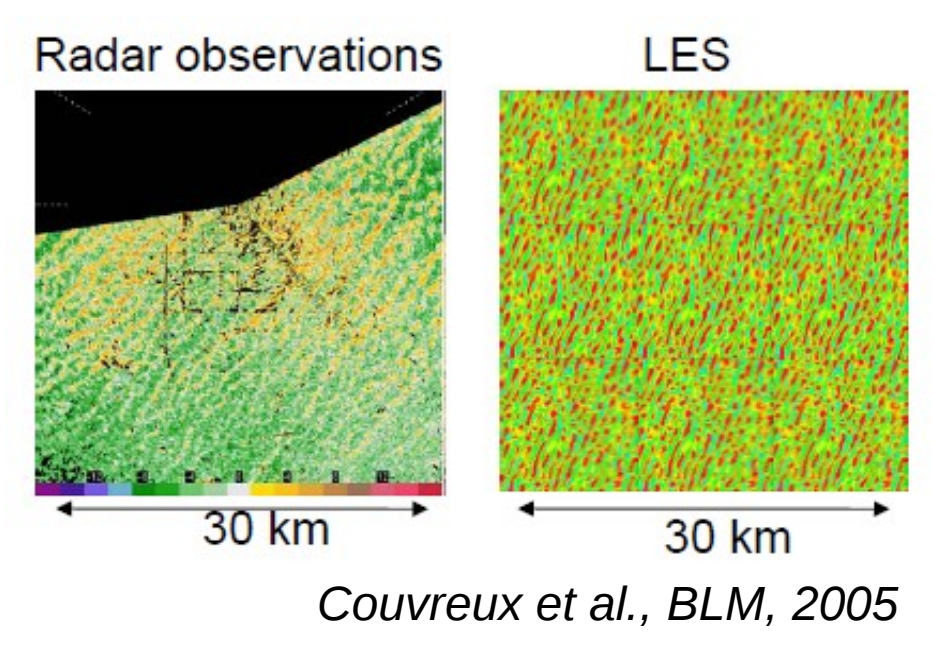
Les structures cohérentes de la couche limite et les cumulus sont explicitement résolus



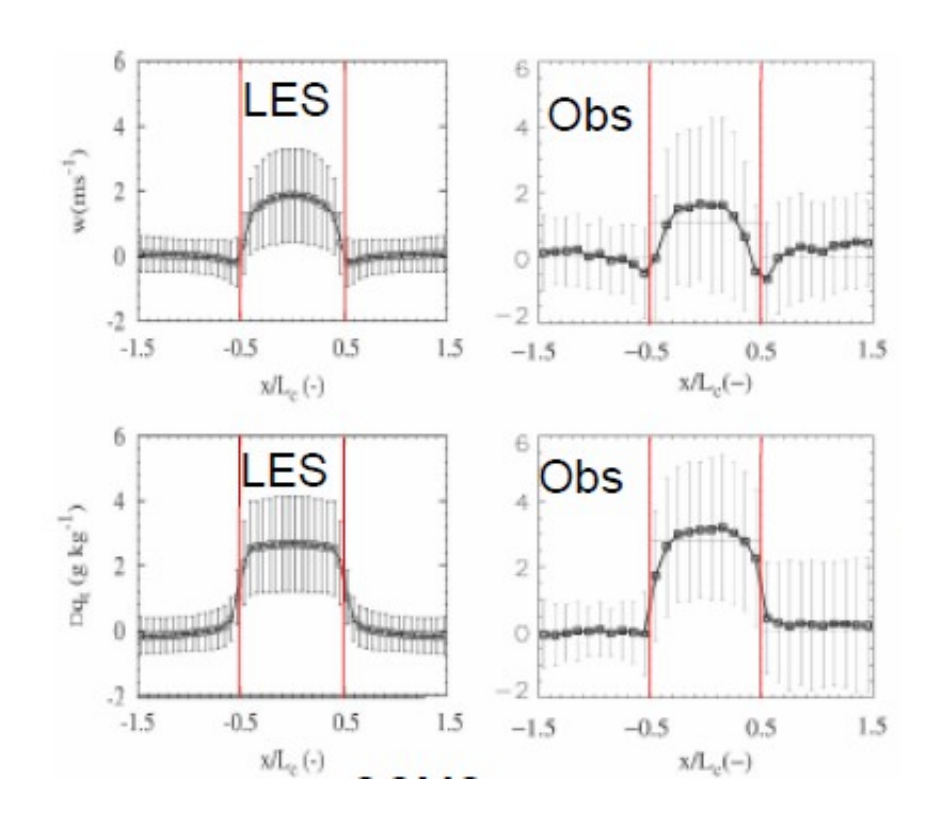
Apport des simulations des grands tourbillons

#### Avantages:

- champs 4D (x,y,z,t) des variables
- Simulent les structures de la couche limite sèche



- Et les propriétés des nuages



Heus et al., JAS, 2008

#### Limitations:

- reposent sur des paramétrisation des processus "sous-maille" (turbulence diffuse, microphysique des nuages)
- lourd en temps de calcul: taille de domaine et durée des simulations limités

Apport des simulations des grands tourbillons: Etude des structures organisées

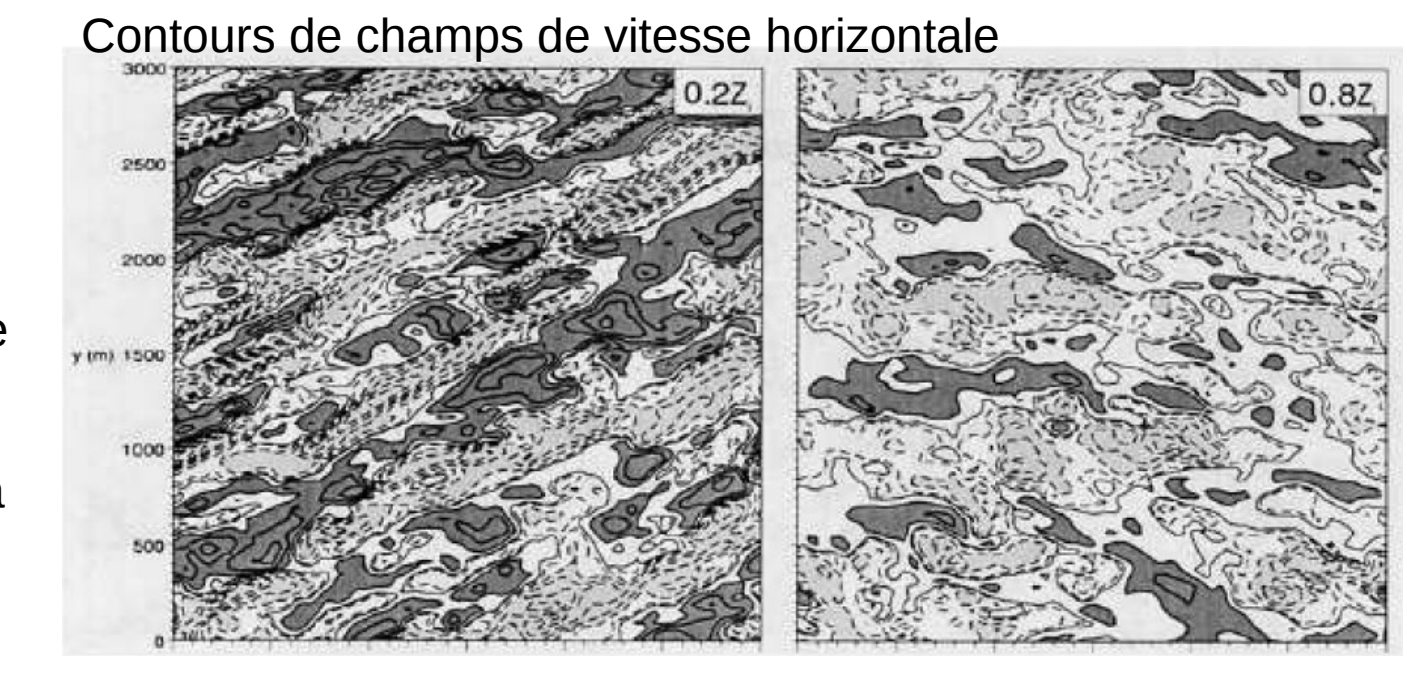
Expériences idéalisées

Cisaillement domine Flux de surface nul

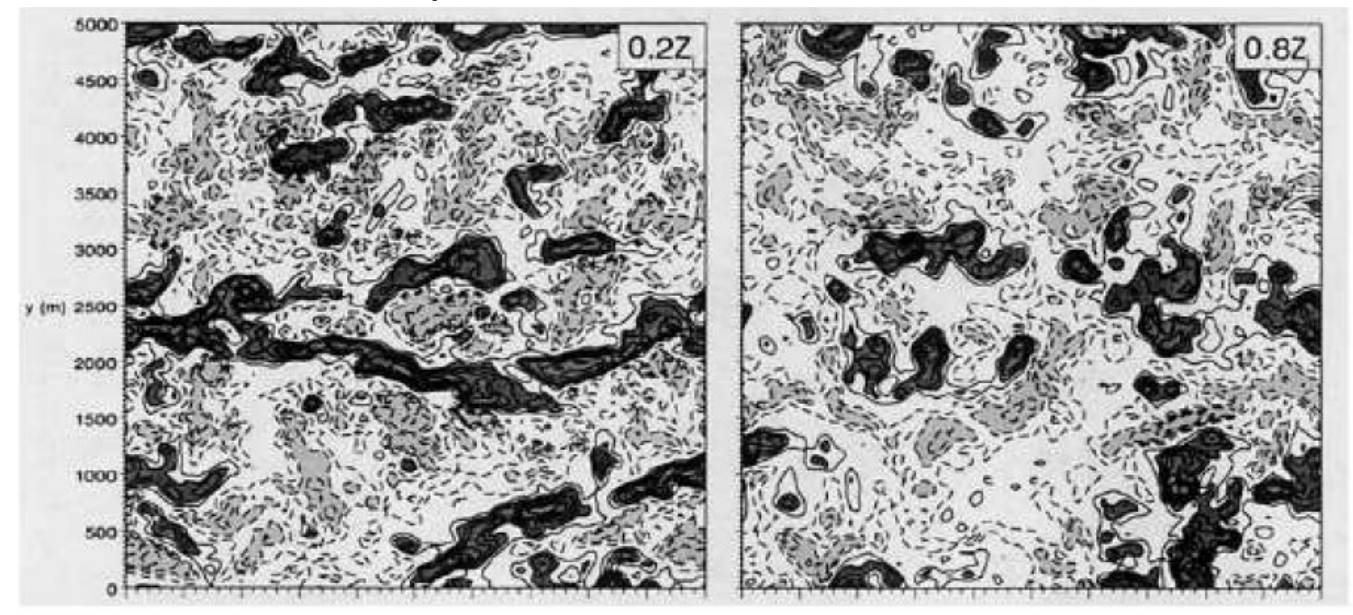
Alternance de bandes de vitesse forte et faible, alignées dans la direction du vent moyen, et qui disparaissent vers le milieu de la couche mélangée

Flottabilité domine Faible cisaillement de vent

Panaches ascendants sur toute la hauteur de la couche mélangée



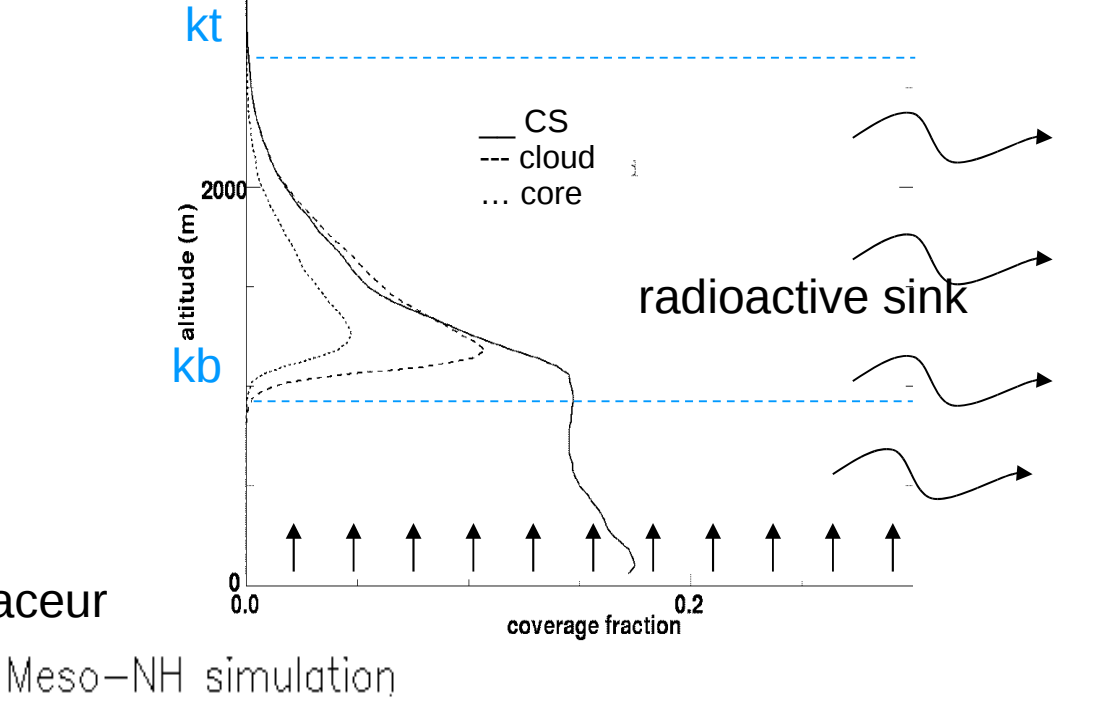
Contours de champs de vitesse verticale



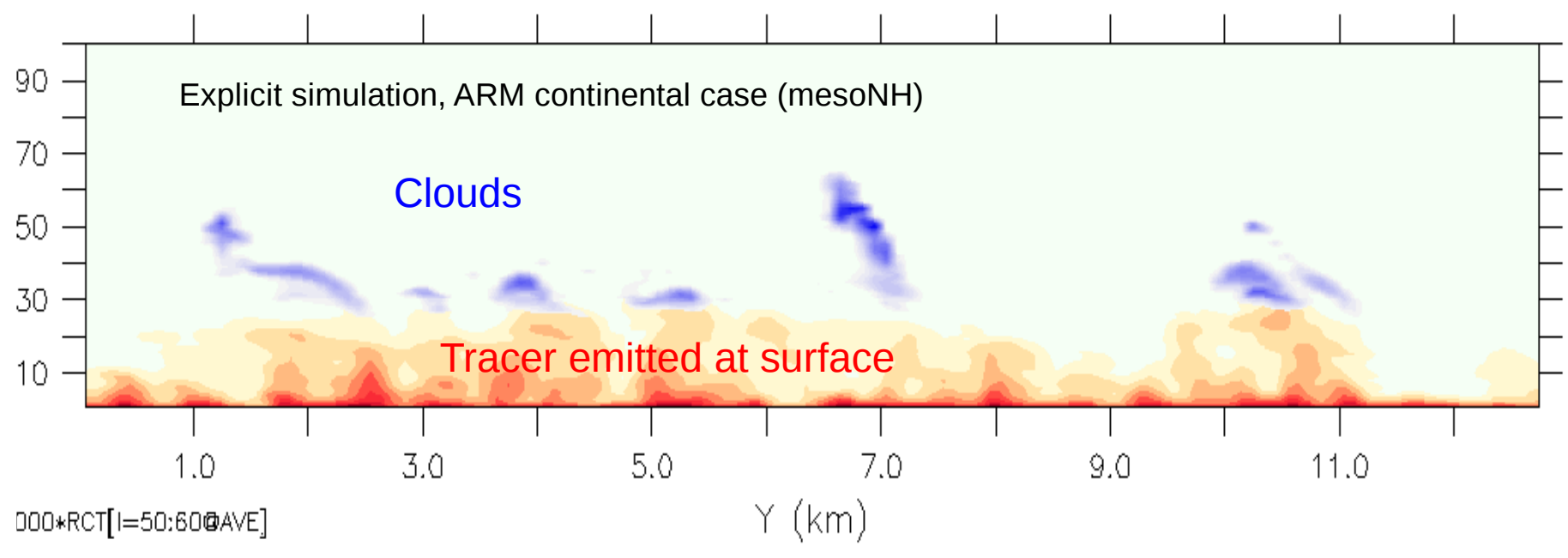
Moeng et Sullivan, JAS, 1994

Apport des simulations des grands tourbillons: Identification des thermiques

Emission d'un traceur en surface dont la concentration décroit dans le temps.



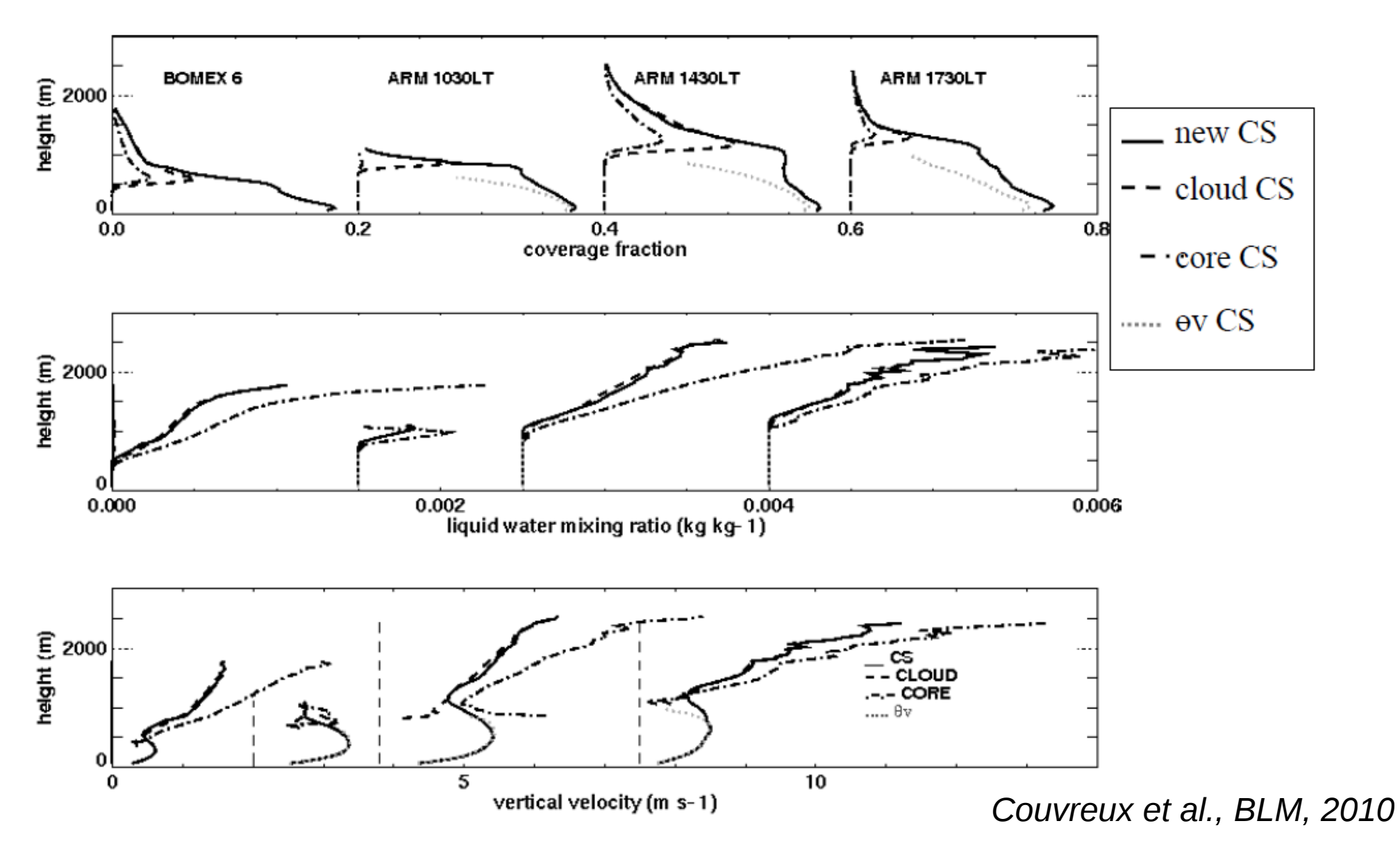
Détection des fortes concentrations de traceur pour identifier les structures thermiques



Apport des simulations des grands tourbillons: Identification des thermiques

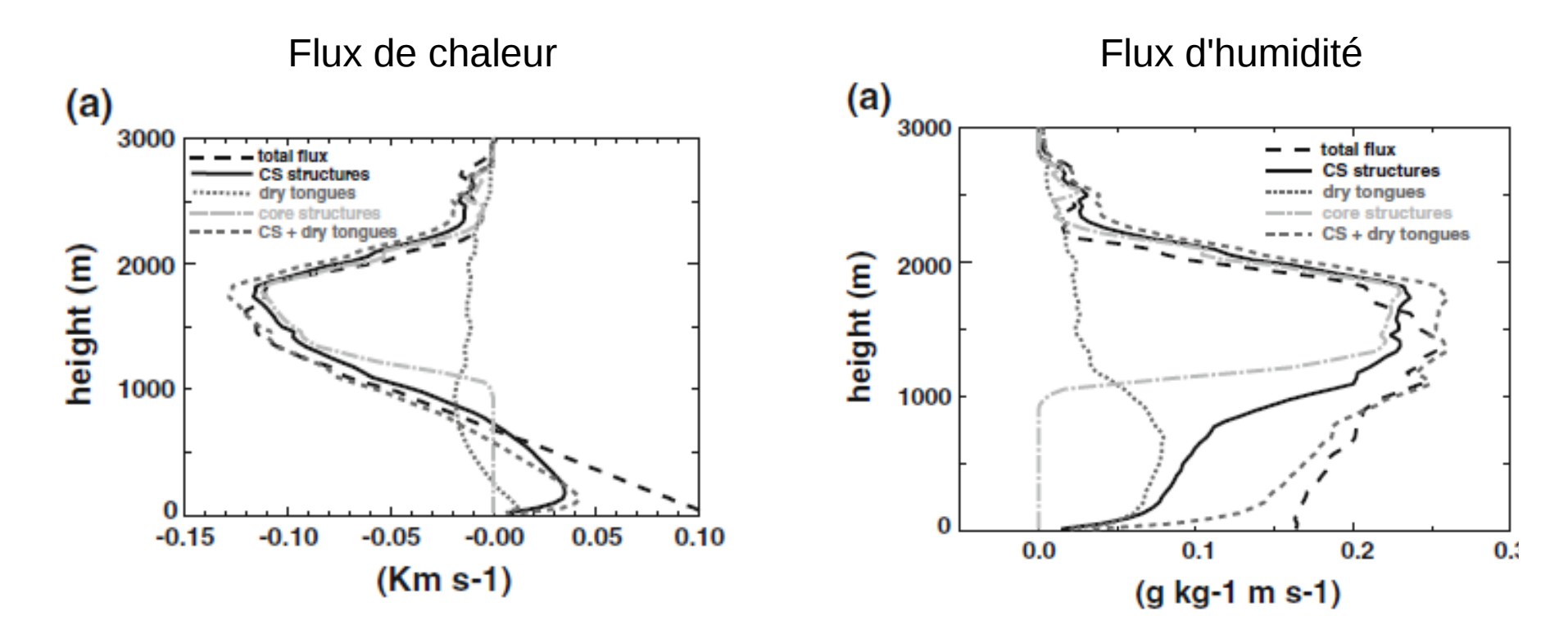
Cas de cumulus de beau temps en Oklahoma

Permet de calculer les caractéristiques moyennes des thermiques de couche limite, grandeurs difficilement mesurables: vitesse verticale, fraction couverte, température, humidité etc...



Apport des simulations des grands tourbillons: Identification des thermiques Cas de cumulus de beau temps en Oklahoma

Contribution des thermiques au flux total de chaleur et d'humidité Contribution dominante dans la couche nuageuse, 50% en-dessous



L'effet des thermiques est de réchauffer la couche mélangée et refroidir la couche nuageuse

L'effet des thermiques est d'humidifier la couche limite sur toute sa hauteur

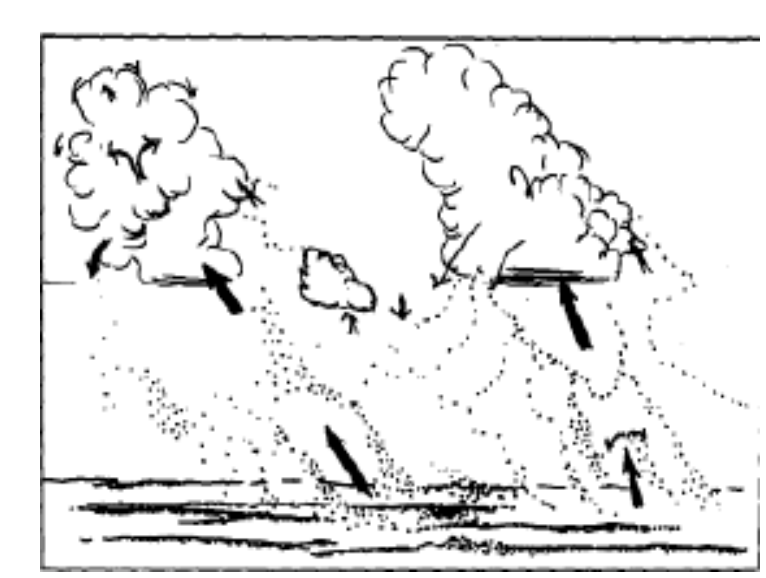
Couvreux et al., BLM, 2010

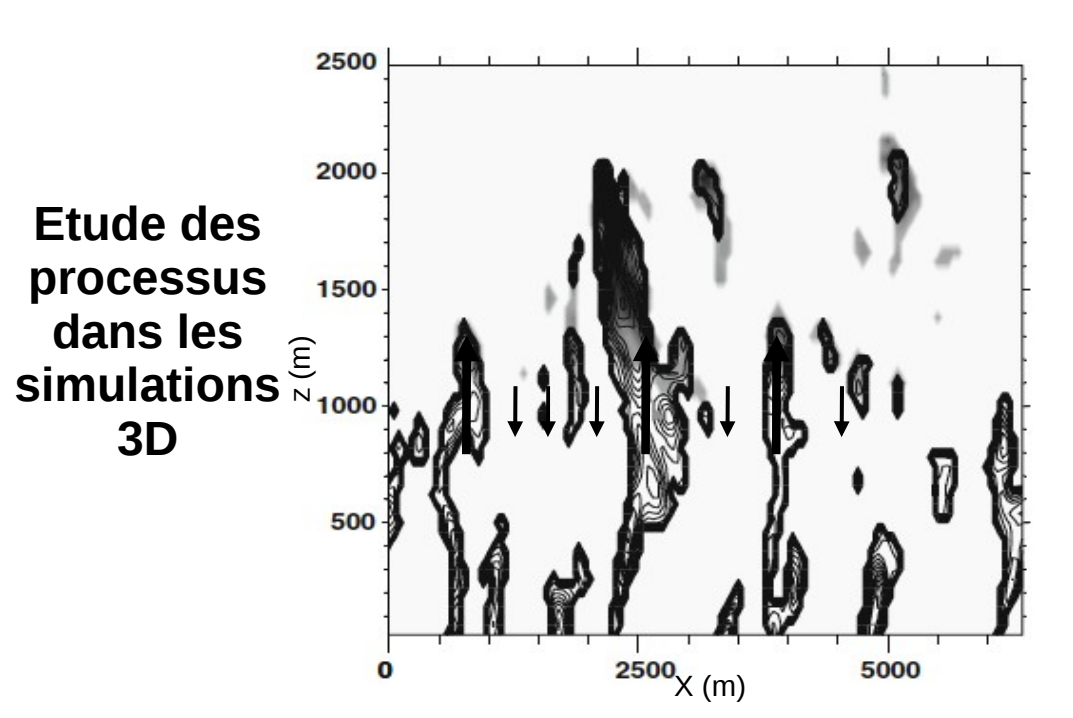
Les différents champs d'étude

Observations de terrain

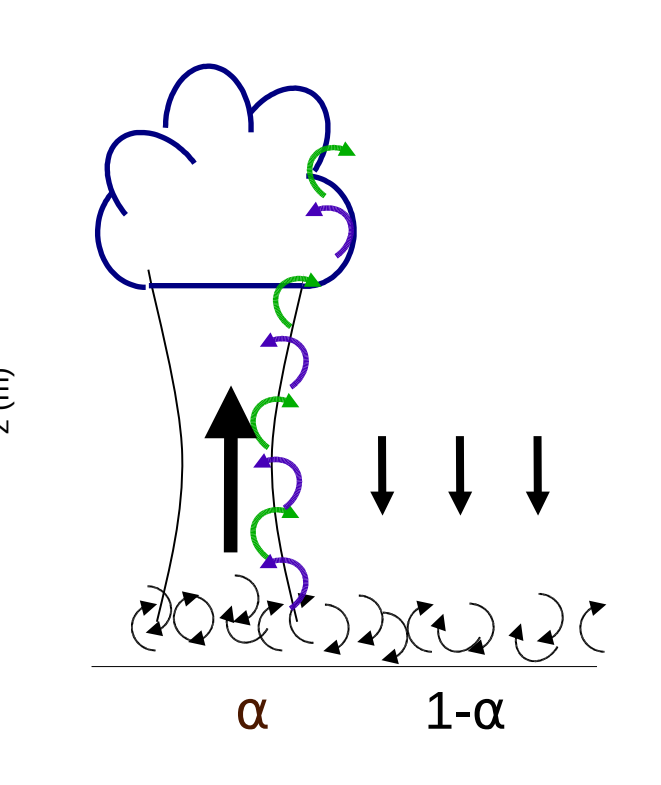


Schémas conceptuels simples





Mise en équation dans les modèles de climat



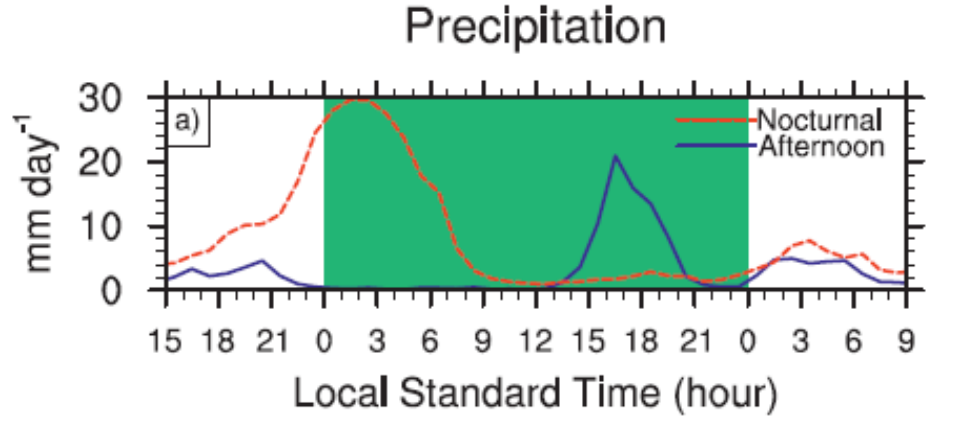
Convection continentale aux moyennes latitudes

11 ans d'observations sur le site ARM en Oklahoma

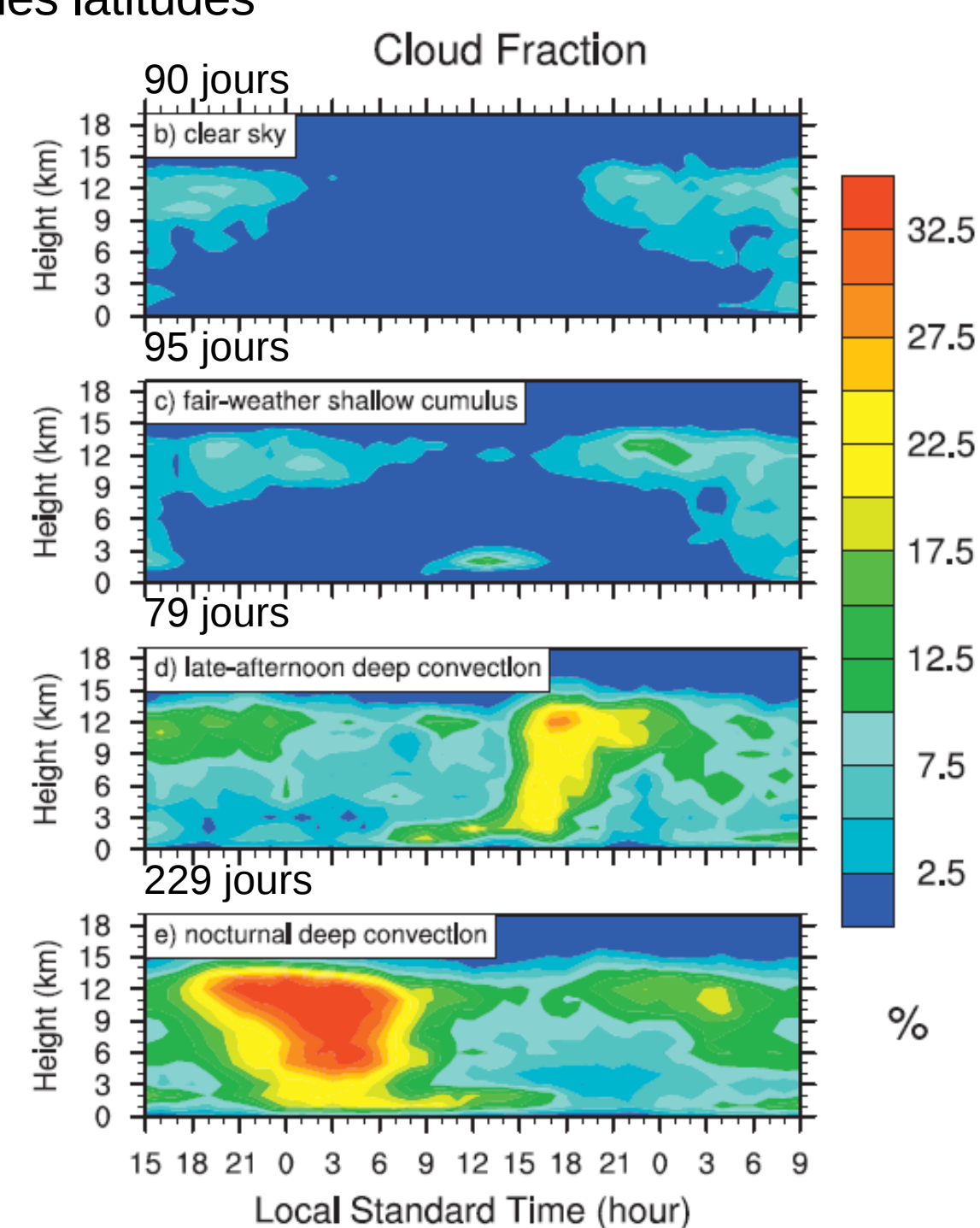
Composites de cycles diurnes:

- sans nuages
- cumulus de beau temps
- convection orageuse en fin d'après-midi
- convection orageuse nocturne

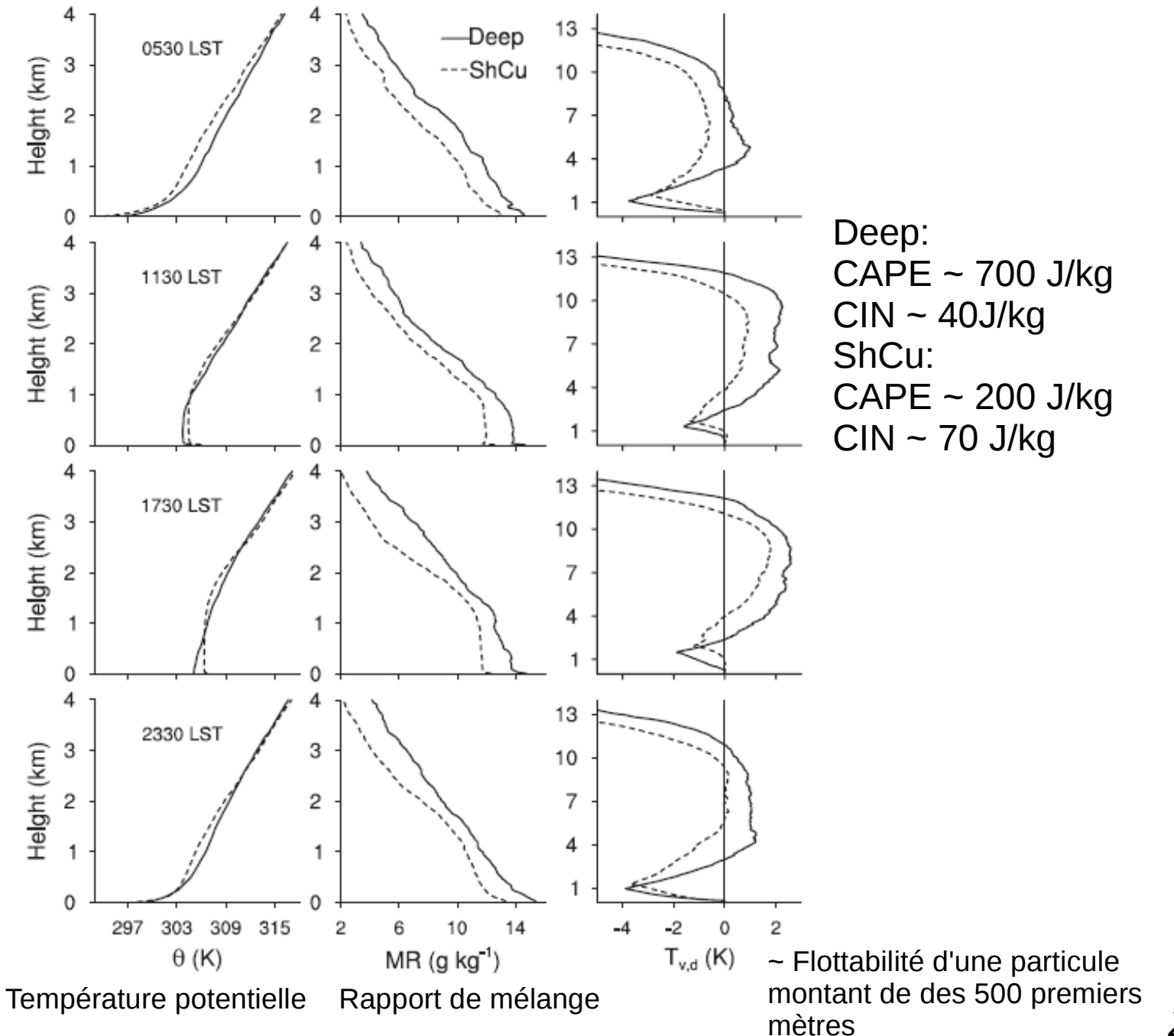
Pluies de fin d'après-midi: orages locaux Pluies nocturnes: Systèmes propagatifs initiés sur les Rocheuses



Pourquoi la convection orageuse se déclenche certains jours et d'autres pas?



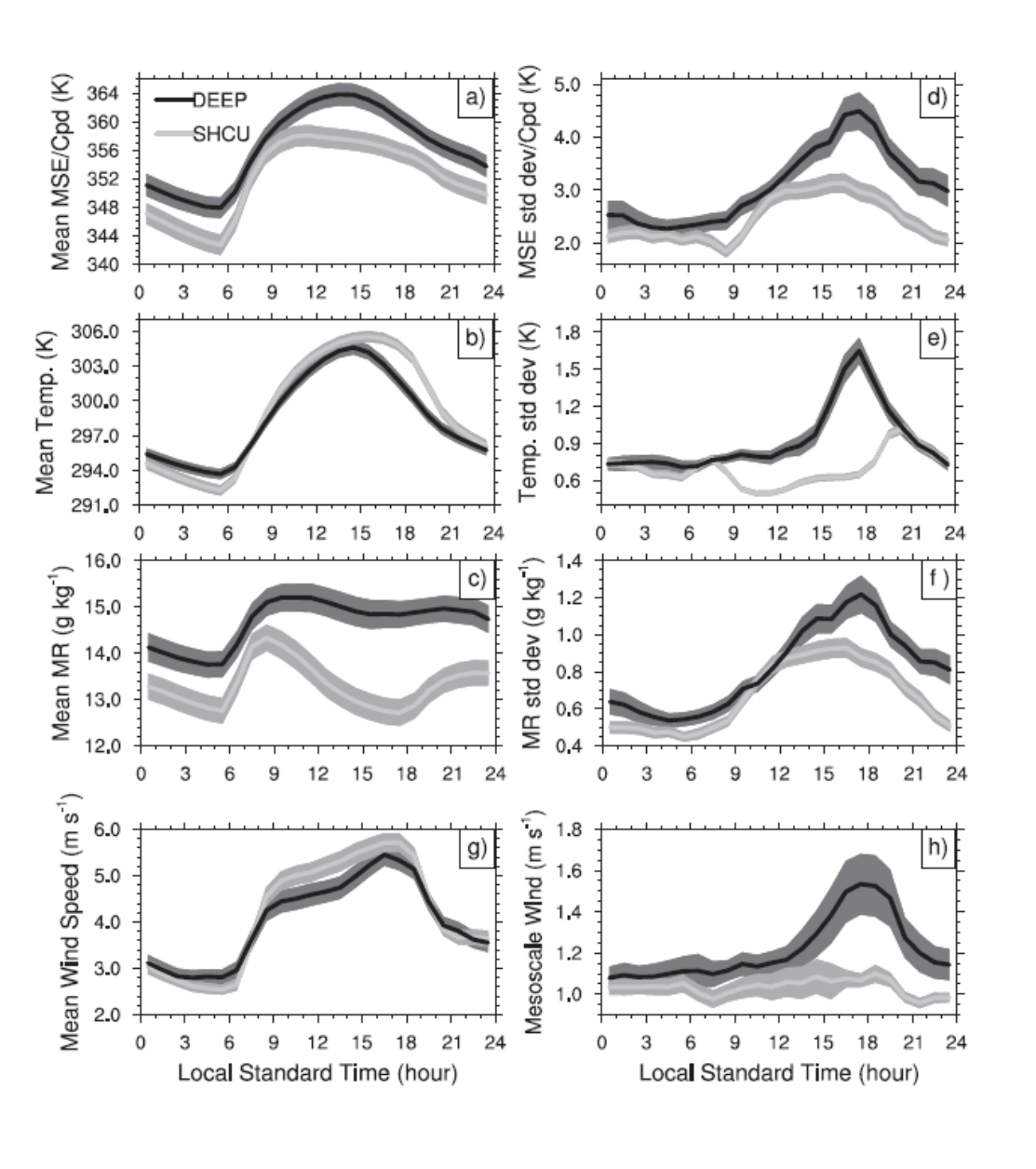
Conditions environnementales: cumulus de beau temps (ShCu pour shallow cumulus) versus convection orageuse de fin d'après-midi (Deep)



Humidité relative en fin de matinée (%) Deep ShCu 14 12 Height Above Ground Level [km] 2 40 60 80 100 RH [%] at 1130 LST

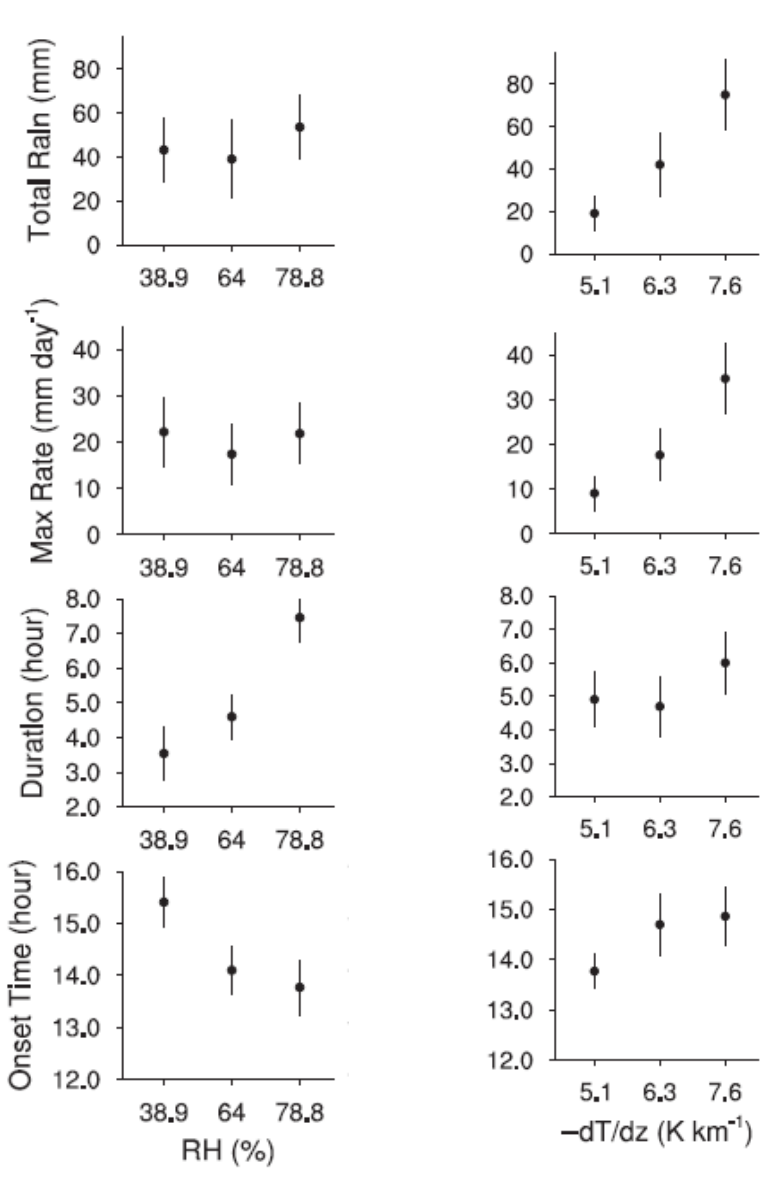
Zhang et Klein, JAS, 2010

Rôle des inhomogénéités dans la couche limite?



Rôle de l'humidité relative entre 2 et 4km?

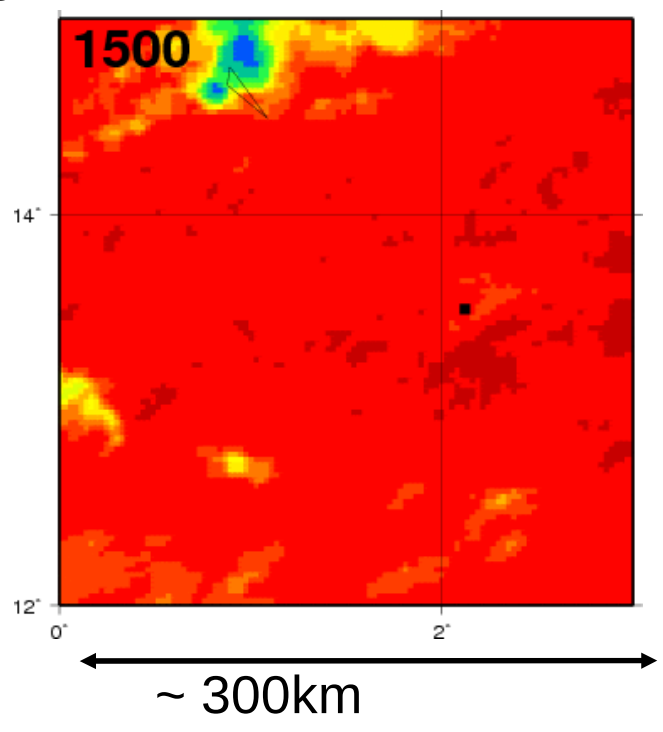
Rôle du gradient de température entre 2 et 4km?



Zhang et Klein, JAS, 2010

Orage local en région semi-aride: le 10 juillet 2006 à Niamey

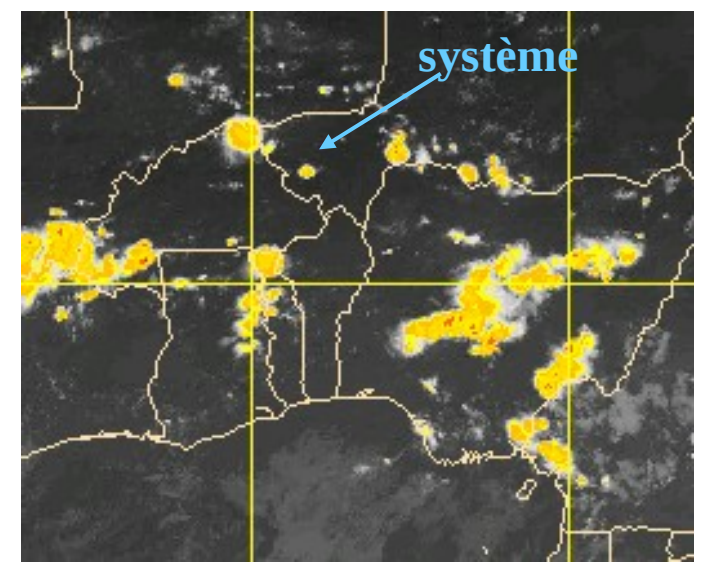
Images MSG

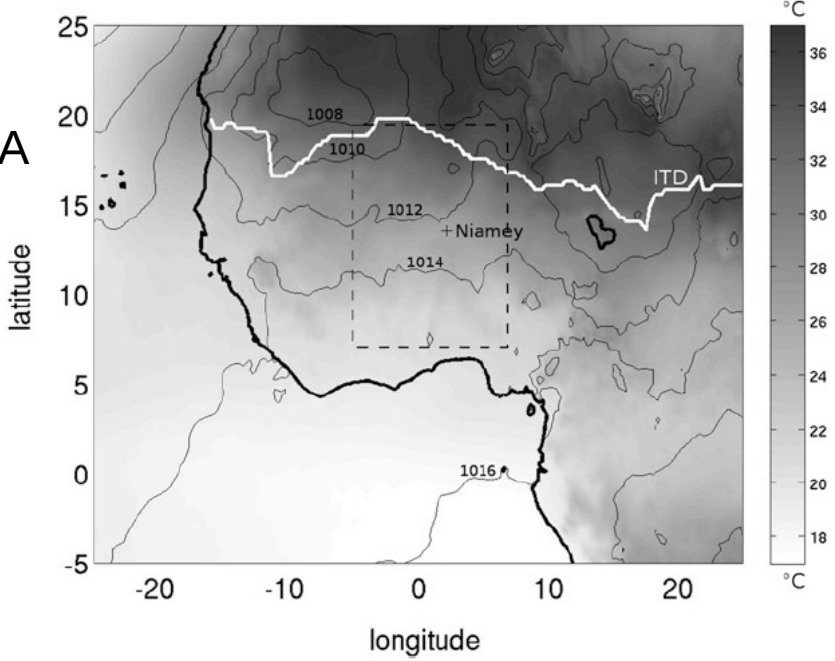


Système observé dans le cadre de la campagne AMMA

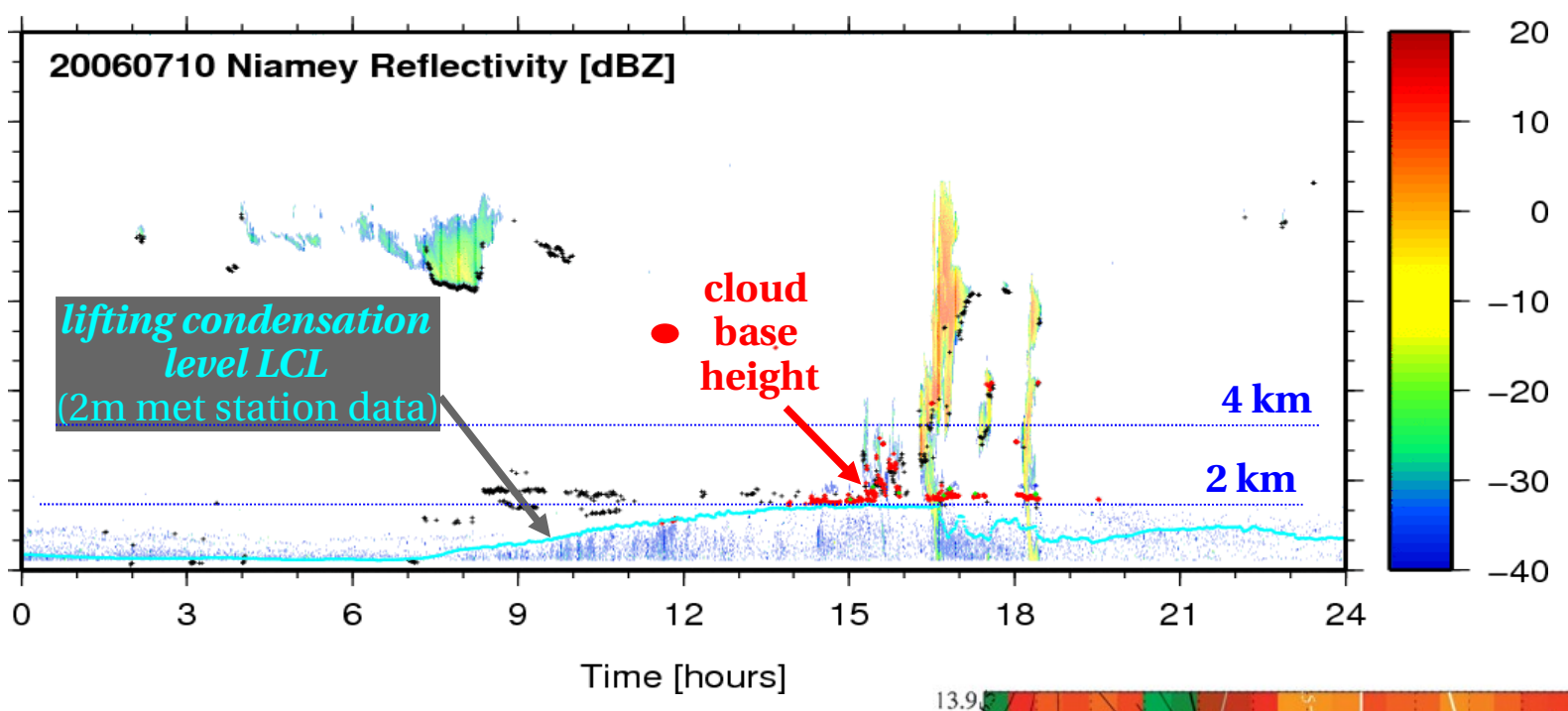
- Instruments de la ARM Mobile Facility
- RADAR MIT
- Radiosondages au-dessus de Niamey
- vol ATR
- flux de surface
- images satellite

Image Météosat IR-10.8 à 1800 UTC



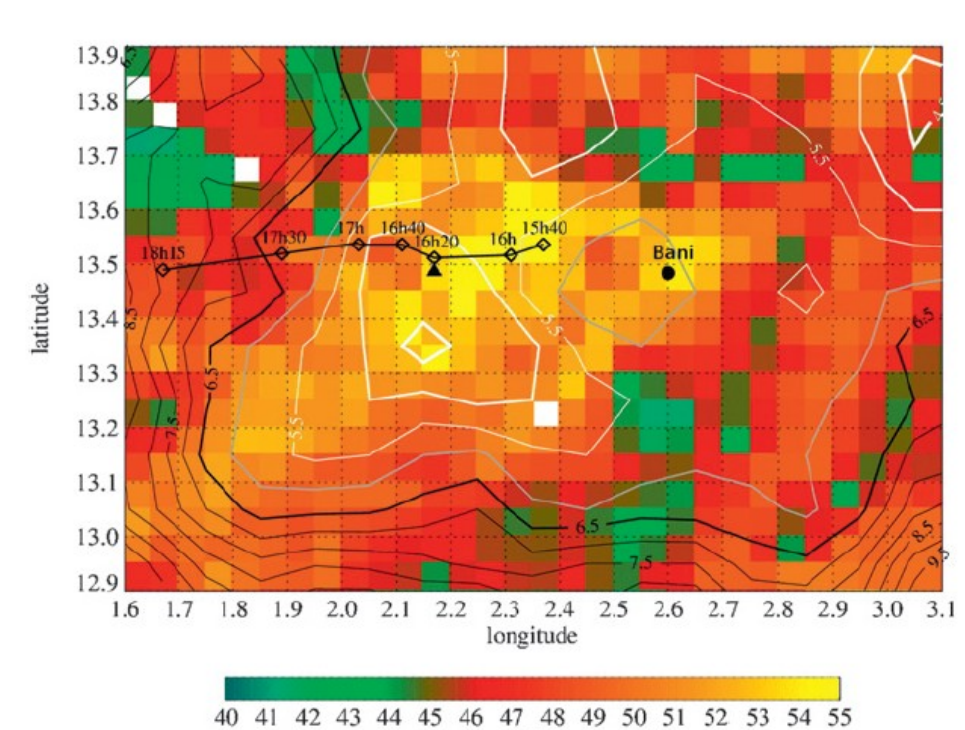


Orage local en région semi-aride: le 10 juillet 2006 à Niamey



Température de surface (couleurs) et humidité du sol (contours) observés à 12h et trajectoire du système convectif

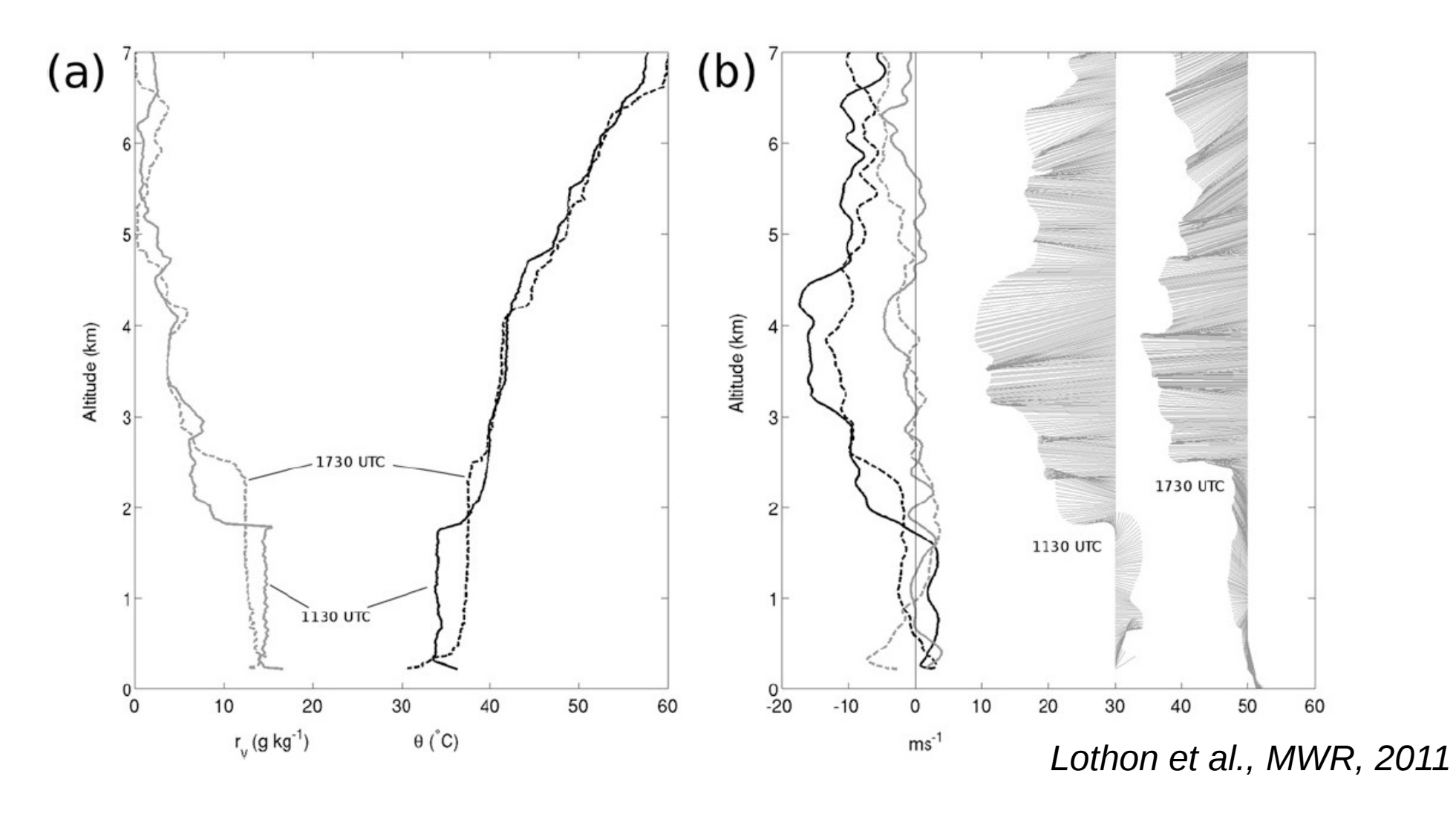
> Le système s'initie sur un patch chaud: Rôle des hétérogénéités de surface?



(°C)

Orage local en région semi-aride: le 10 juillet 2006 à Niamey

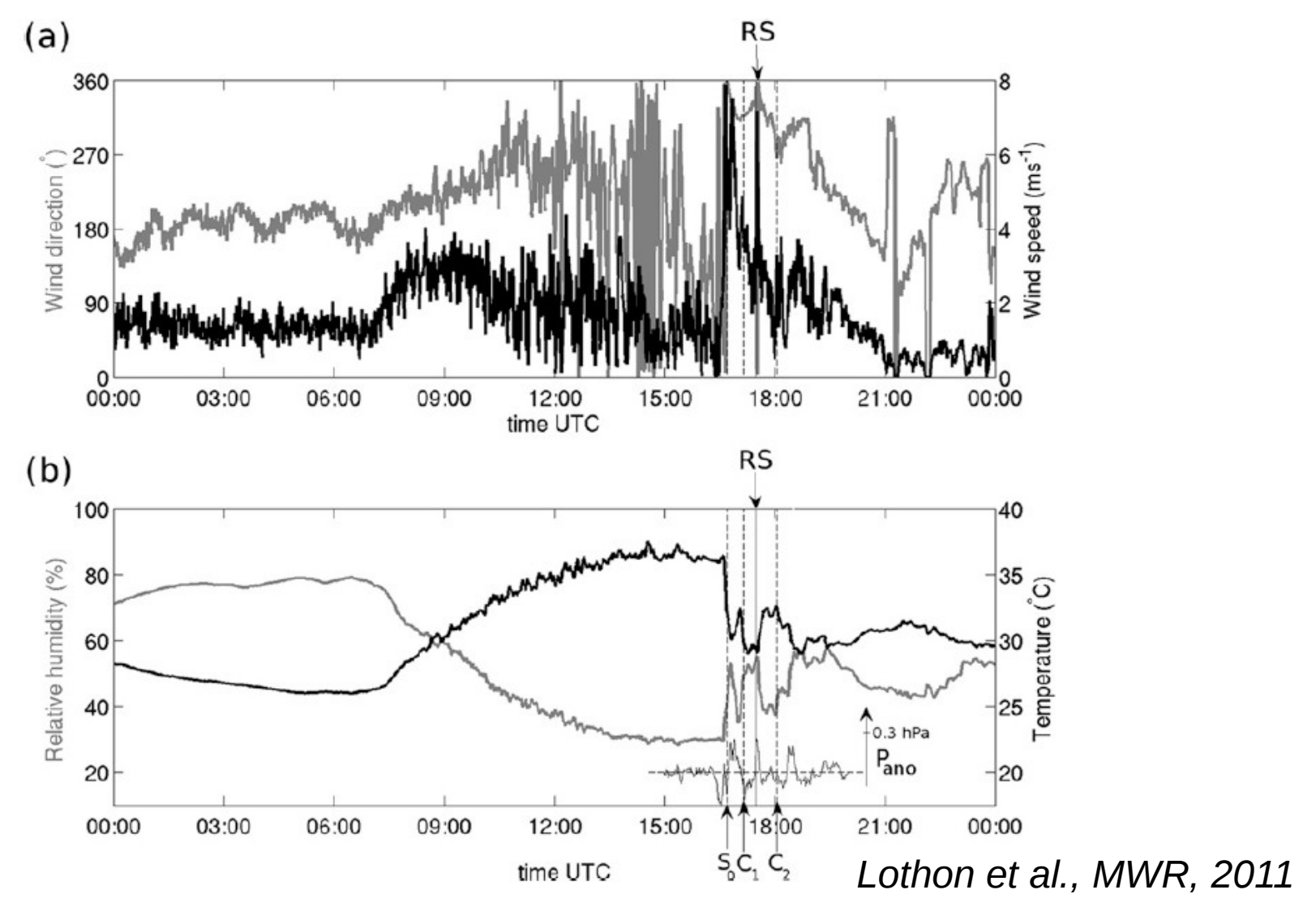
Radiosondages de  $\theta$ , rv et du vent à 1130UTC et 1730UTC



- Réchauffement et assèchement de la couche mélangée
- fort cisaillement en sommet de couche mélangé
- Effet du front de rafale sur les profils à 130UTC

Orage local en région semi-aride: le 10 juillet 2006 à Niamey

Cycle diurne du vent, de l'humidité relative et de la température en surface



Trace du passage de plusieurs fronts de rafale successifs: augmentation du vent, chute de température et augmentation de l'humidité

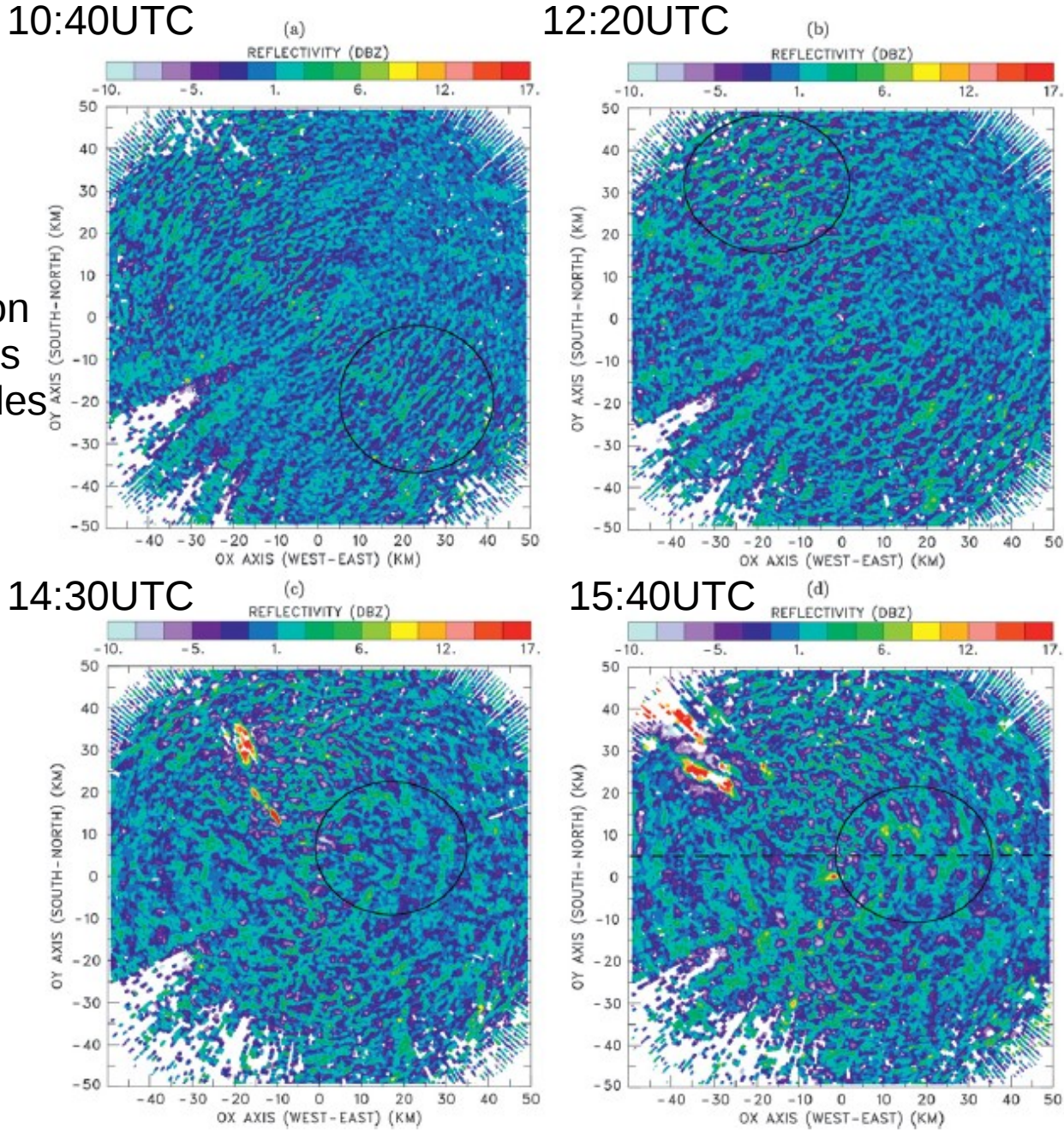
Orage local en région semi-aride: le 10 juillet 2006 à Niamey

Développement des structures organisées de la couche limite

Coupes horizontales à 600m de la réflectivité du RADAR du MIT

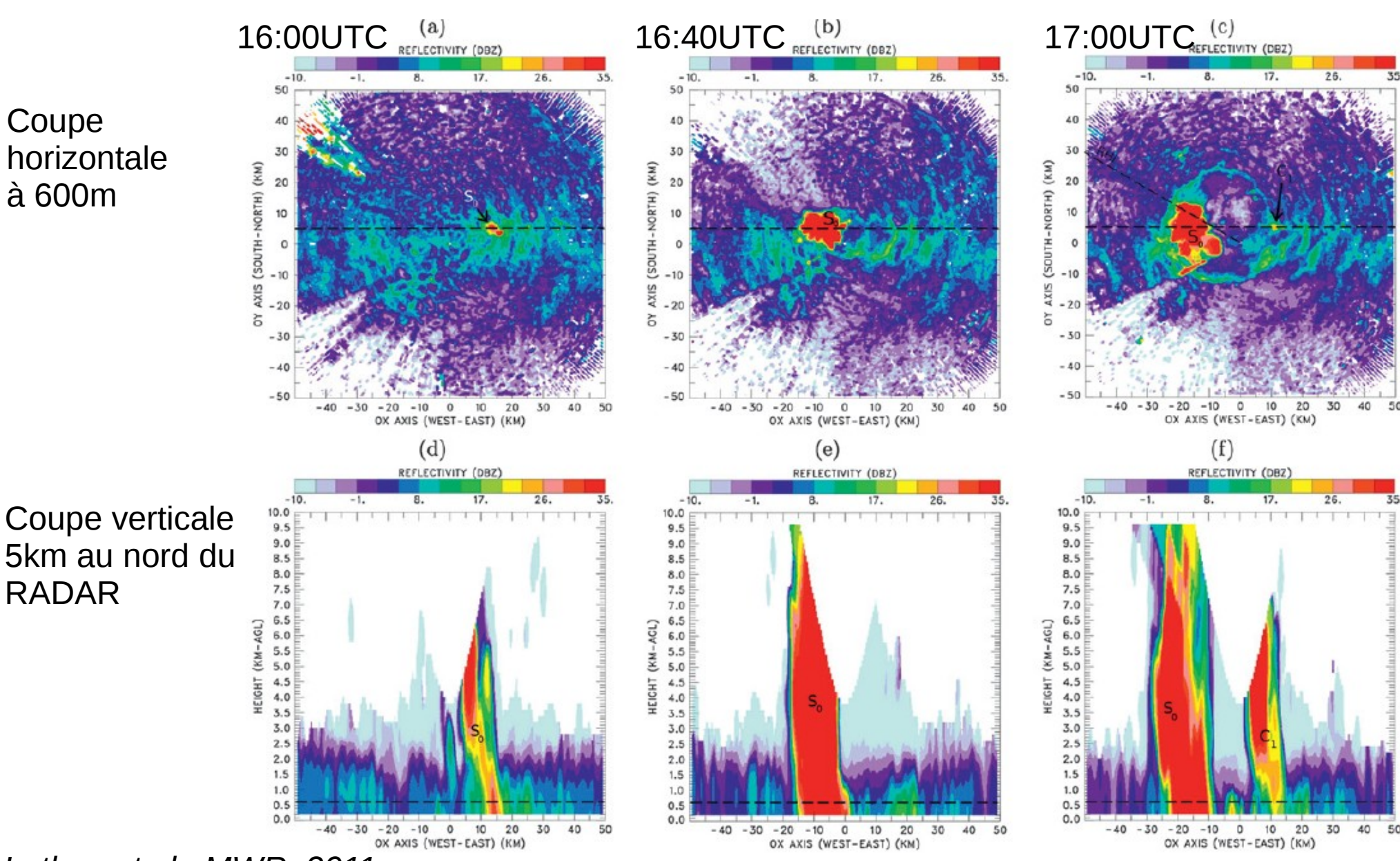
- Passage progressif d'une organisation en rouleaux en organisation en cellules

- Augmentation progressive des échelles horizontales des structures



Orage local en région semi-aride: le 10 juillet 2006 à Niamey

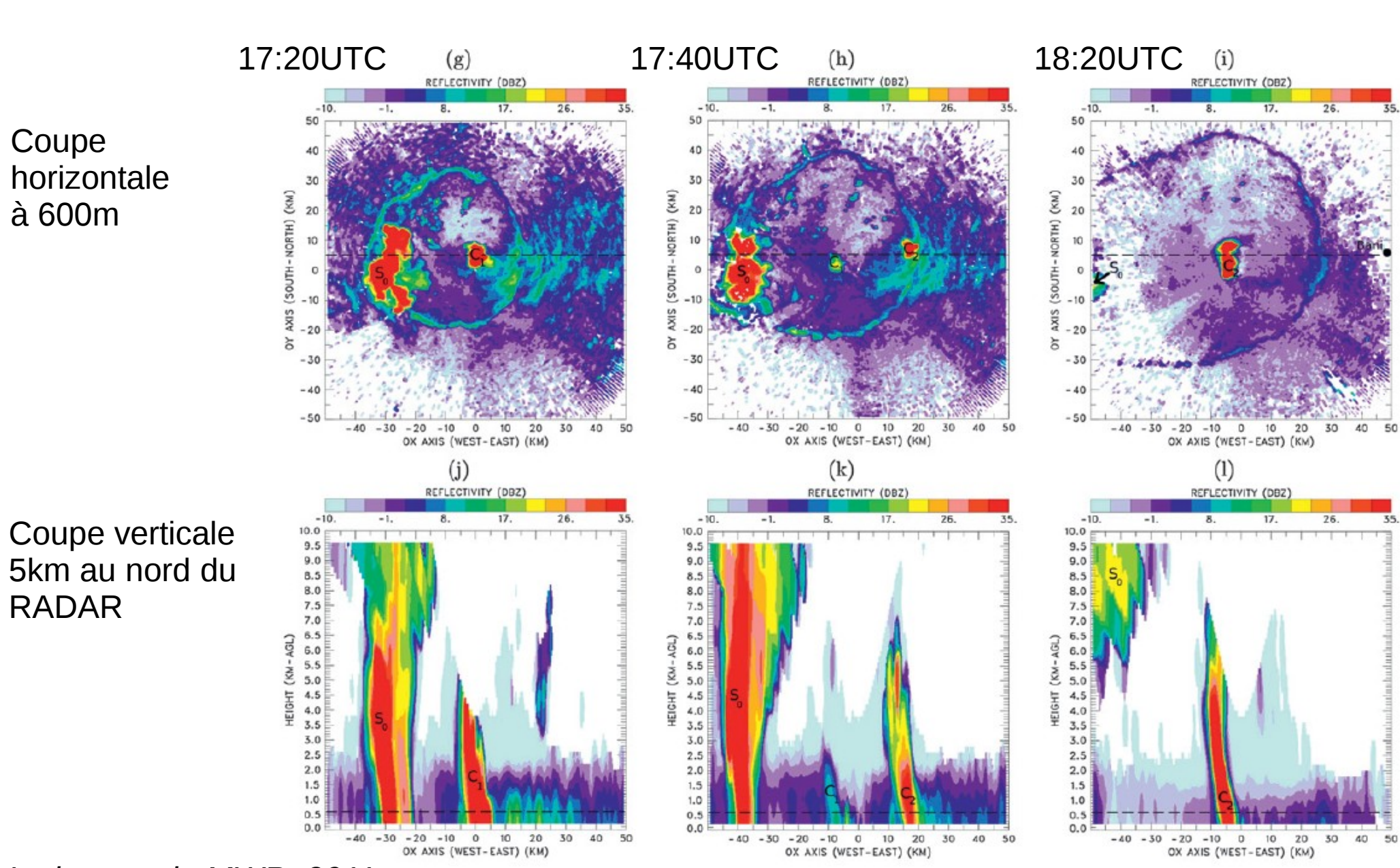
Développement des structures organisées associées à la convection profonde



Lothon et al., MWR, 2011

Orage local en région semi-aride: le 10 juillet 2006 à Niamey

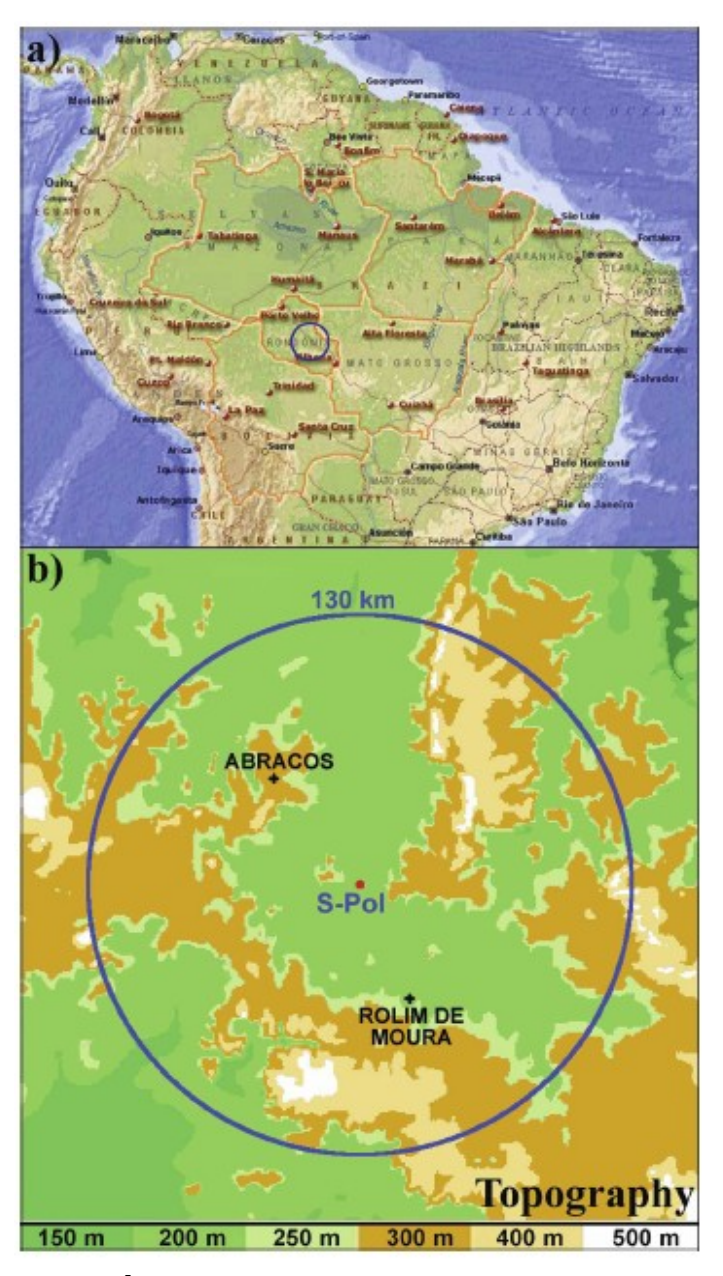
Développement des structures organisées associées à la convection profonde



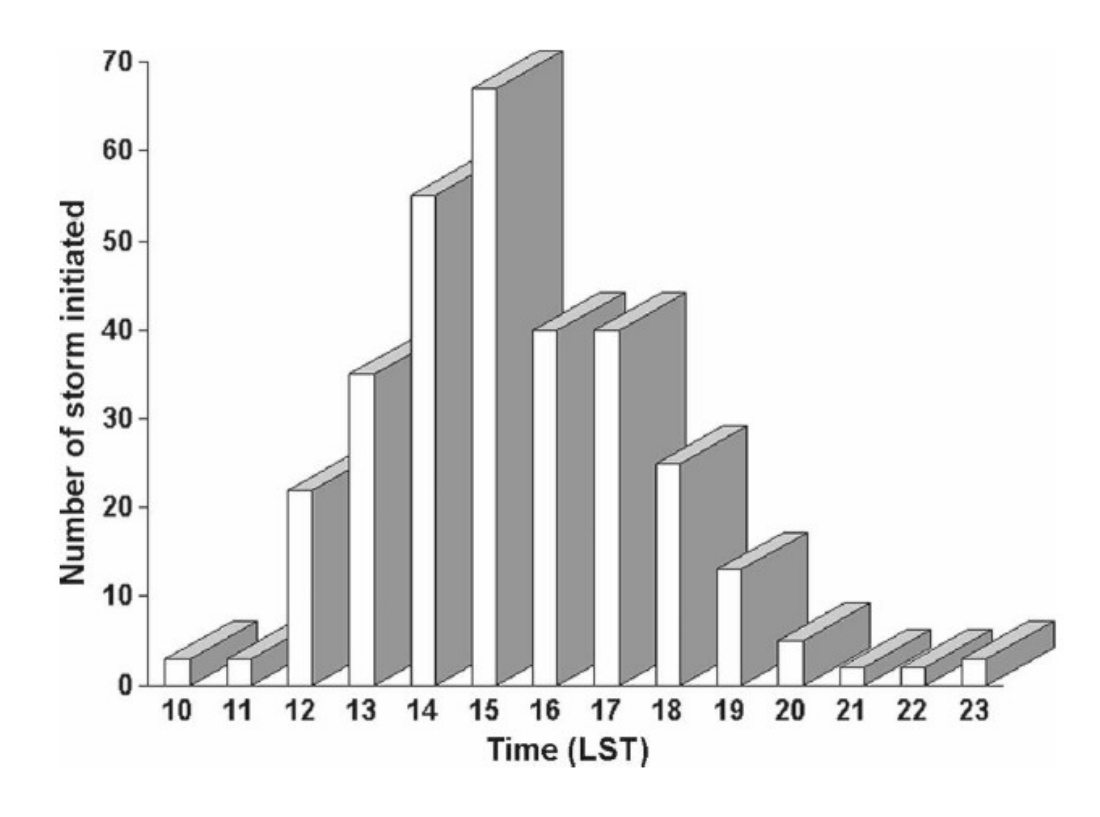
Lothon et al., MWR, 2011

Initiation de systèmes convectifs dans un environnement tropical humide

5 février 1999 en Amazonie: 315 orages initiés dans un rayon de 130km



Heure locale d'initiation des systèmes

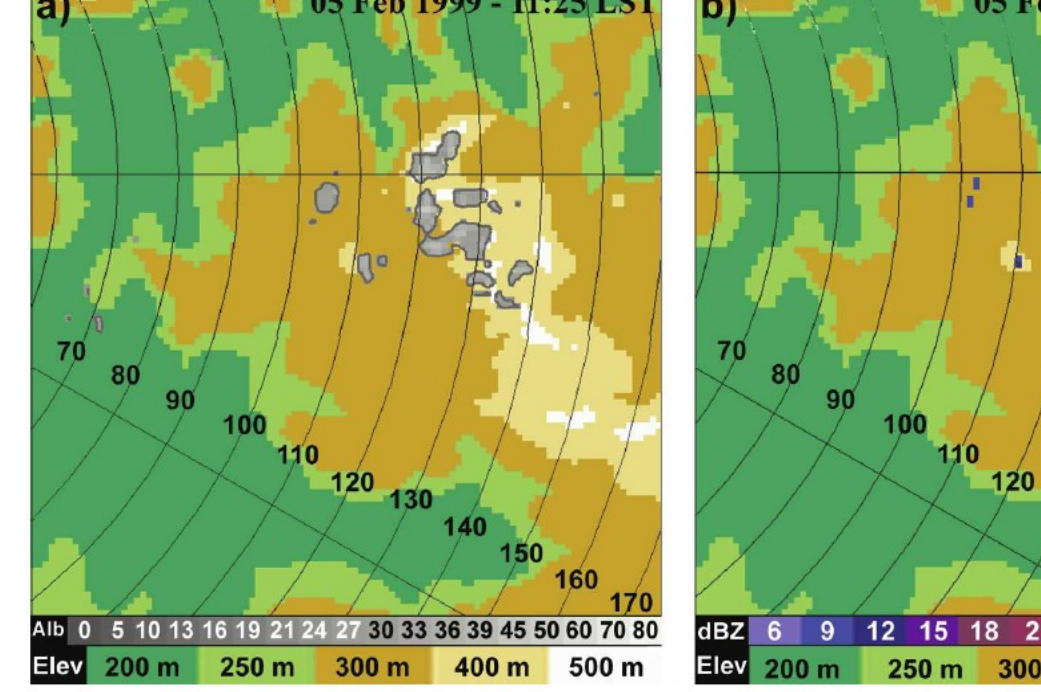


Classification en 4 catégories de cause d'initiation:

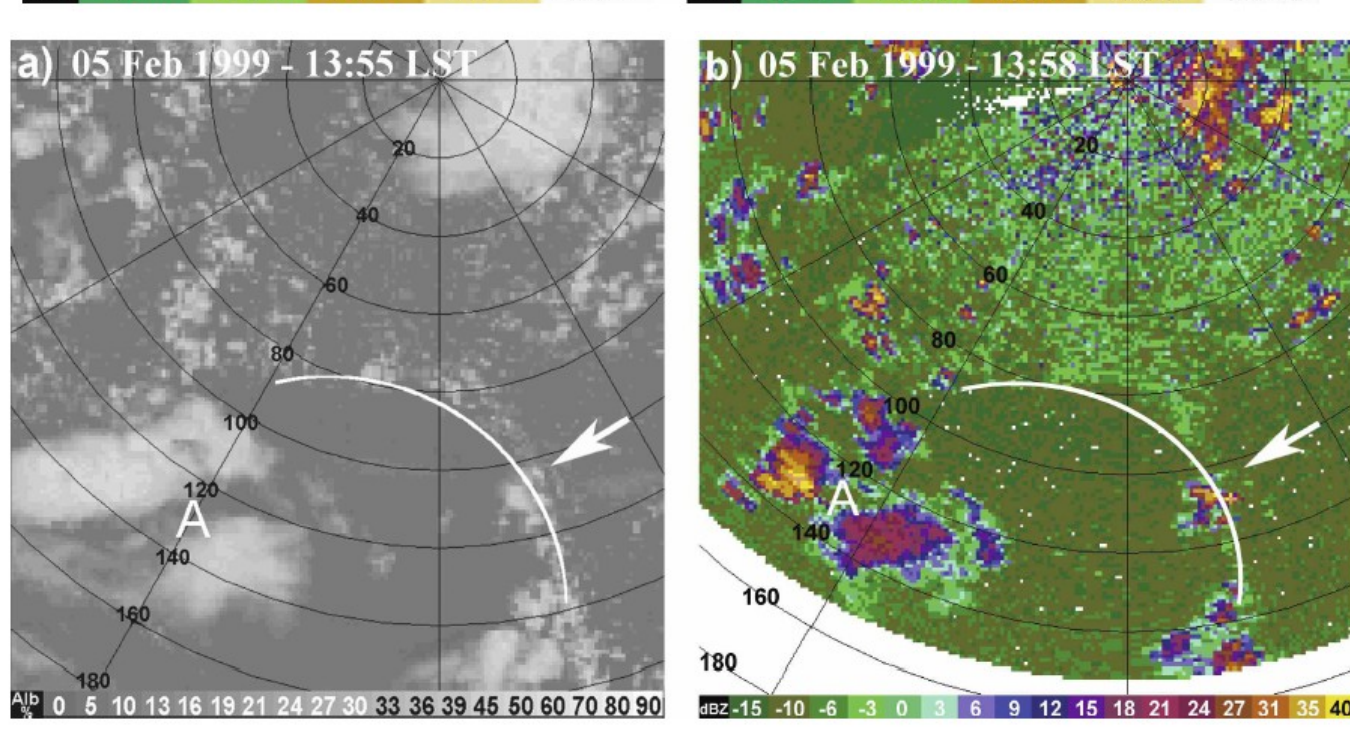
- Soulèvement par un front de rafale (GF)
- Soulèvement par topographie (TF)
- Collision entre fronts de rafale (CB)
- Pas de mécanisme identifié (UC)

Initiation de systèmes convectifs dans un environnement tropical humide

Exemple d'initiation sur terrain élevé supérieur à 300m



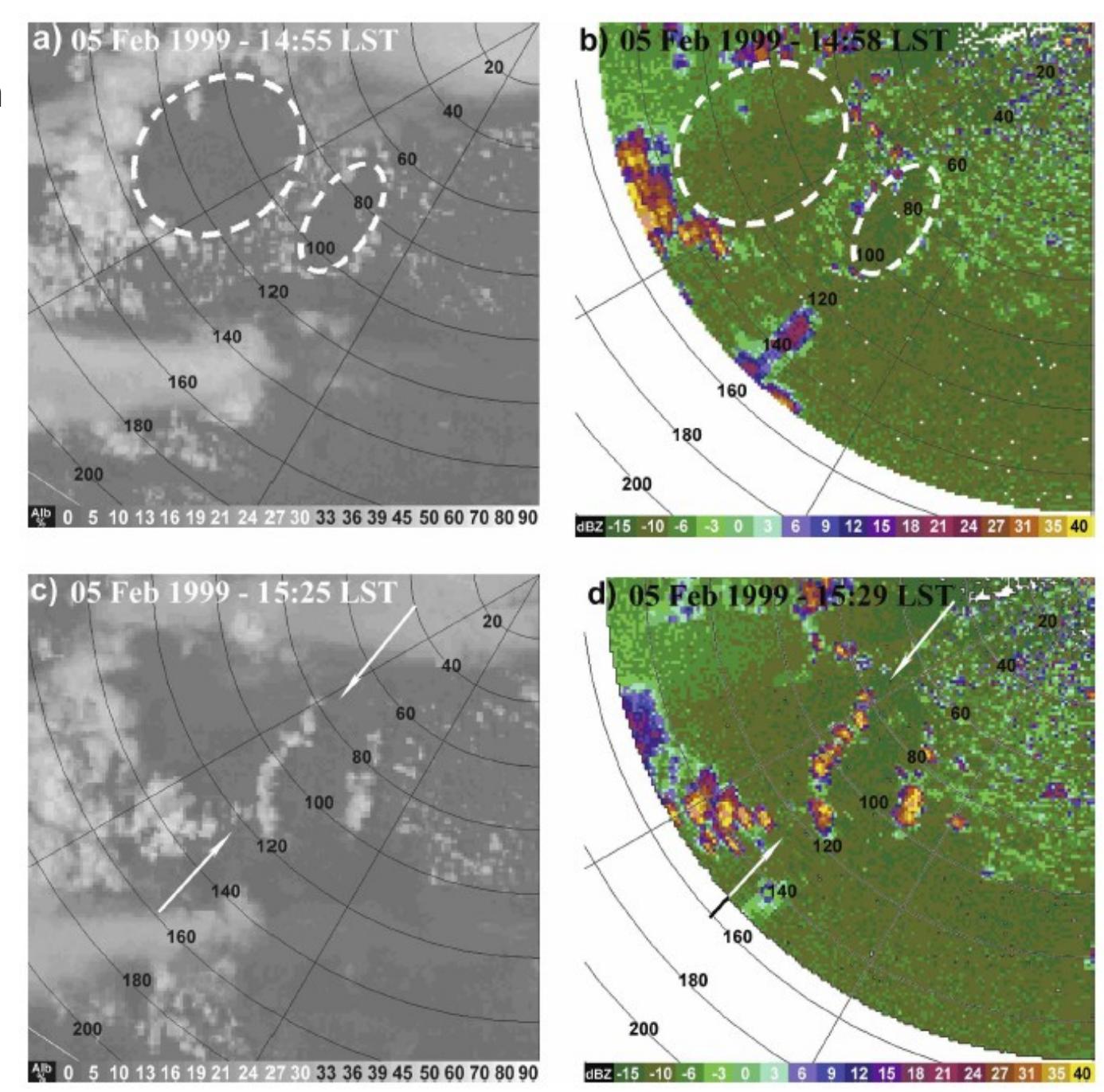
Exemple d'initiation par soulèvement d'un front de rafale



Lima et Wilson, MWR, 2008

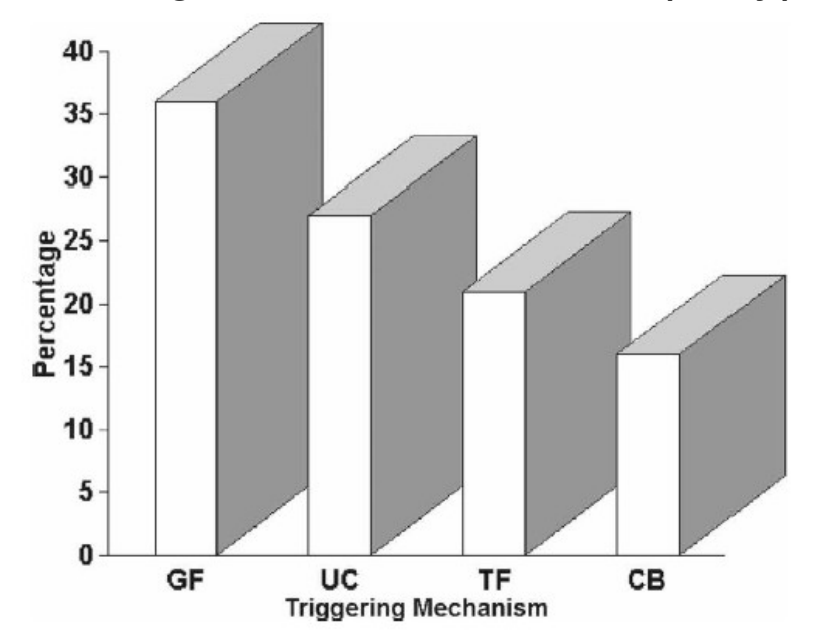
Initiation de systèmes convectifs dans un environnement tropical humide

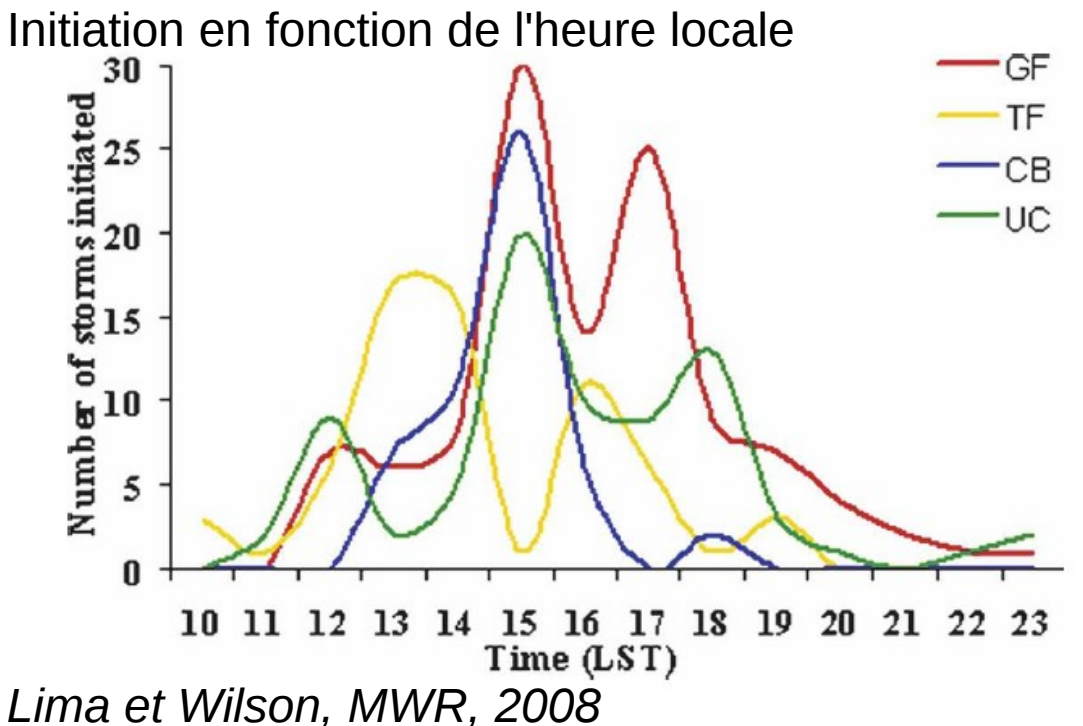
Exemple d'initiation par collision de deux fronts de rafale



Initiation de systèmes convectifs dans un environnement tropical humide

Pourcentage d'occurence de chaque type d'initiation



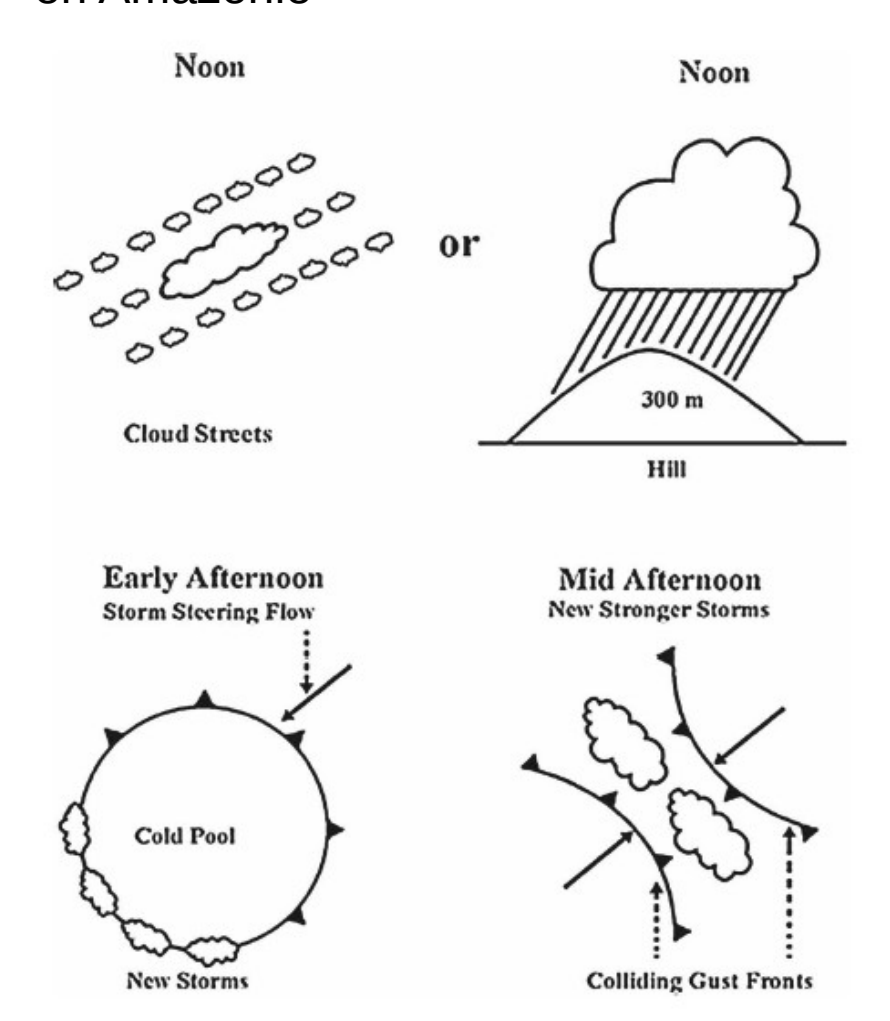


GF: Soulèvement par un front de rafale

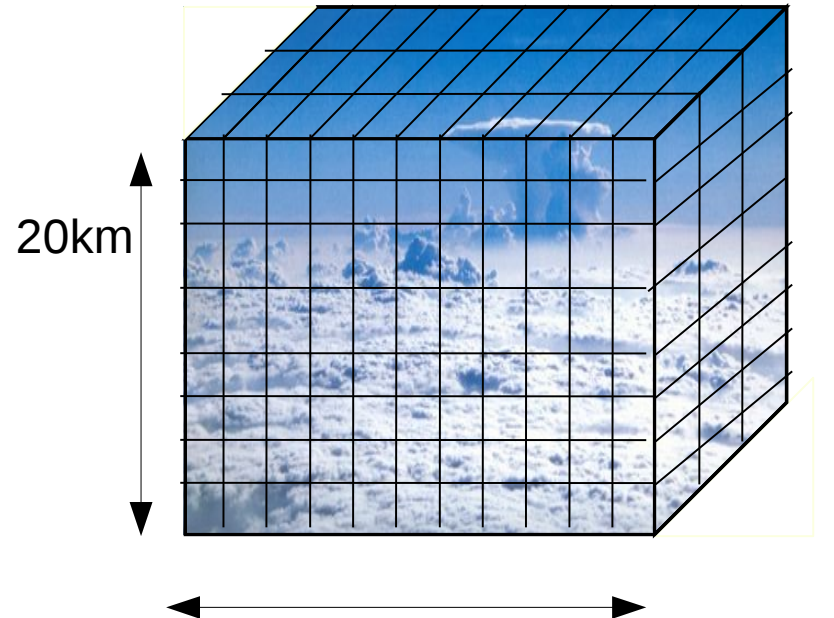
TF: Soulèvement par topographie CB: Collision entre fronts de rafale

UC: Pas de mécanisme identifié

Schéma conceptuel d'initiation d'orages en Amazonie



Apport des modèles explicites de nuages: CRM pour Cloud Resolving Model



200km

- Résolution horizontale: Δx~Δy~200m->4km
- Sur un domaine 200km x 200km x 20km
- Pas de temps:  $\Delta t \sim 10s$
- Forçages uniformes: flux de surface, profils initiaux, advections grande-échelle
- Conditions aux limites cycliques

Les structures nuageuses sont explicitement résolues

Champ de nuages simulé



Humidification progressive de la couche d'inversion

Rôle de pré-conditionnement des thermiques secs et nuageux pour la convection plus profonde

- assèchement et réchauffement de la surface
   diminution de la CIN
- humidification et refroidissement de la couche
   d'inversion -> diminution du déficit à la saturation

$$NSD = \frac{\overline{r_{sat} - r}}{\sigma_{r_{sat} - r}}$$
 Mesure de l'humidification Mesure du mélange en sommet de couche limite

explicit models
(CRMs)

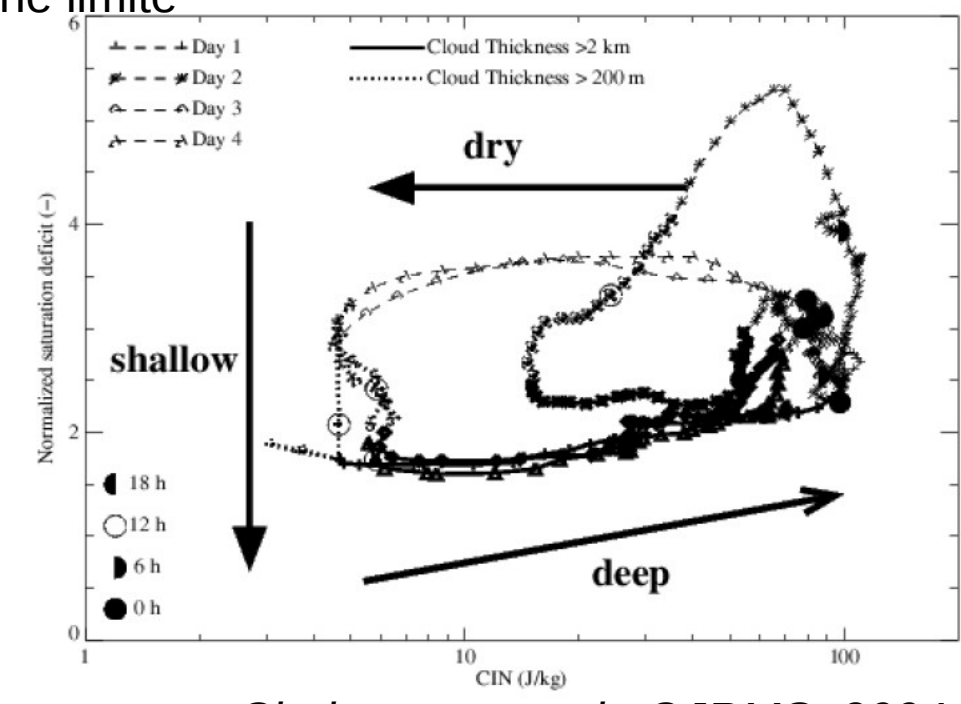
cumulus
growth
rainfall

sunrise noon sunset

Guichard et al., QJRMS, 2004

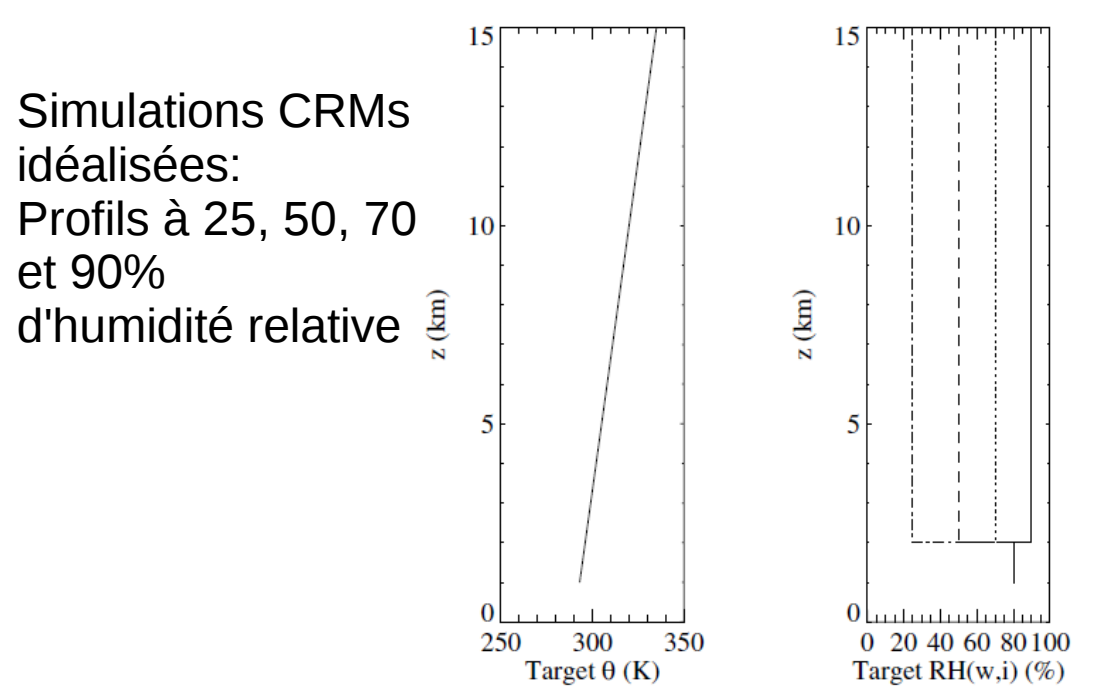
Simulation CRM de 4 jours consécutifs de convection profonde en Oklahoma

- Convection sèche:
   CIN diminue et NSD reste constant
- Convection peu profonde:
   CIN reste constante et NSD diminue
- Convection profonde:
   CIN augmente rapidement et NSD augmente lentement

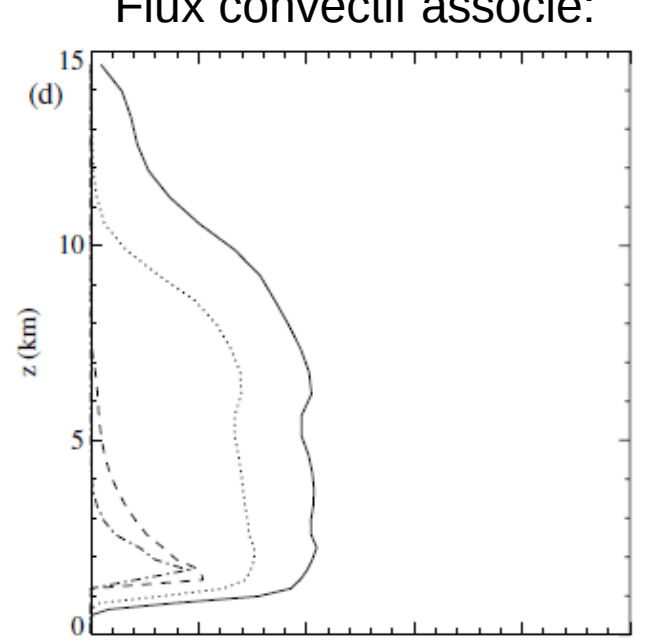


Chaboureau et al., QJRMS, 2004

L'humidité de la troposphère libre

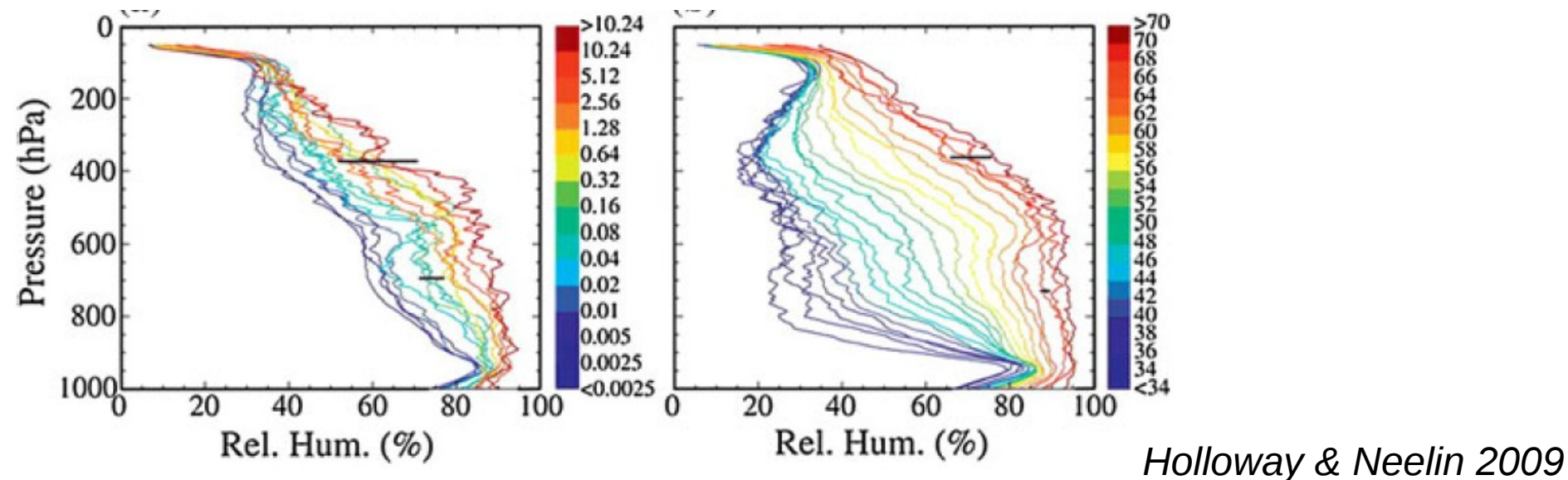


Derbyshire et al., QJRMS, 2004 Flux convectif associé:



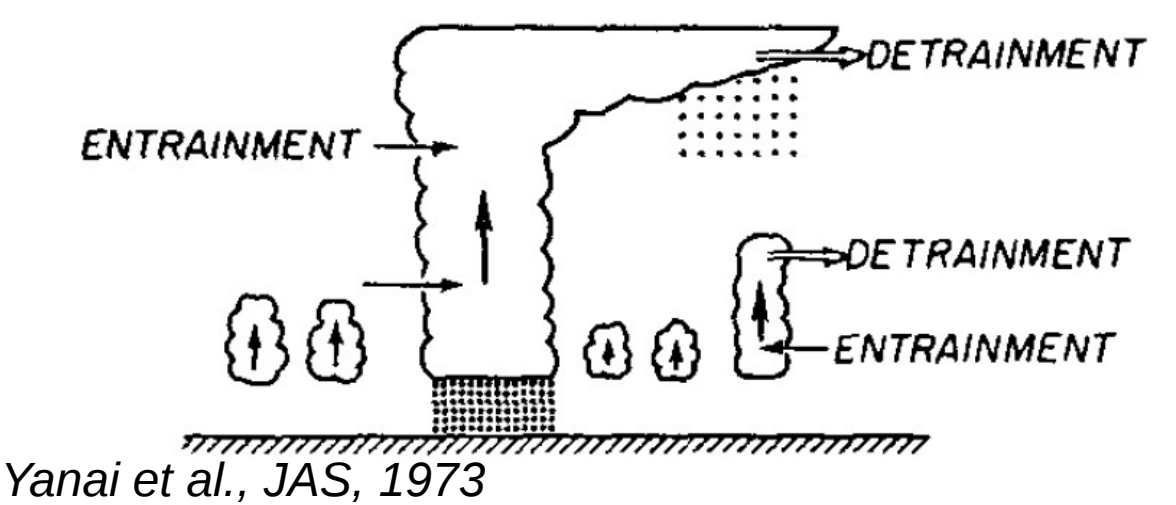
CL UD mass flux (kg m<sup>-2</sup>s<sup>-1</sup>), CNRM CRM (std)

Lien entre taux de pluies (mm/h, gauche) et contenu intégré en eau (mm, droit) et humidité relative dans les observations:



Importance de l'entrainement d'air dans les cumulus

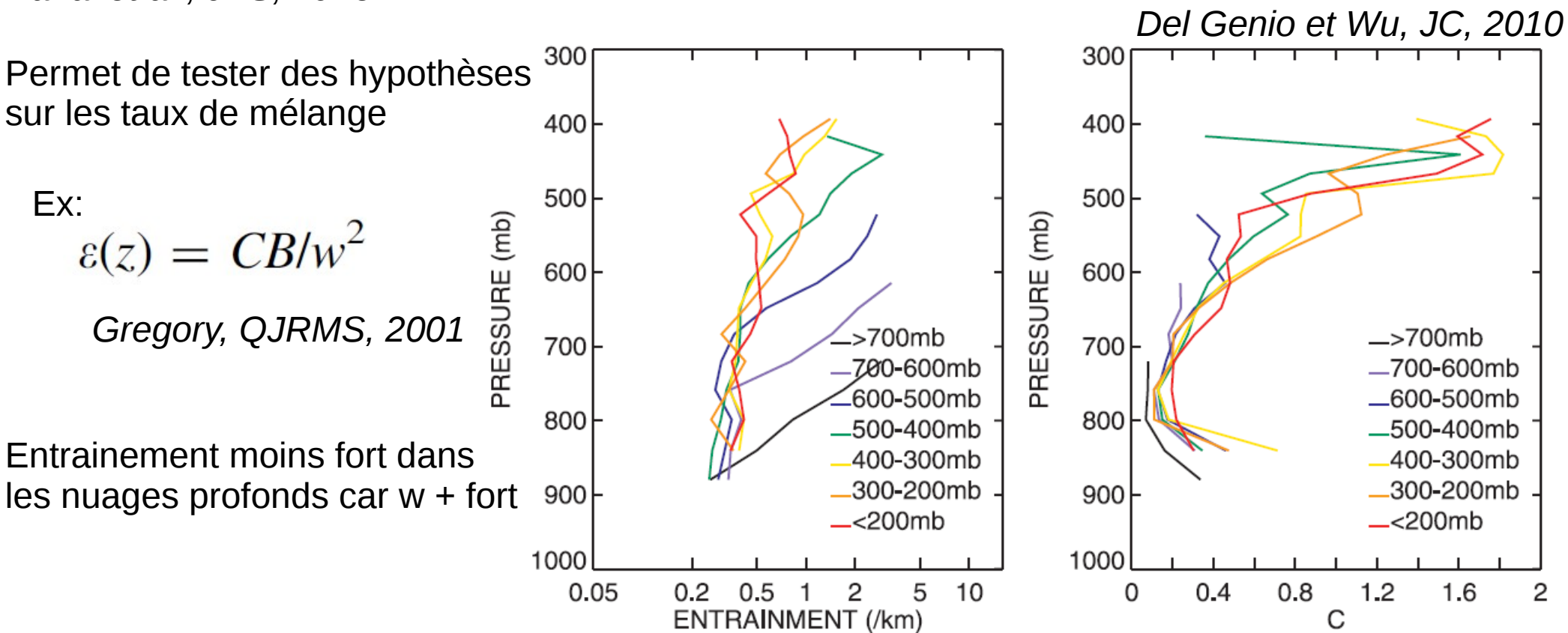
La convection est sensible à l'humidité de la troposphère libre via l'entrainement



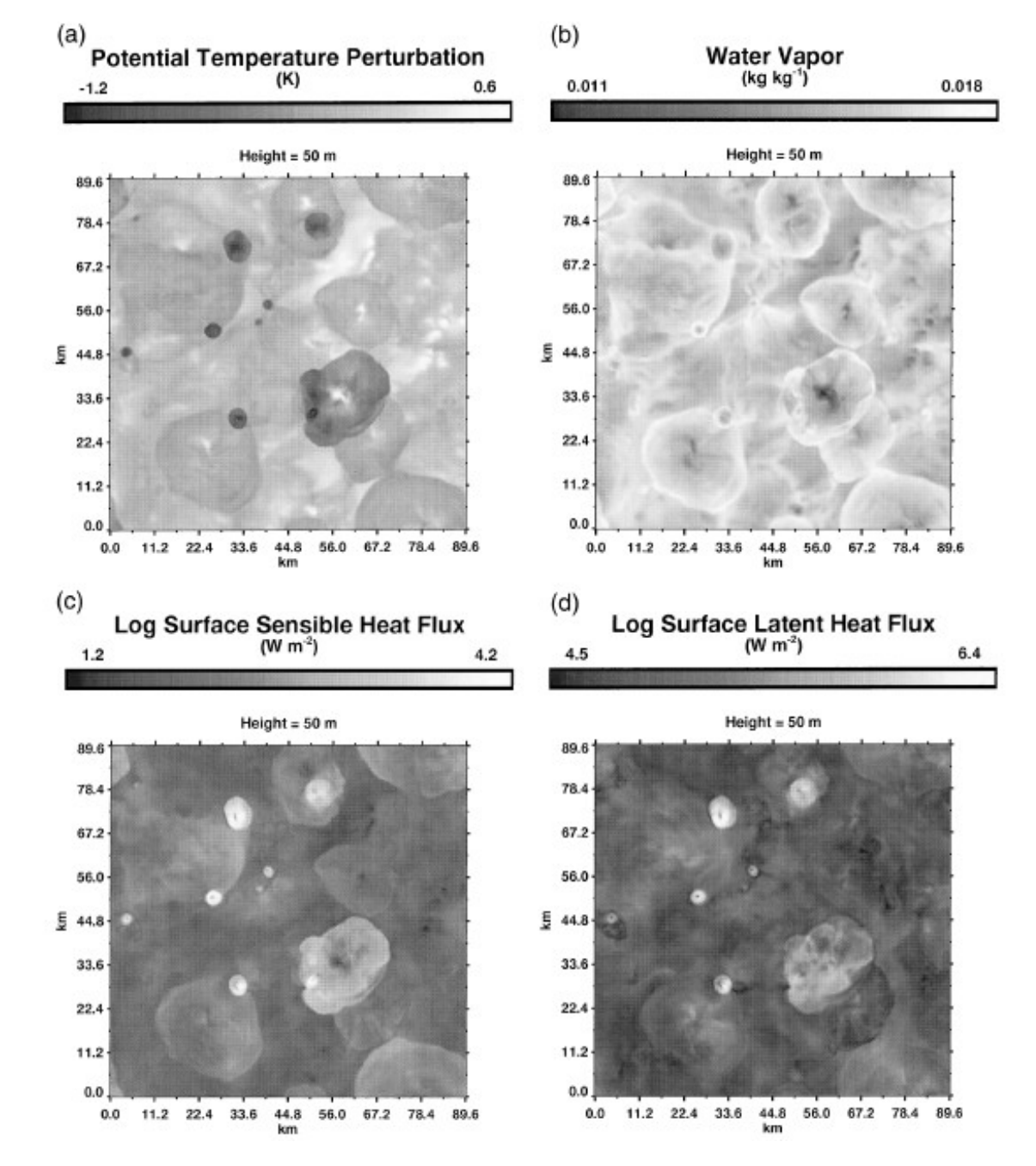
Grandeur très difficile à mesurer

Peut se calculer dans les LES/CRM à partir d'une variable ψ conservée sans mélange

$$\varepsilon = \frac{1}{\psi - \psi_u} \frac{\partial \psi_u}{\partial z}$$



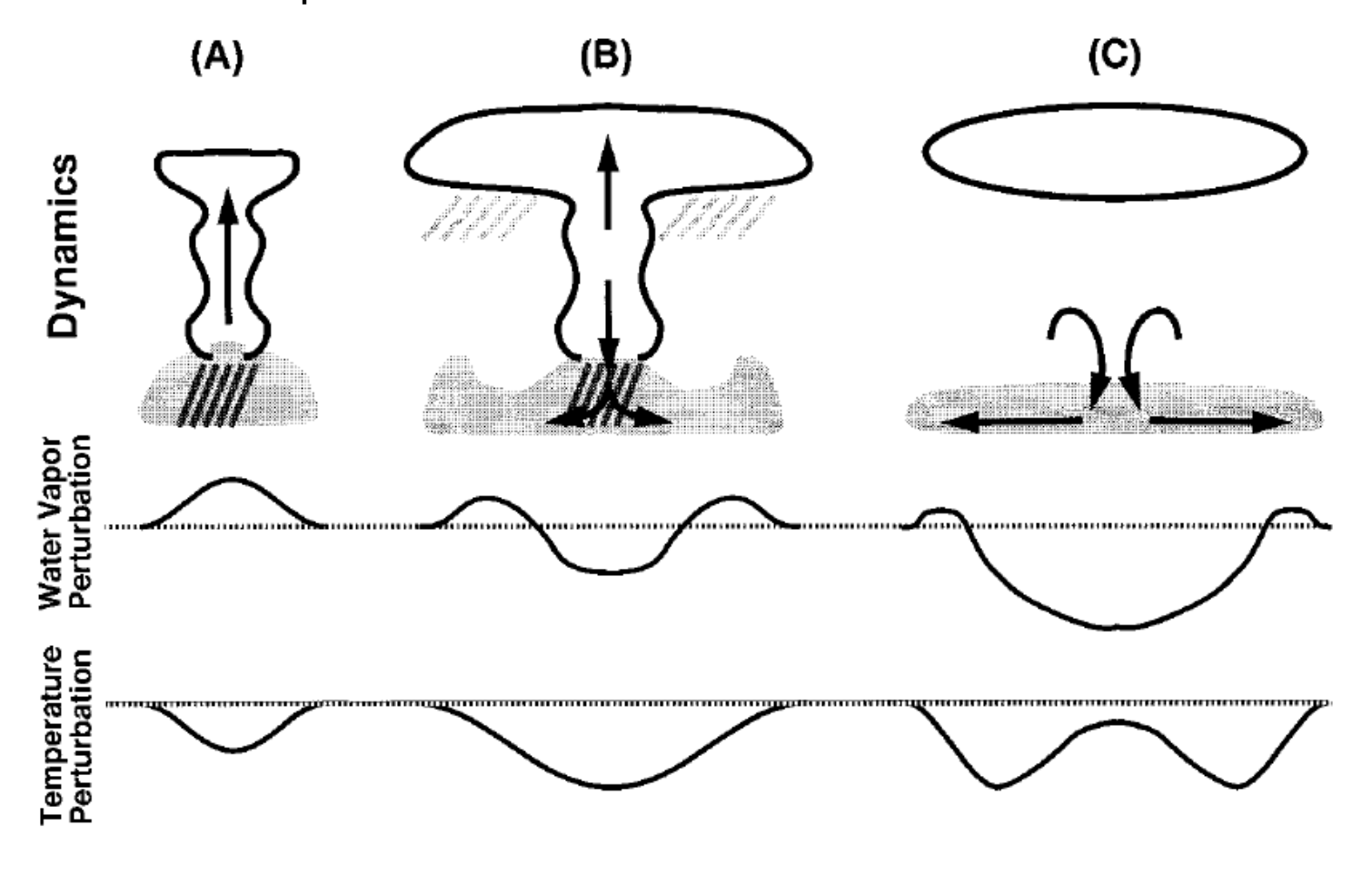
Variabilité dans la couche limite: Le rôle des poches froides Identification des poches froides dans une simulation LES:



Poches froides versus environnement:

Perturbation de température ~ -1K Perturbation d'humidité ~ -1.5 g/kg Flux sensible x1.9 Flux latent x2.6

Variabilité dans la couche limite: Le rôle des poches froides Développement en trois phases:



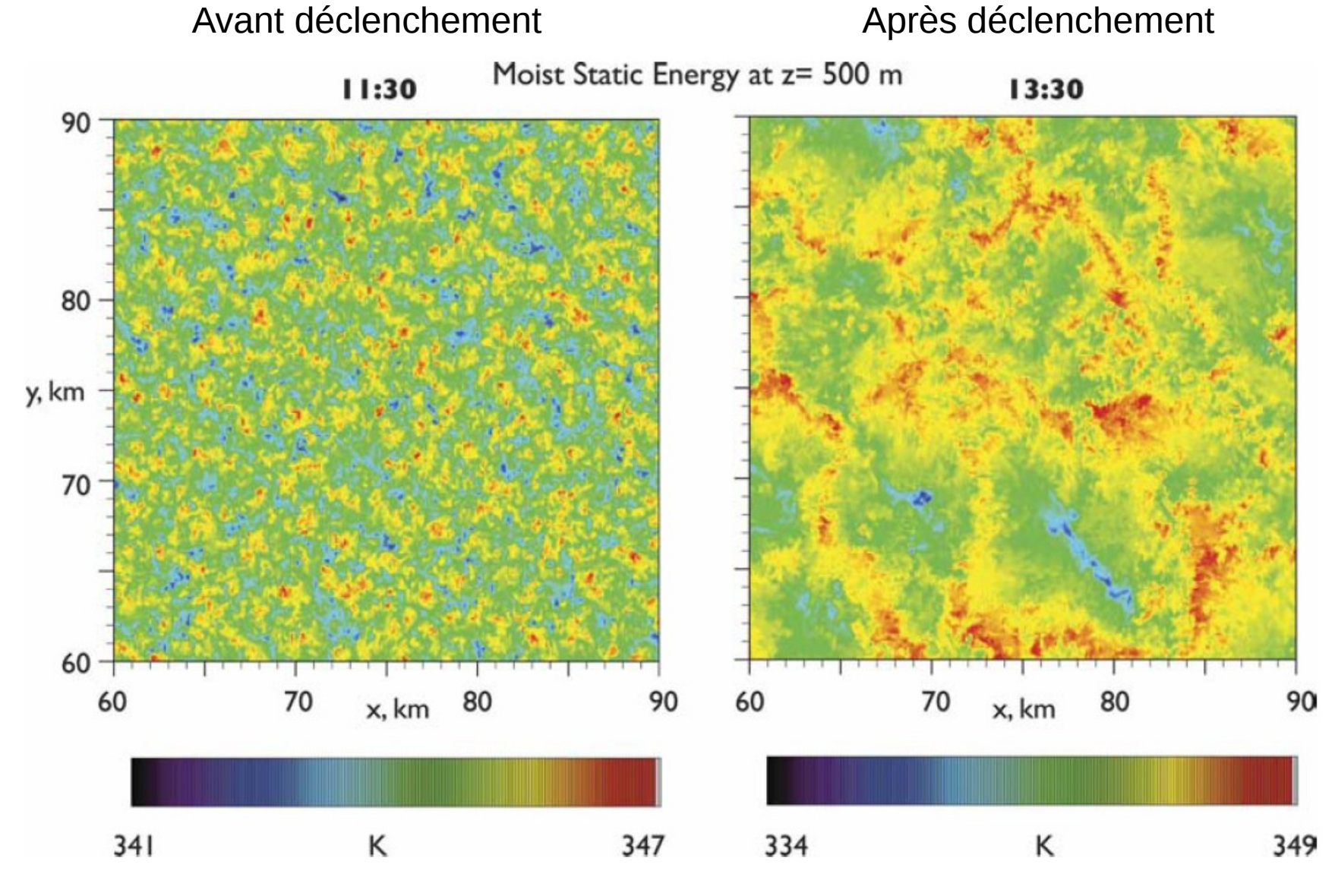
A: refroidissement et humidification par l'évaporation des pluies

B: refroidissement et assèchement par les descentes d'air

C: réchauffement et assèchement par entrainement d'air du dessus de la couche limite dans les poches:

Variabilité dans la couche limite: Le rôle des poches froides

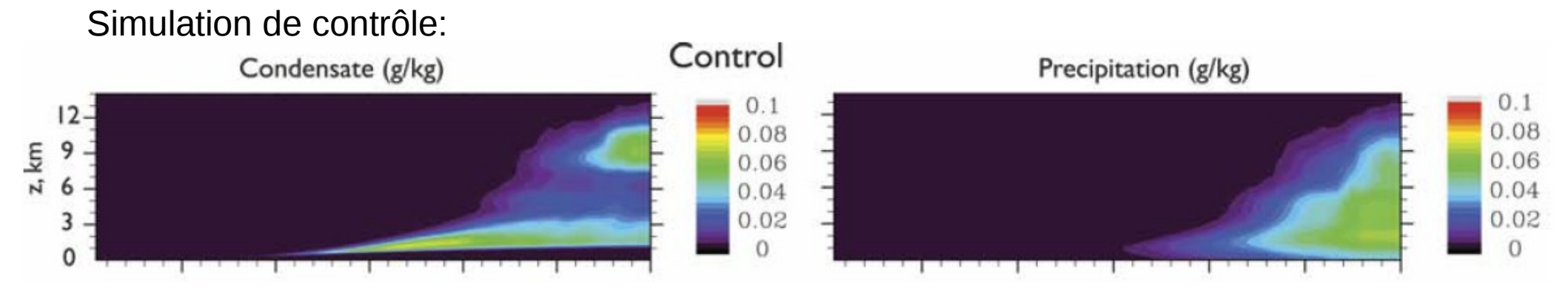
Coupe horizontale à 500m d'énergie statique humide dans une simulation LES de déclenchement de convection en Amazonie



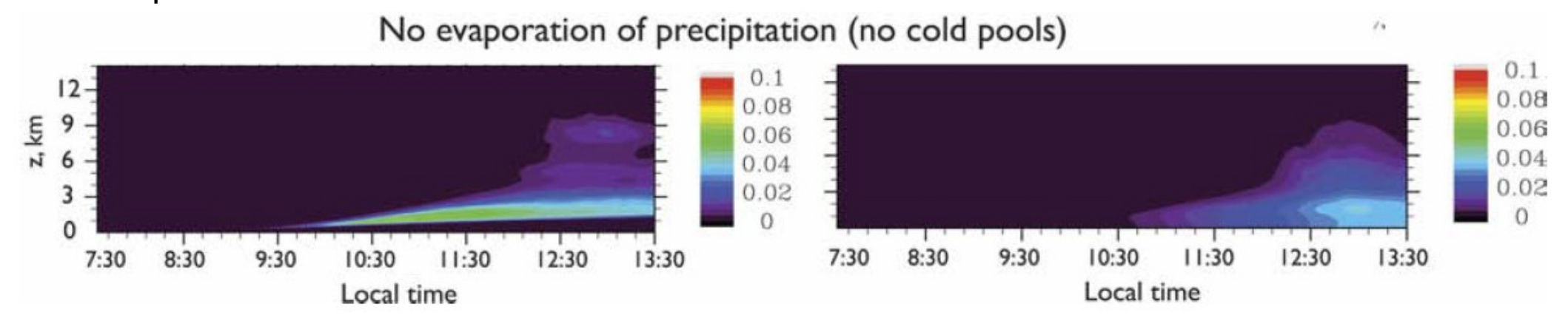
Khairoutdinov et Randall, JAS, 2006

Variabilité dans la couche limite: Le rôle des poches froides

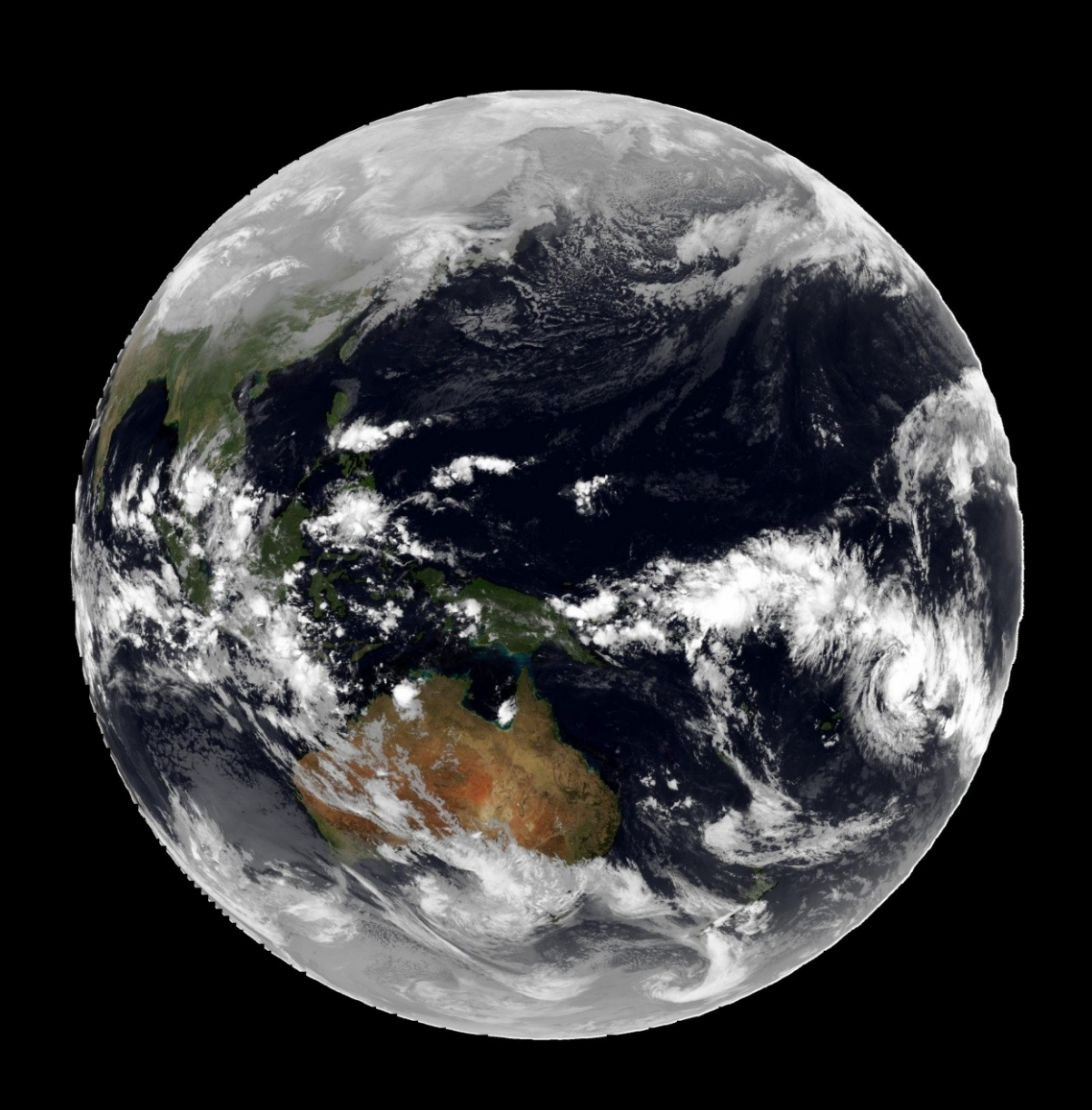
Cycle diurne du condensat et des pluies

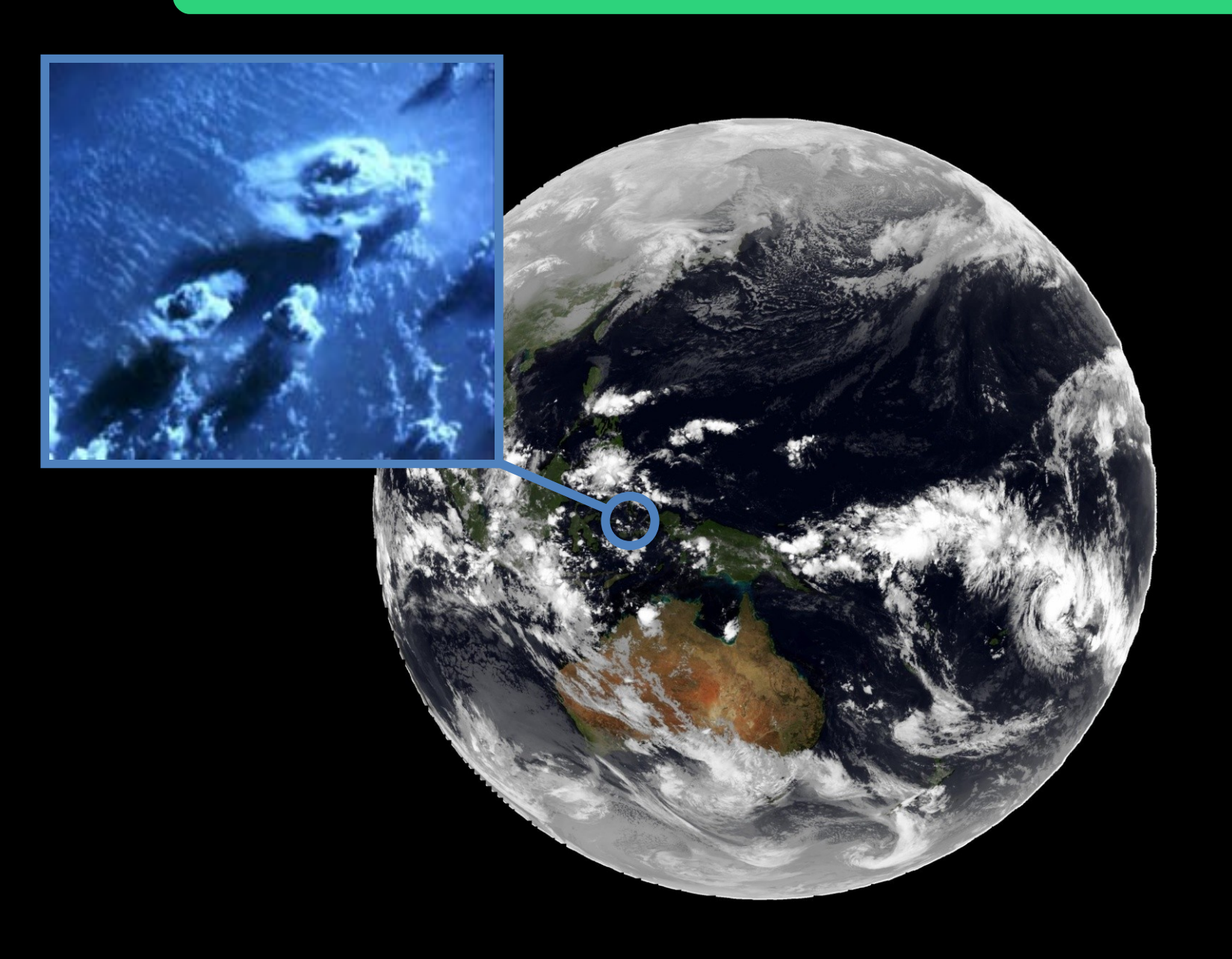


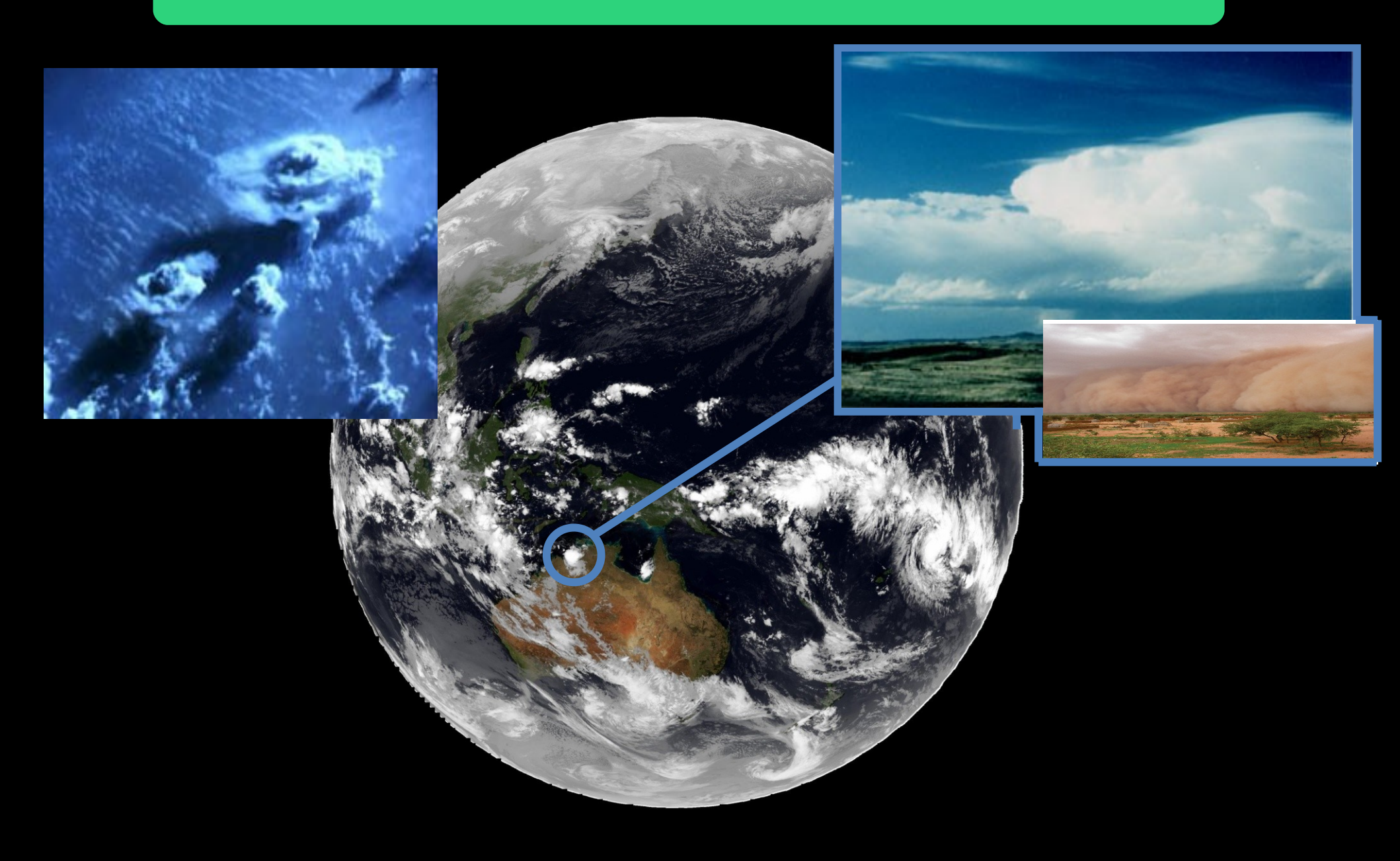
Simulation dans laquelle l'évaporation des pluies est désactivée, empêchant la création des poches froides

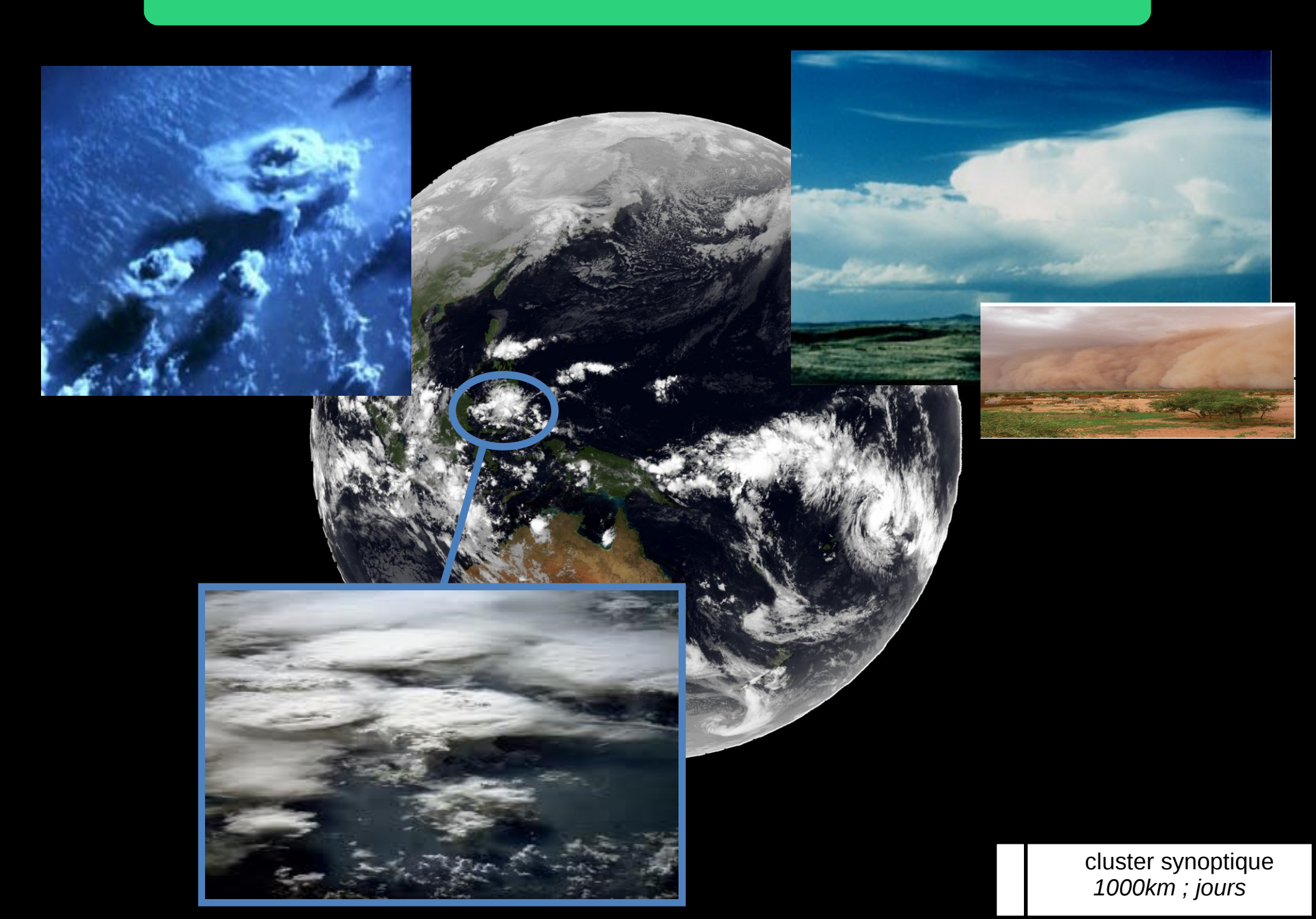


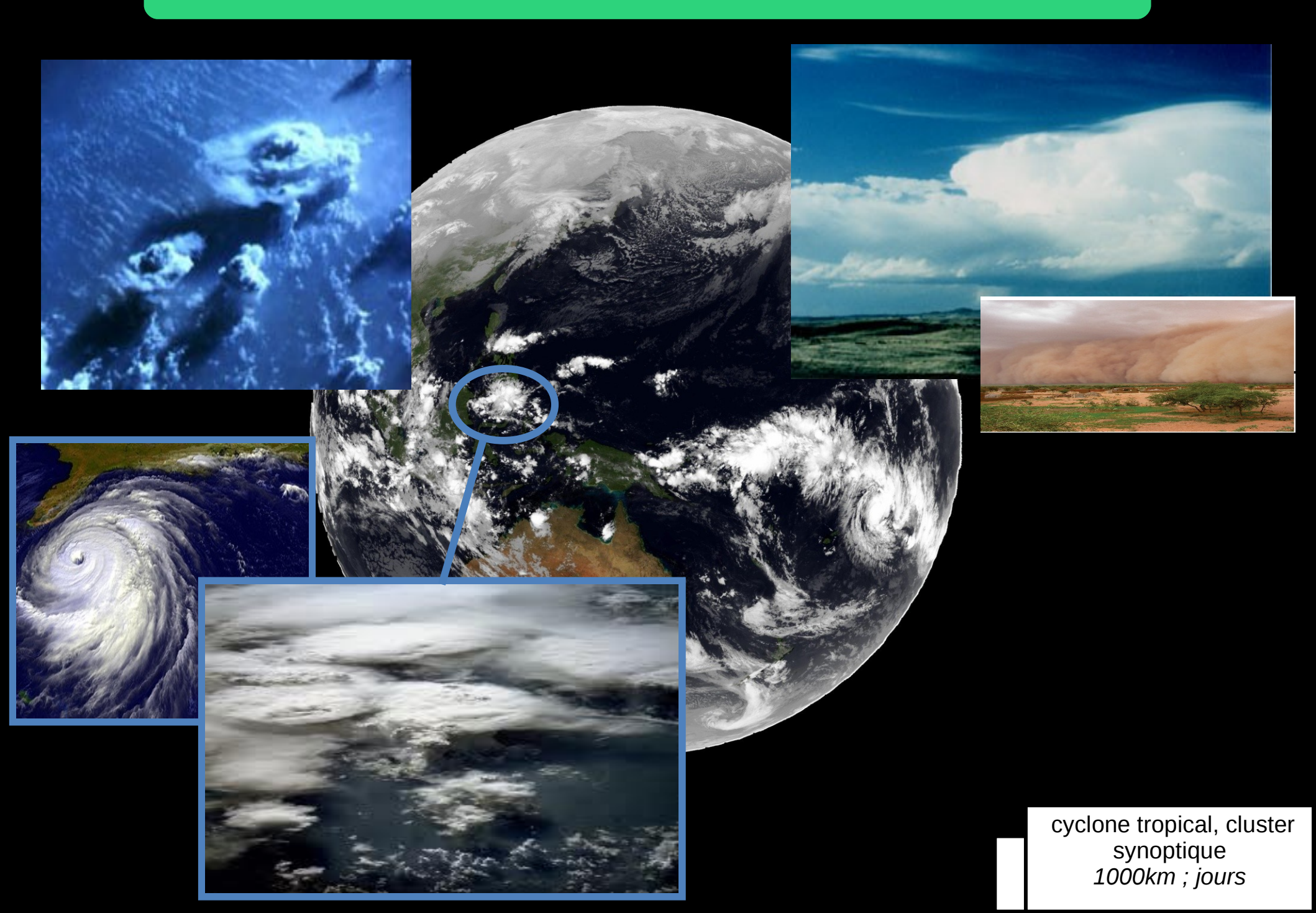
Les nuages restent de type congestus

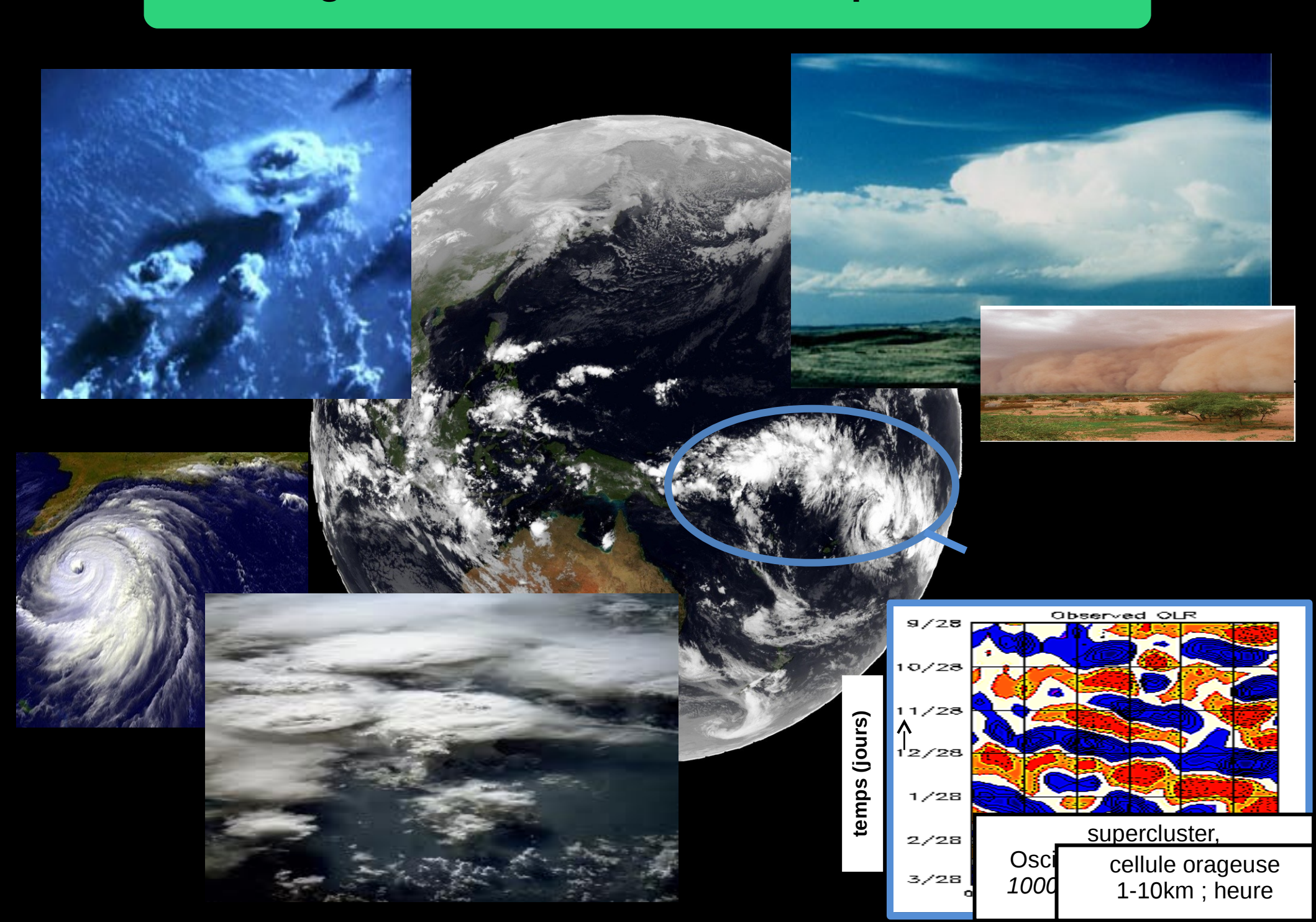




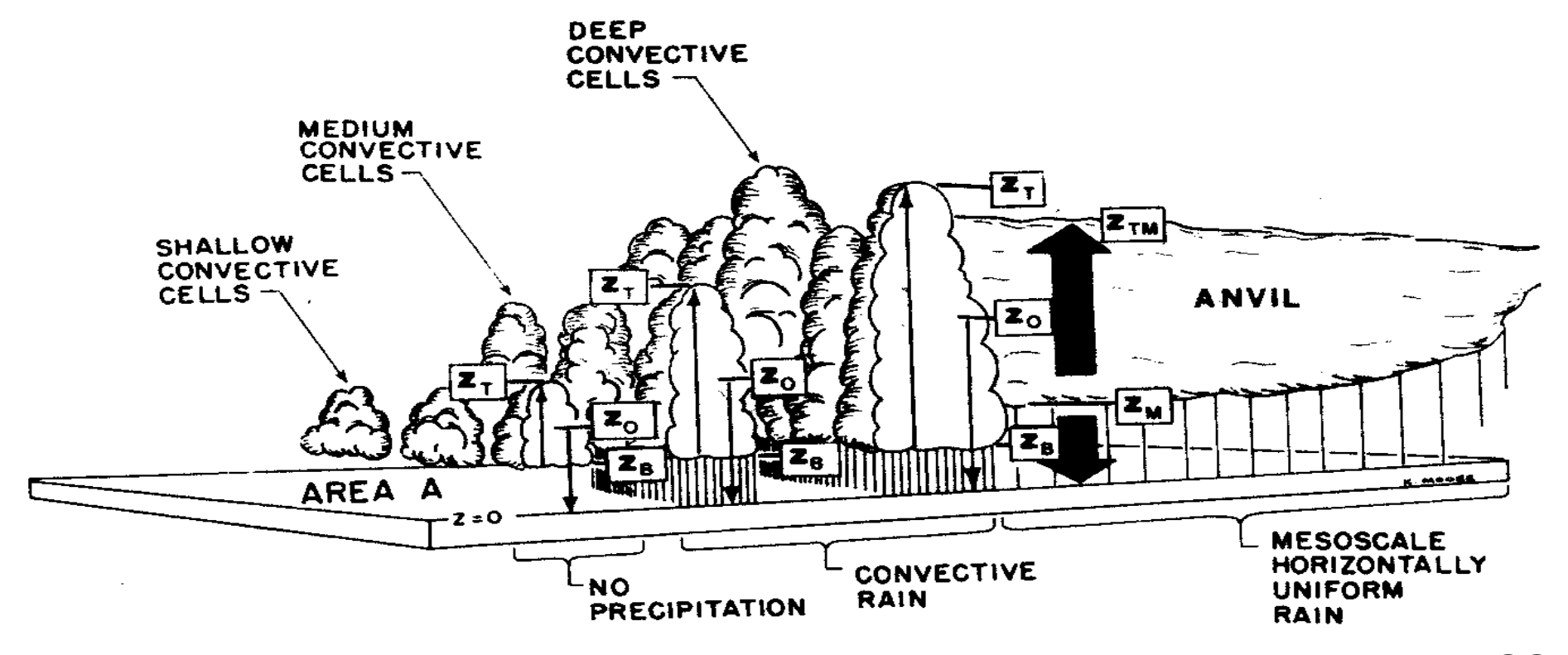








MCS pour Mesoscale Convective Systems



Houze et Betts, RGSP, 1981

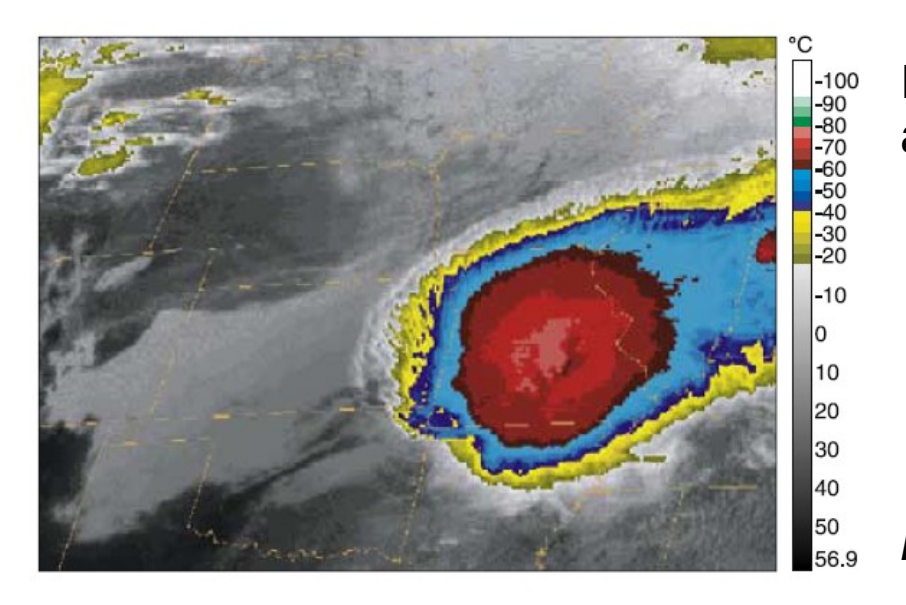
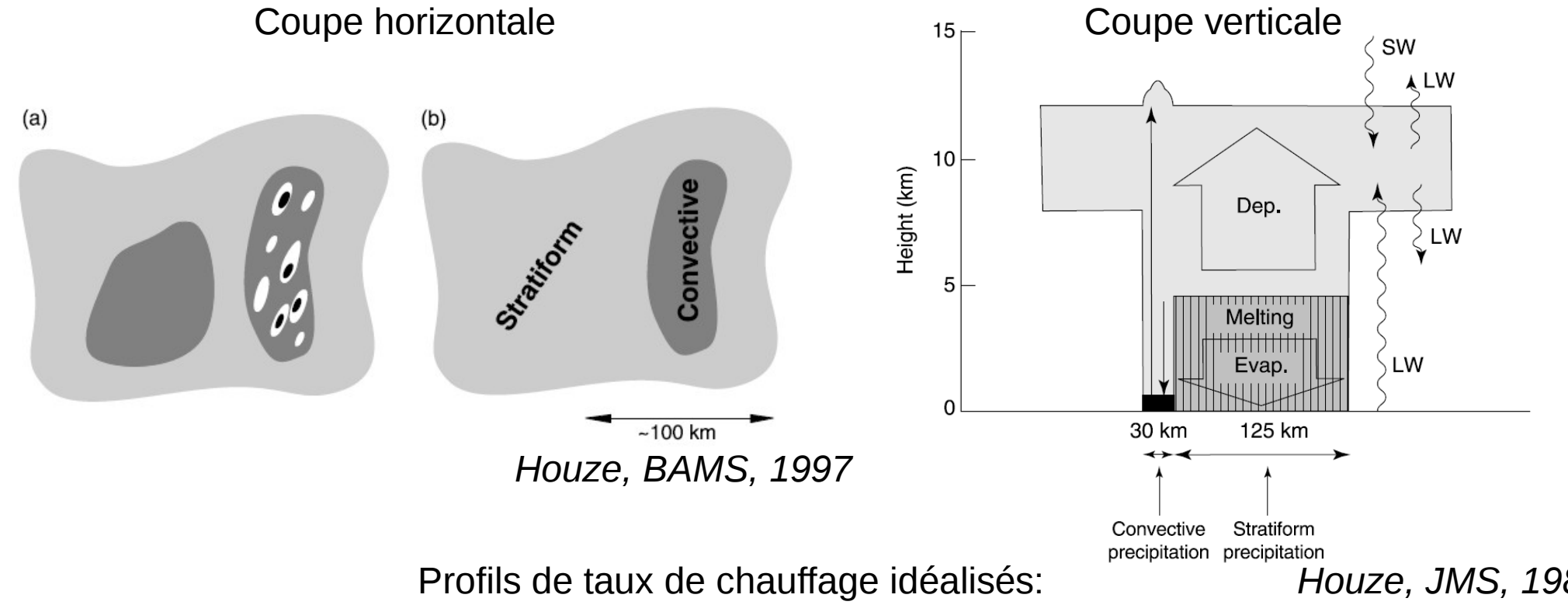


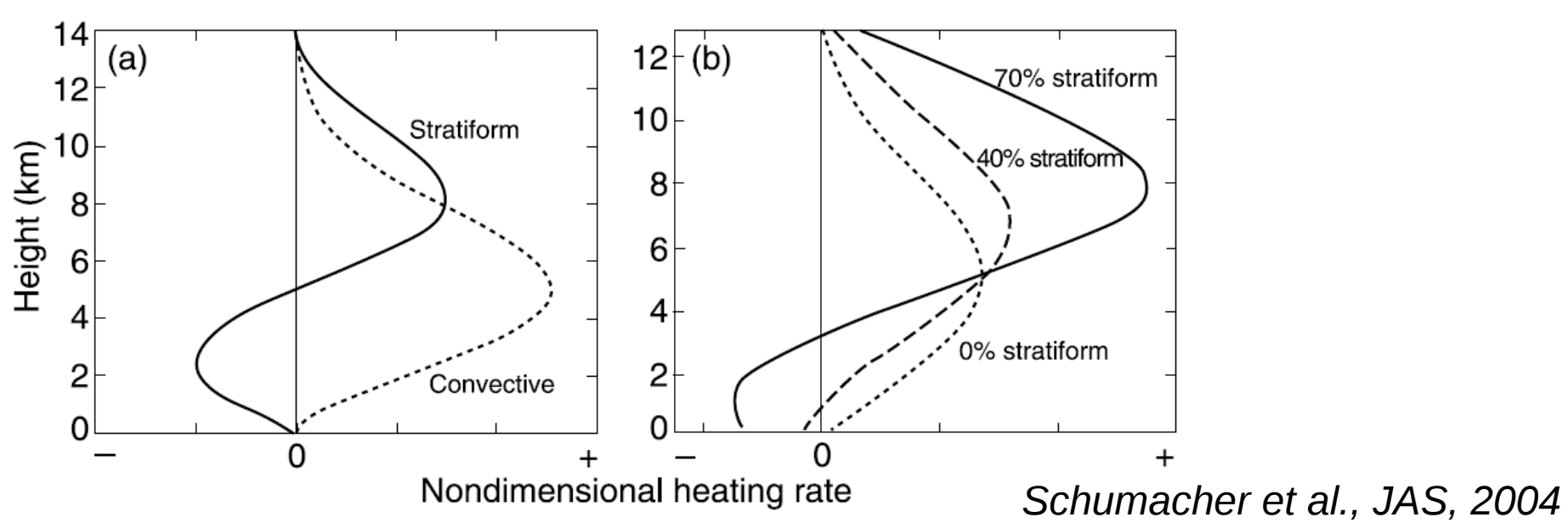
Image infra-rouge d'un MCS au-dessus du Missouri

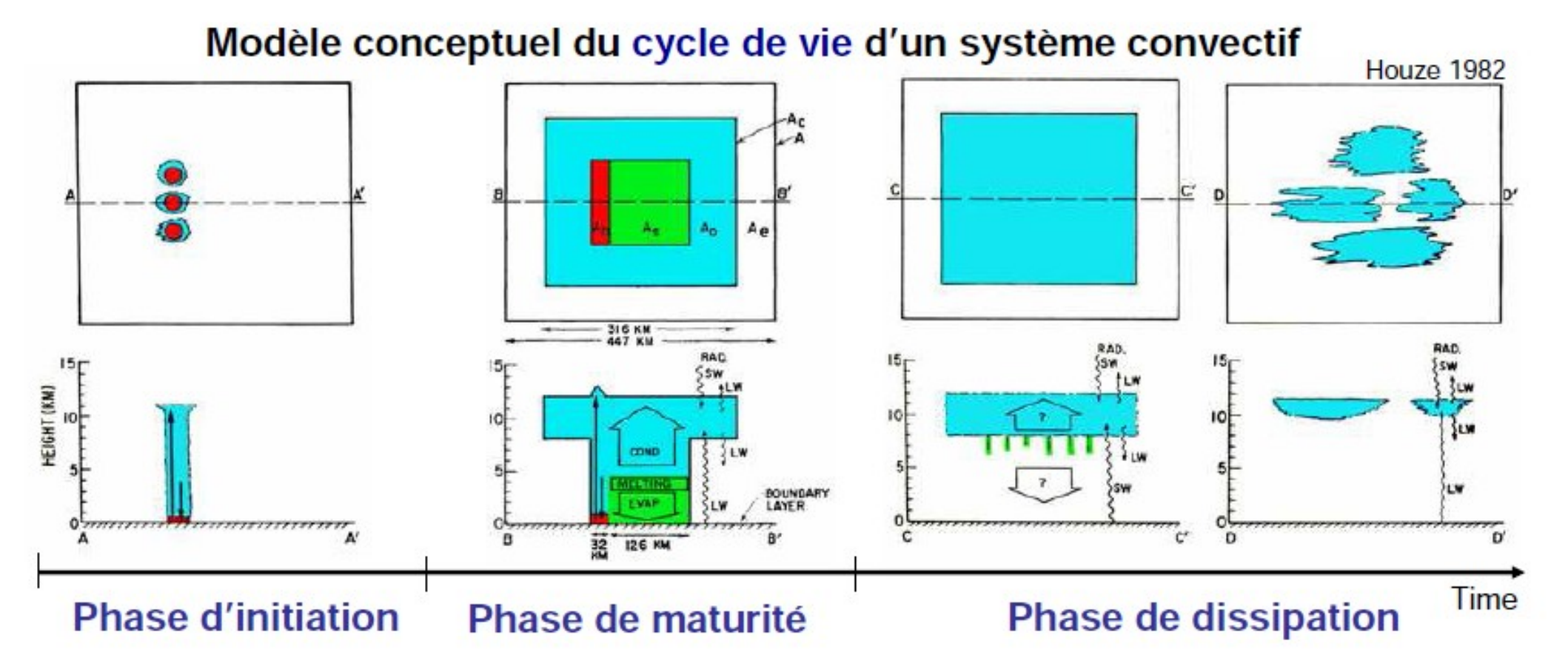
Houze, RG, 2004

Vision simplifiée d'un MCS: partie convective versus stratiforme



Houze, JMS, 1982

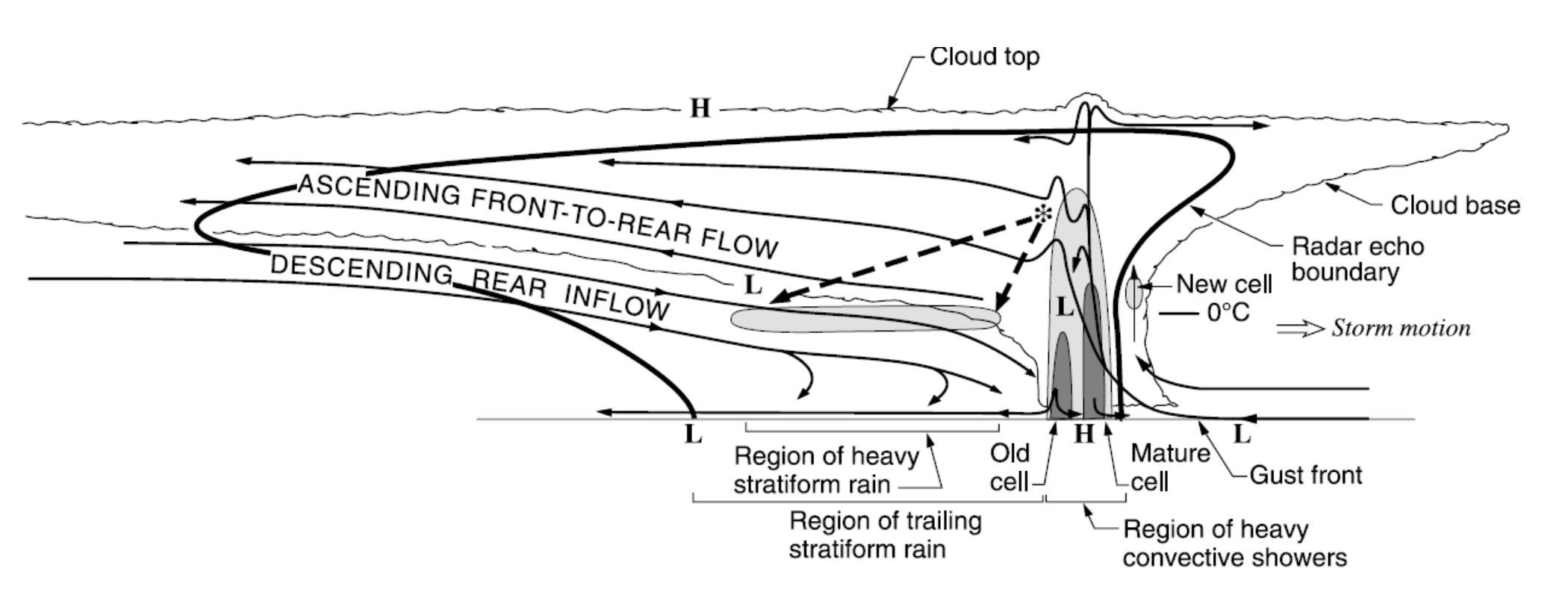




Phase d'initiation: développement de cellules convectives successives

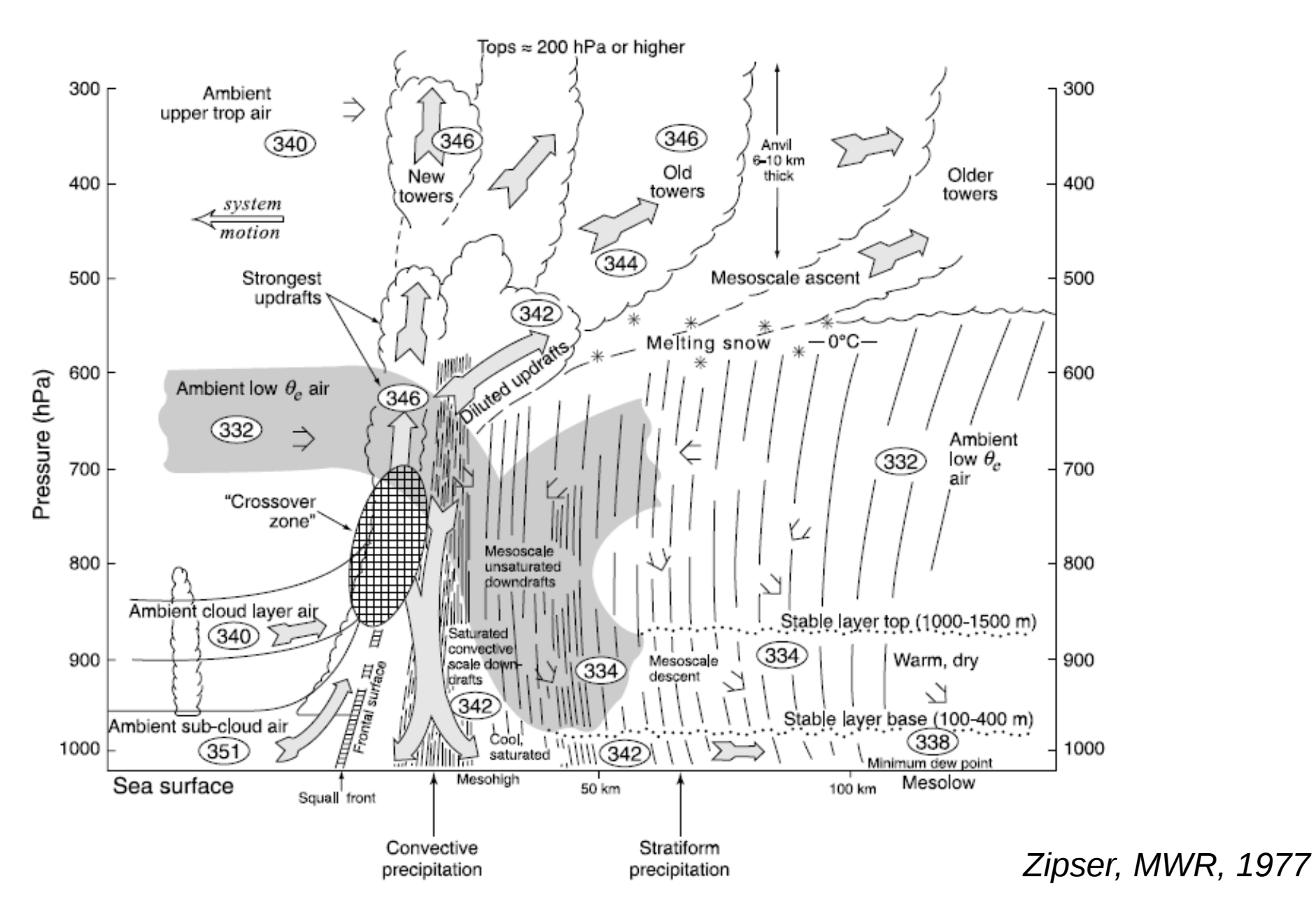
Phase de maturité: partie stratiforme bien développé via le détrainement des cellules convectives Phase de dissipation: disparition des cellules convectives, dissipation des nuages stratiformes

Réalité plus complexe: existence de circulations à méso-échelle "rear inflow": dû à des ondes de gravité générées en réponse au chauffage dans la région convective



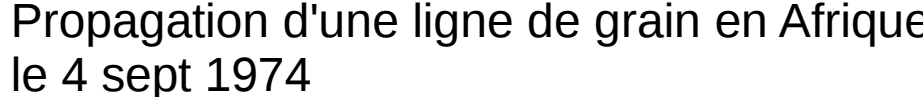
Houze et al., BAMS, 1989

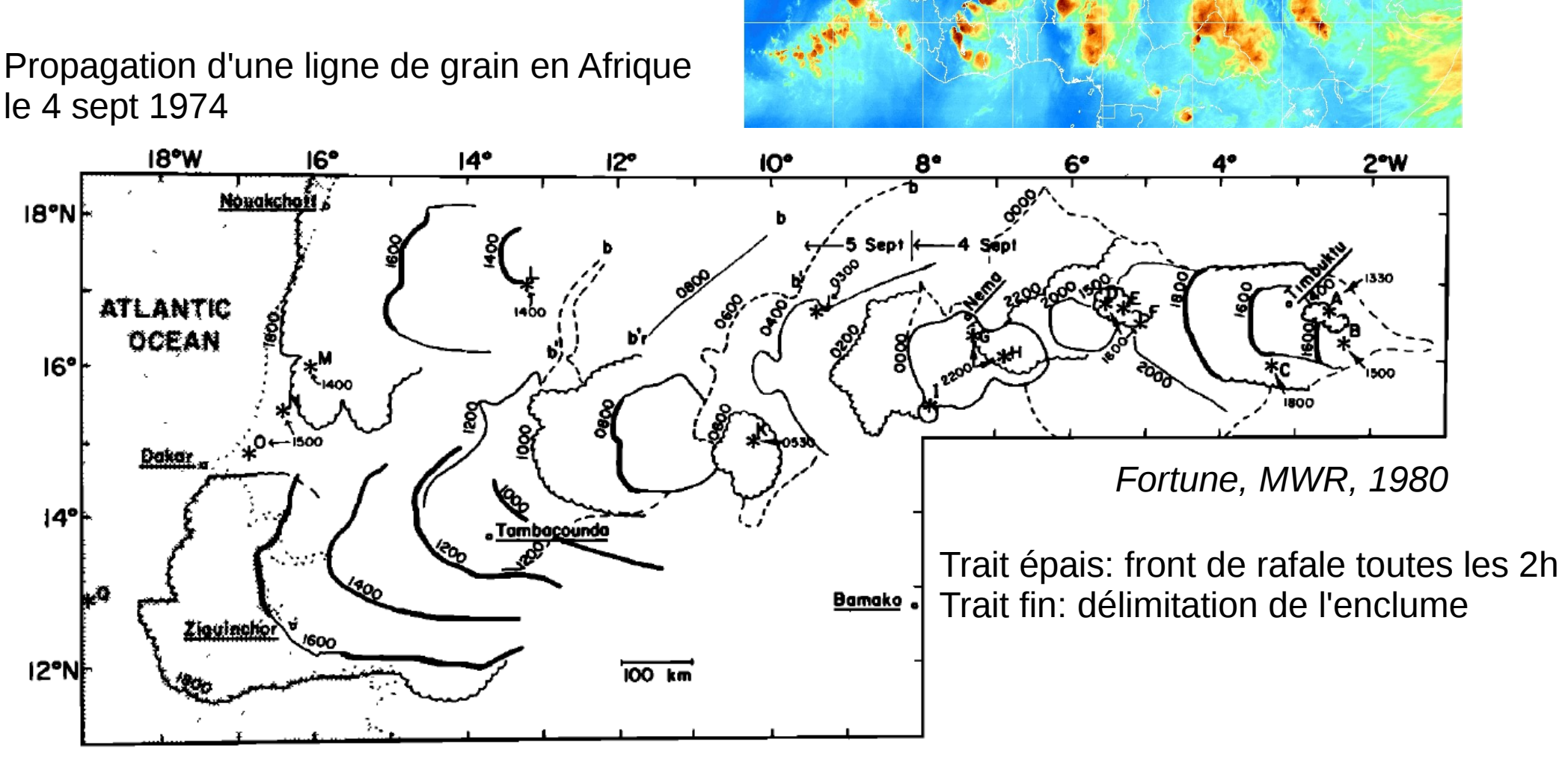
Réalité plus complexe: "updrafts" et "downdrafts" à l'échelle convective et stratiforme



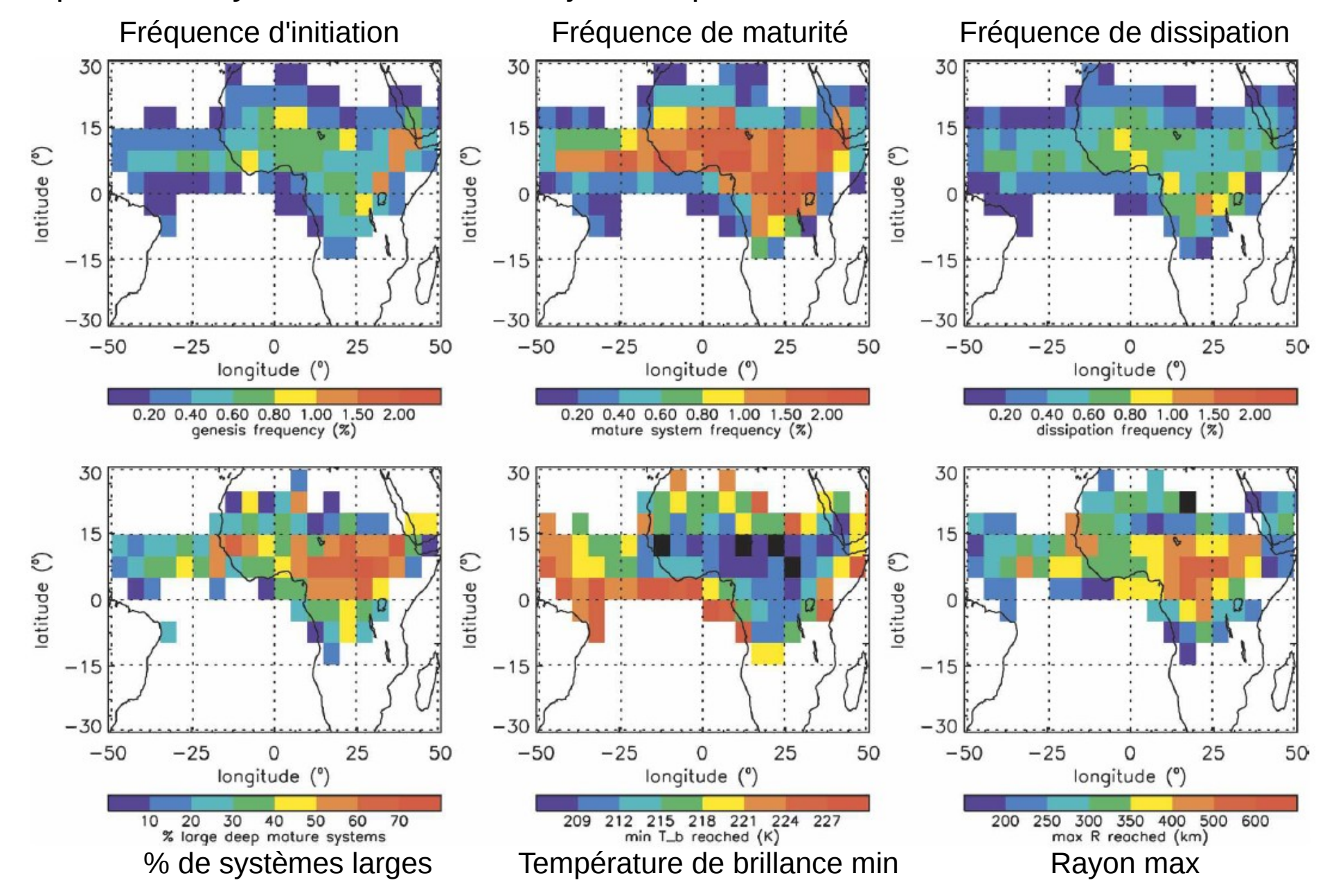
Propagation des lignes de grain

Lignes de grain se propageant vers l'ouest en Afrique vues par satellite



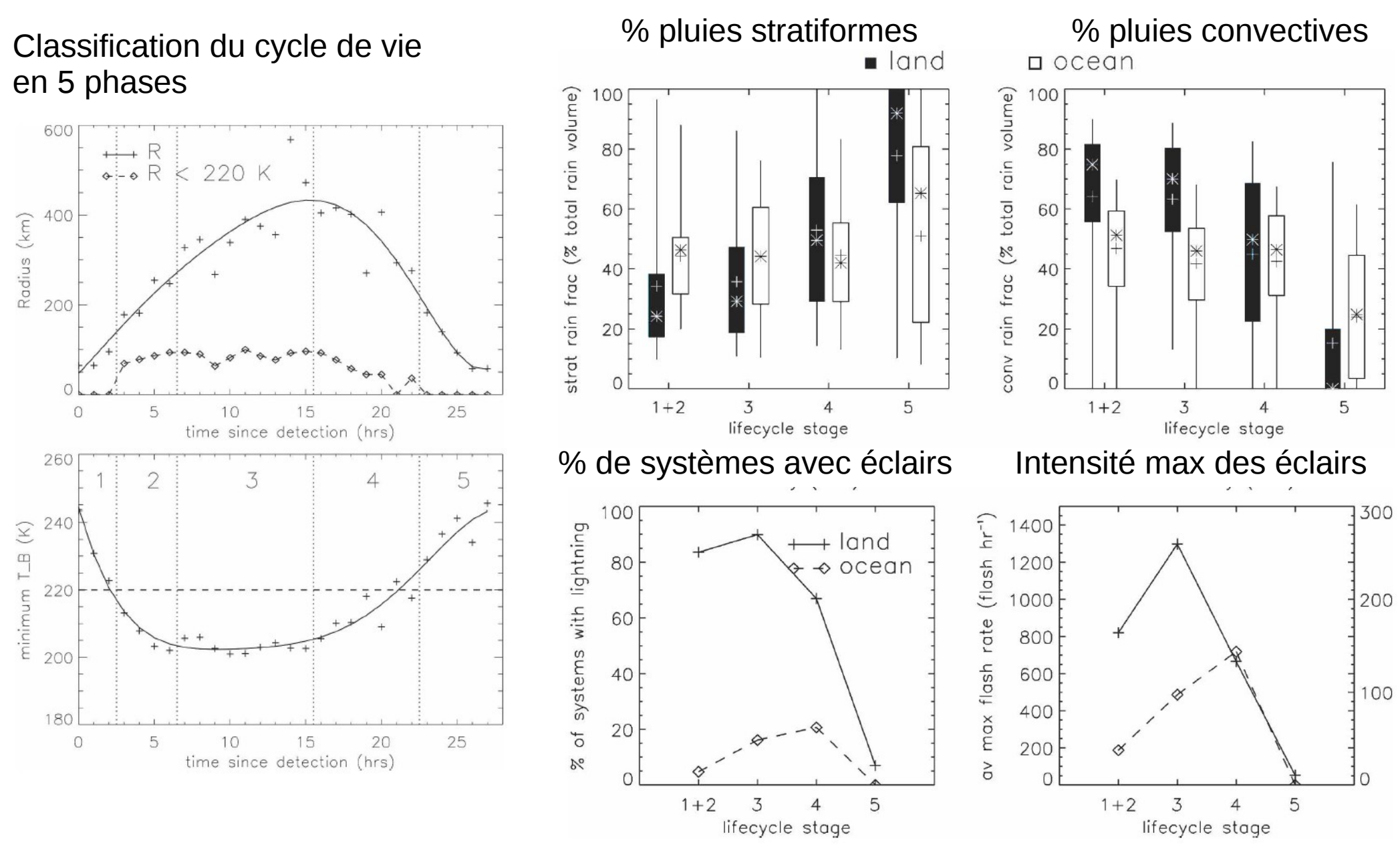


Systèmes continentaux versus océaniques Composites de systèmes convectifs de juin à septembre 2005



Futyan et Del Genio, JC, 2007

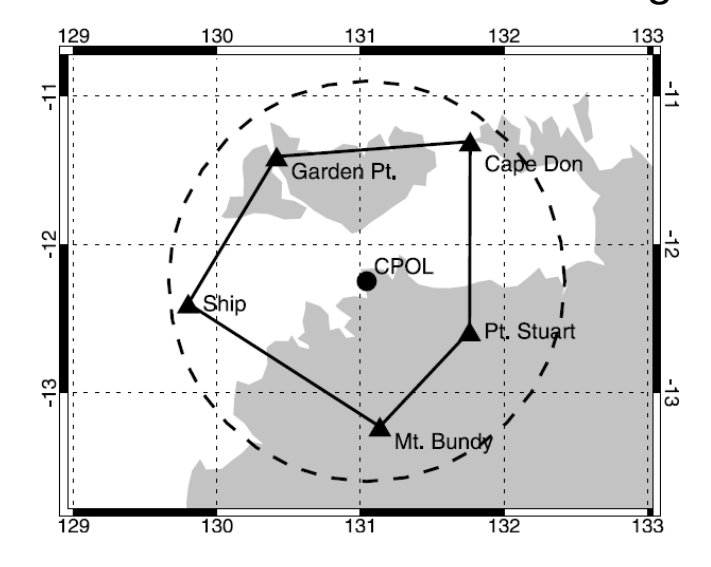
Systèmes continentaux versus océaniques Composites de systèmes convectifs de juin à septembre 2005



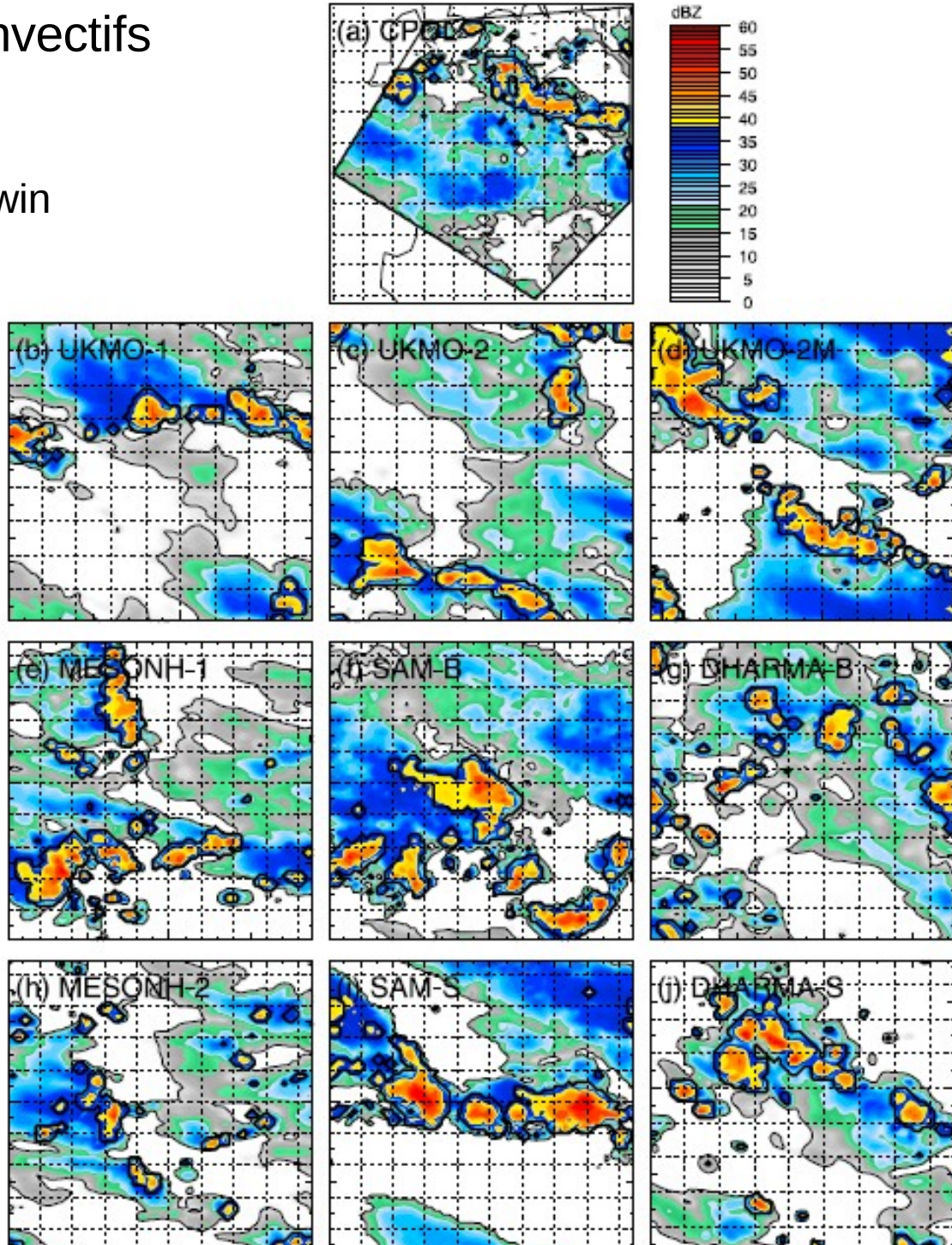
Futyan et Del Genio, JC, 2007

Simulations CRM des systèmes convectifs à méso-échelle

Expérience TWP-ICE: Janvier/février 2006 dans la région de Darwin

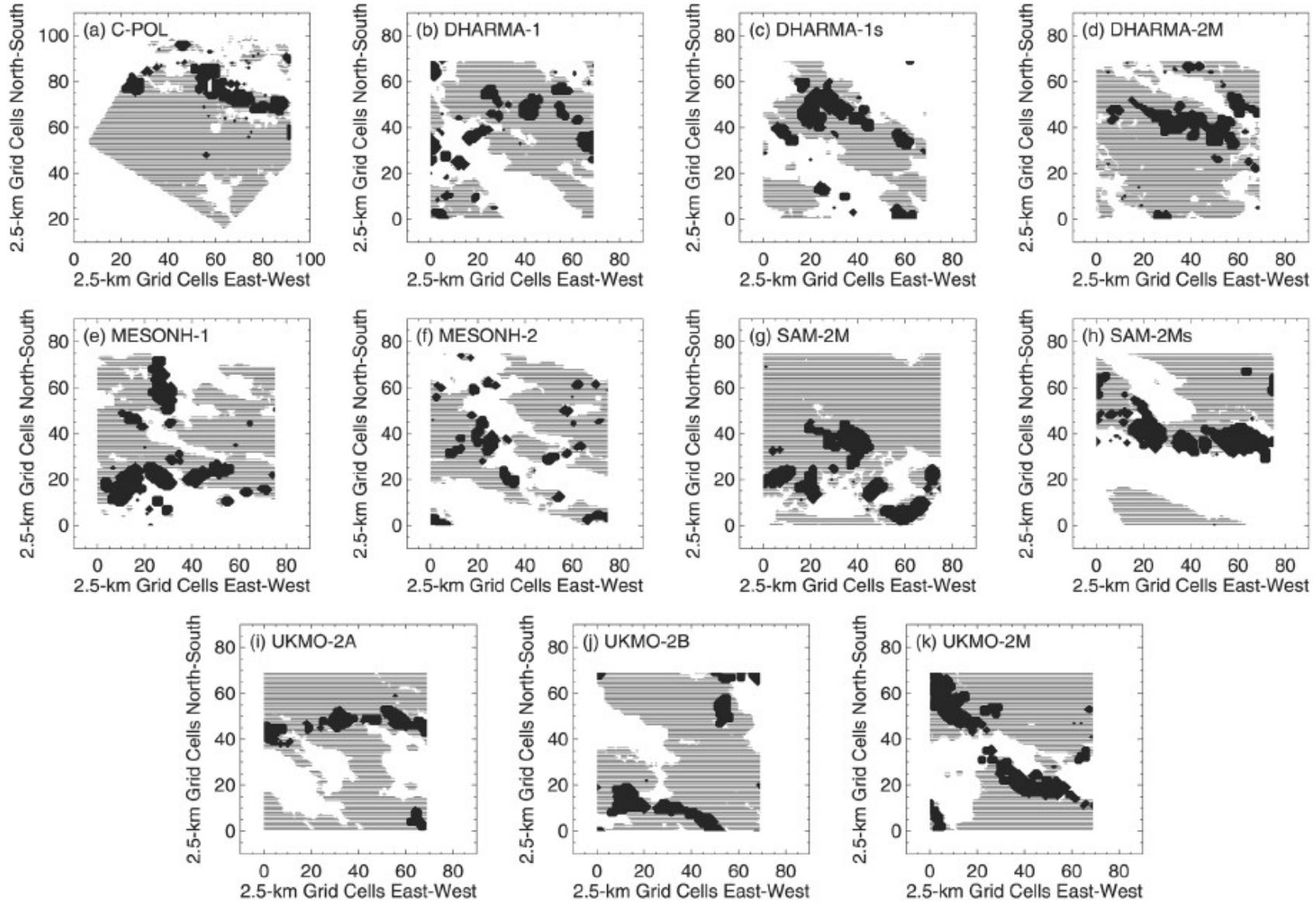


Coupe horizontale de la réflectivité à 0300UTC le 20 janvier telle qu'observée par le RADAR CPOL et telleque simulée par différents CRMs



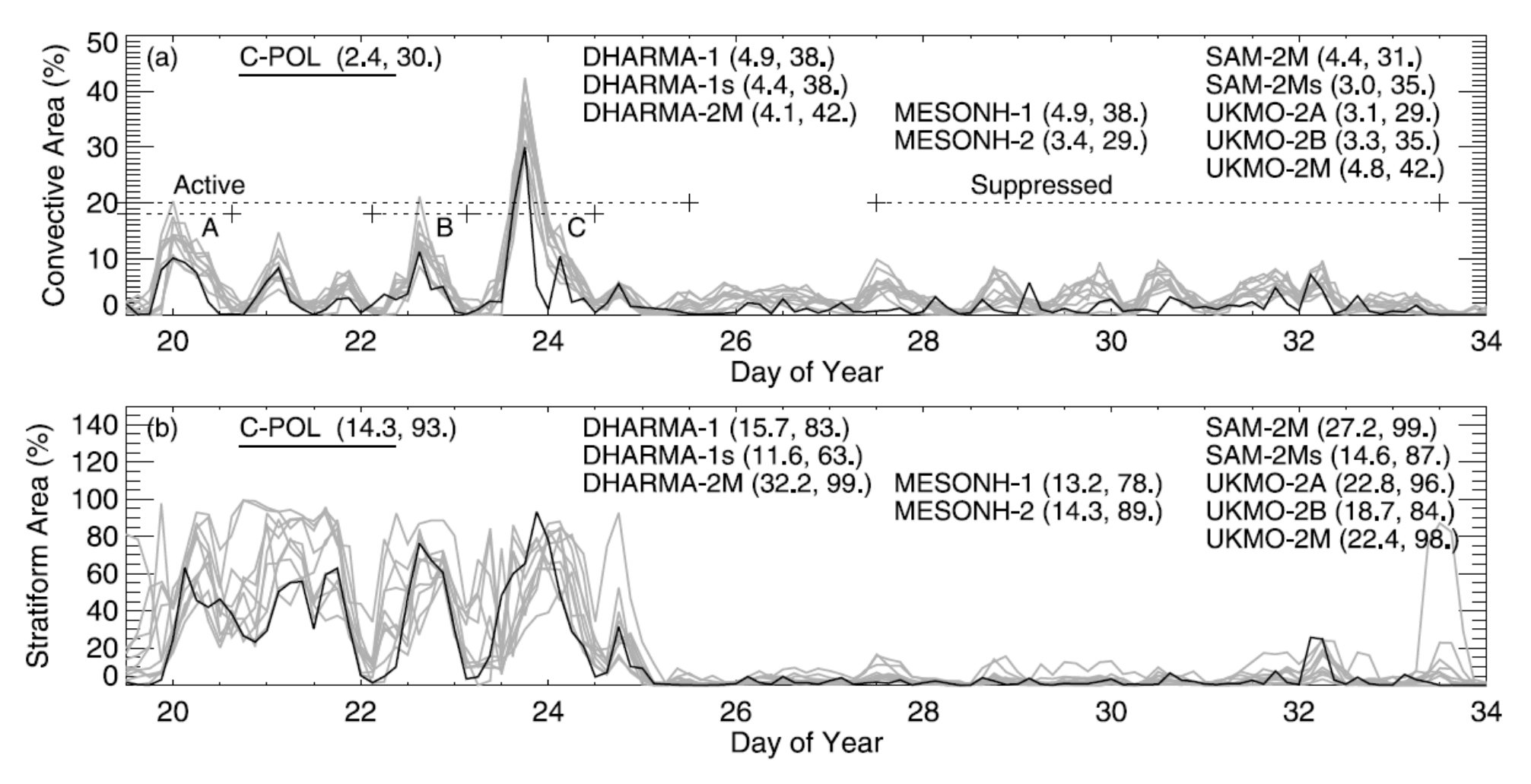
#### Simulations CRM des systèmes convectifs à méso-échelle

Répartition région convective (noir) / région stratiforme (gris) associée



Fridlind et al., JGR, 2012

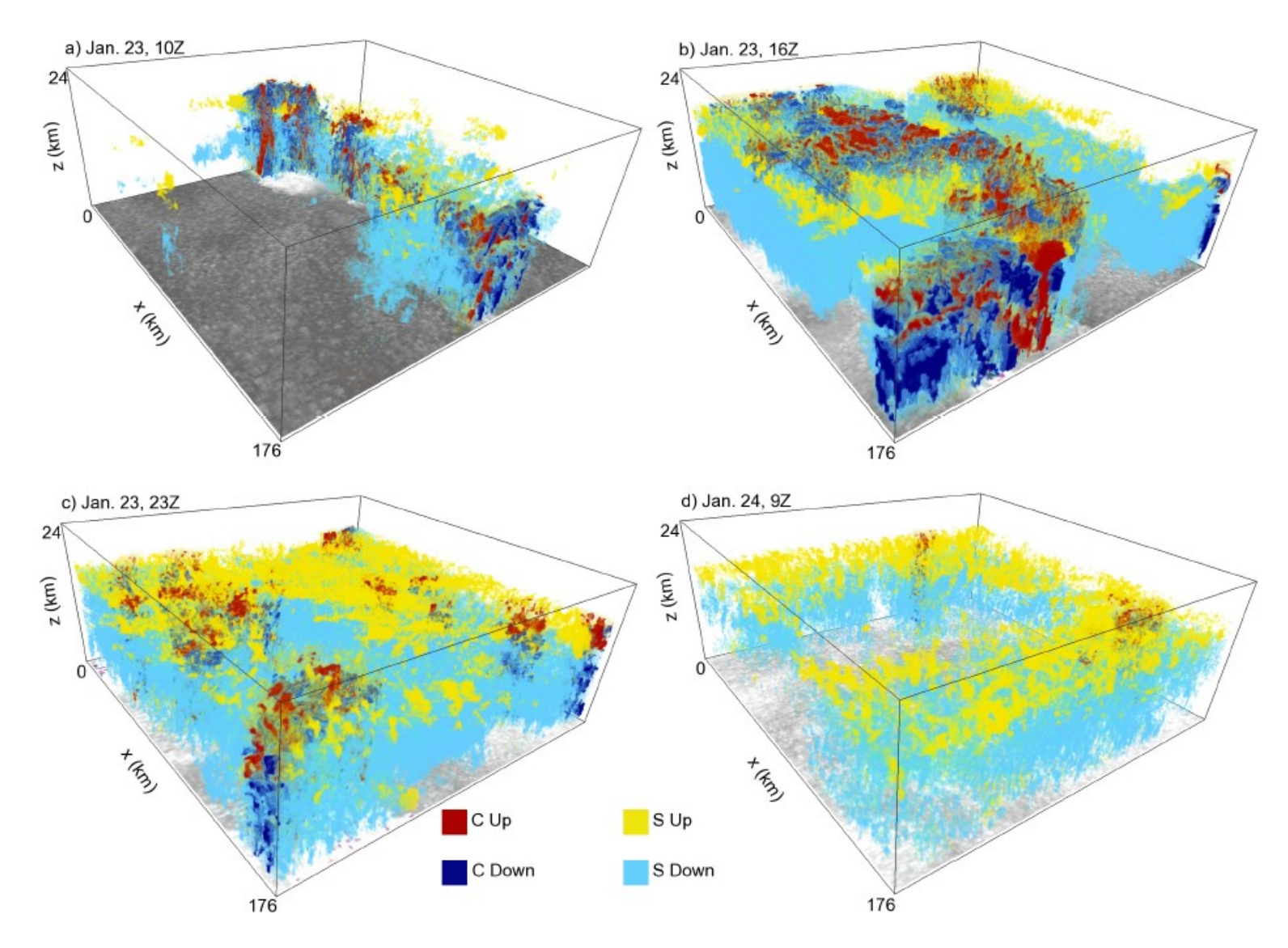
#### Simulations CRM des systèmes convectifs à méso-échelle



- Surestimation de la fraction convective dans les CRMs
- Résultats très variables d'un modèle à l'autre pour la fraction stratiforme (importance de la microphysique)

#### Simulations CRM des systèmes convectifs à méso-échelle

Identification des "updrafts" et "downdrafts" convectifs et stratiformes au cours du cycle de vie



Difficultés pour valider les caractéristiques des structures simulées à partir d'observations Mrowiec et al., JGR, 2012

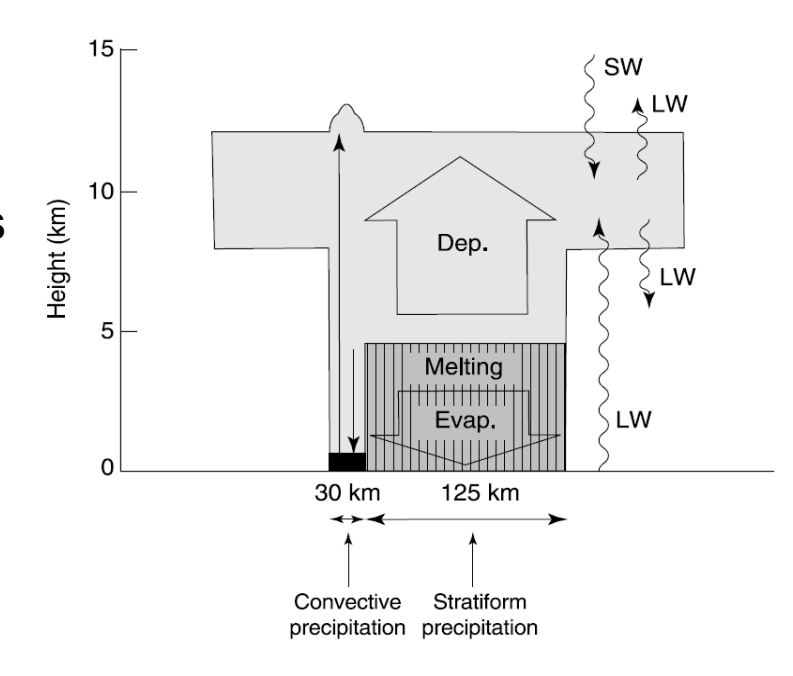
Les différents champs d'étude

Observations de terrain



http://www.cnrm-game.fr/

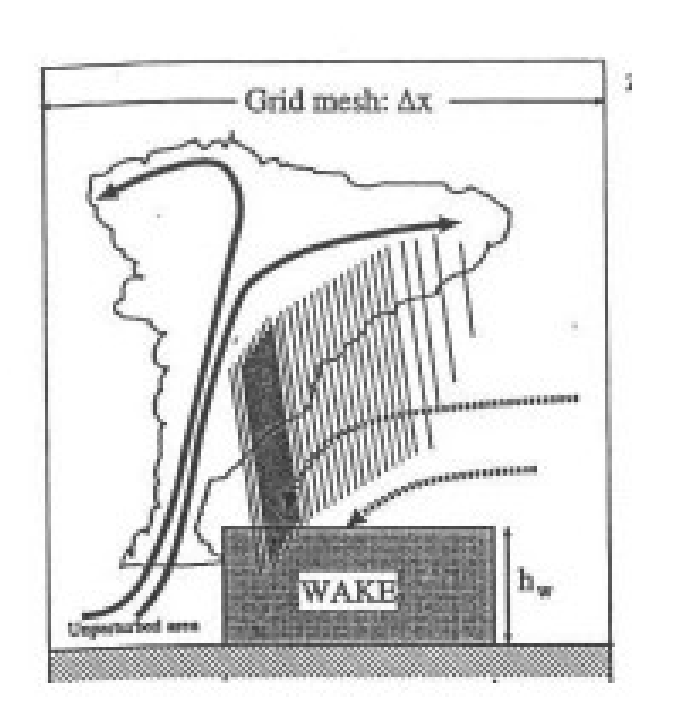
Schémas conceptuels simples



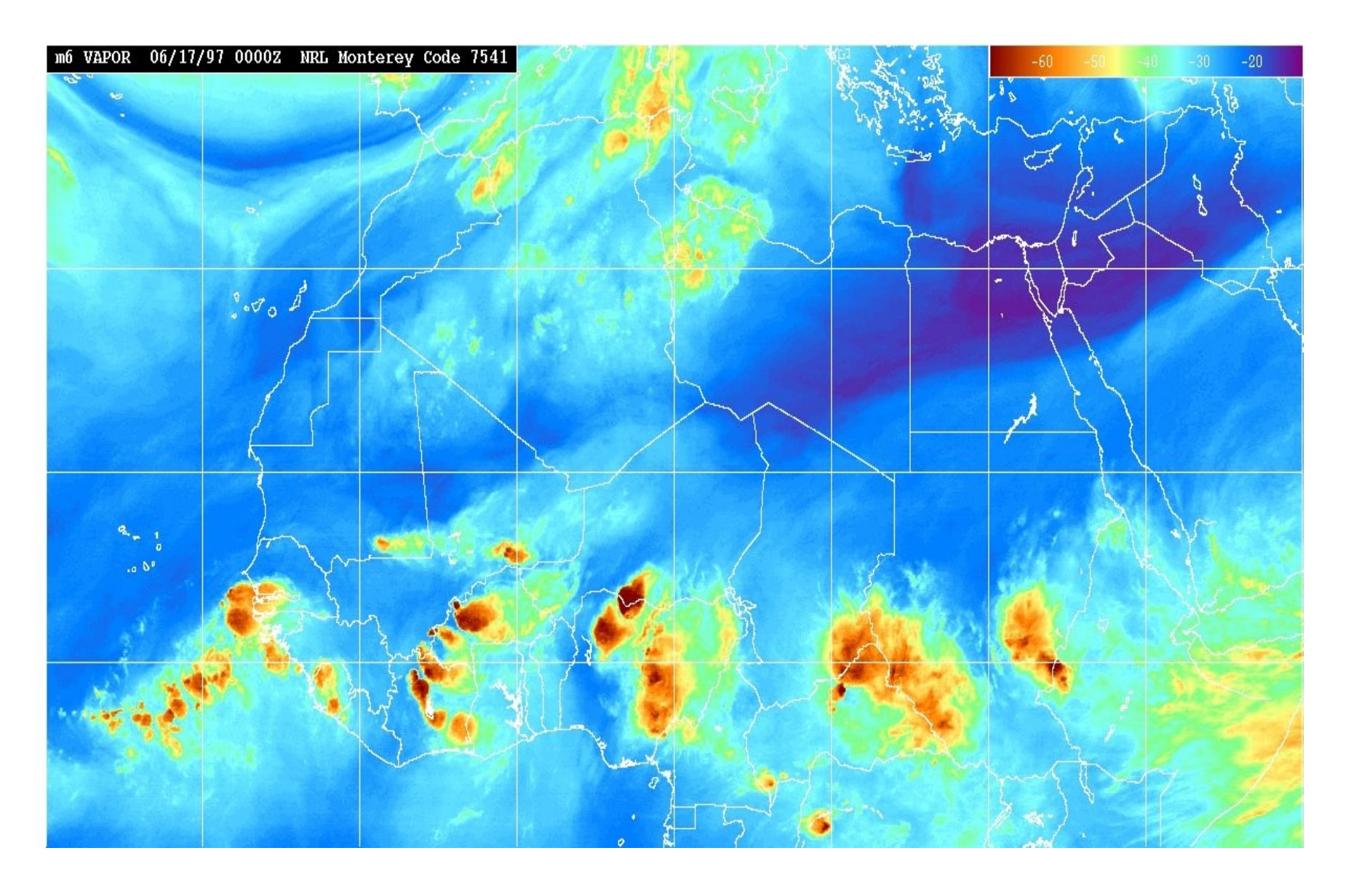
Etude des processus dans les simulations 3D



Mise en équation dans les modèles de climat

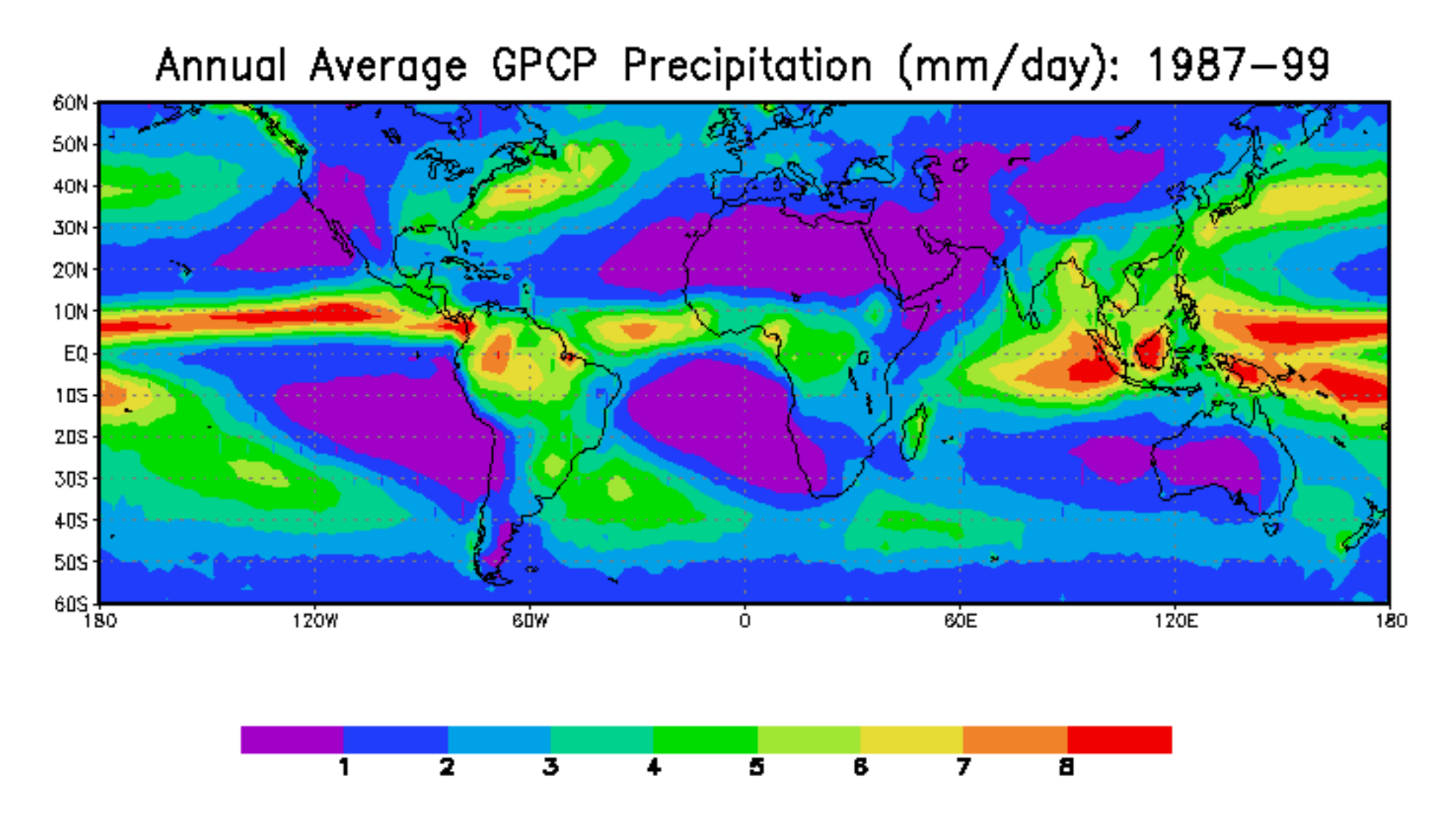


## 2. Convection nuageuse et pluie



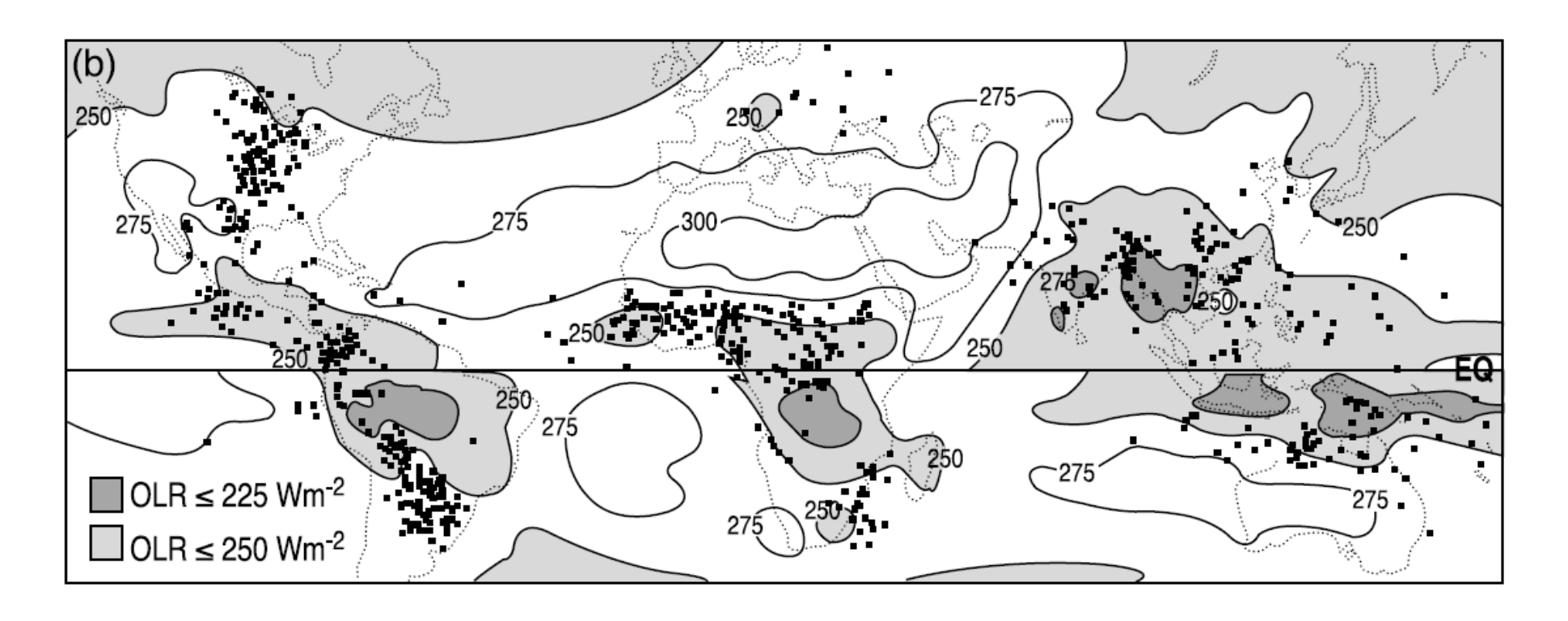
- 2.1 Systèmes convectifs et pluies globales
- 2.2 Le cycle diurne des pluies
- 2.3 Les pluies de mousson et l'oscillation de Madden Julian

Pluies moyennes globales



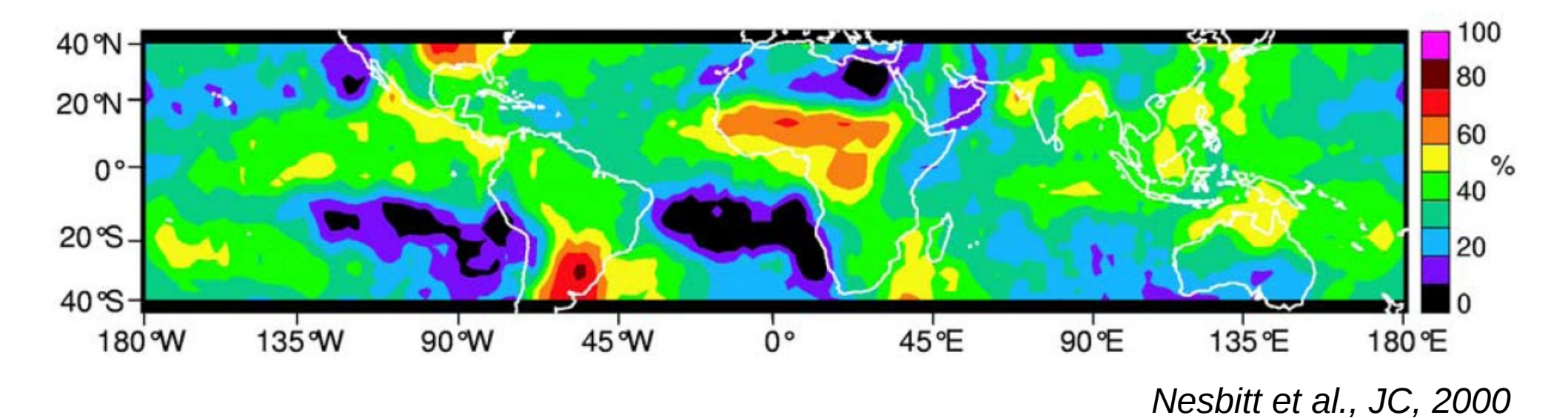
Il pleut principalement dans les régions tropicales

Distribution globale de MCS (points) et régions où la convection profonde est fréquente (gris)

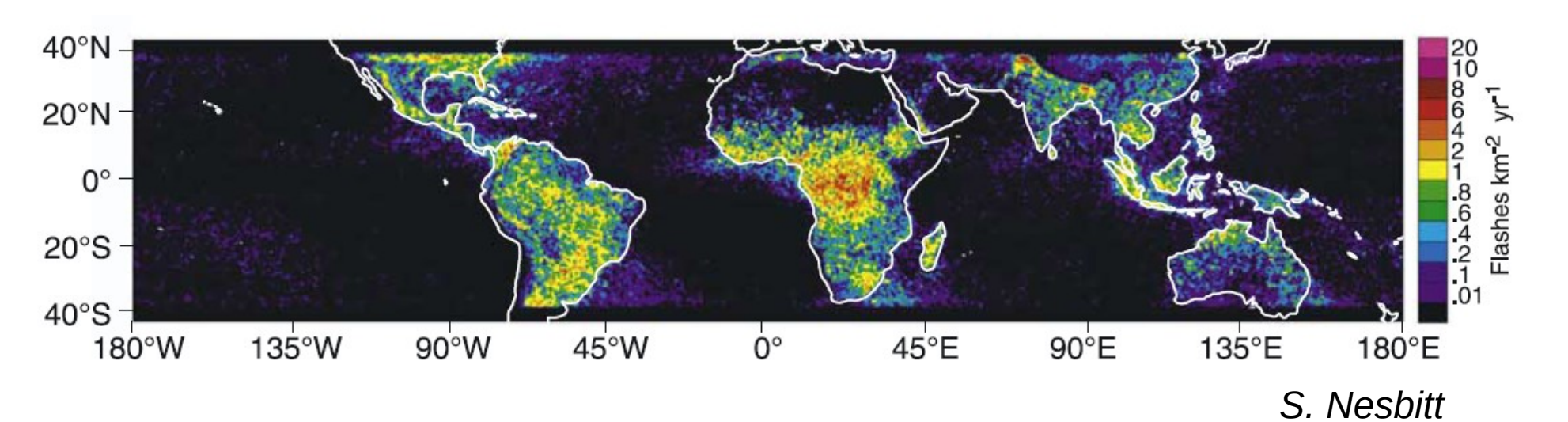


Laing et Fritsch, QJRMS, 1997

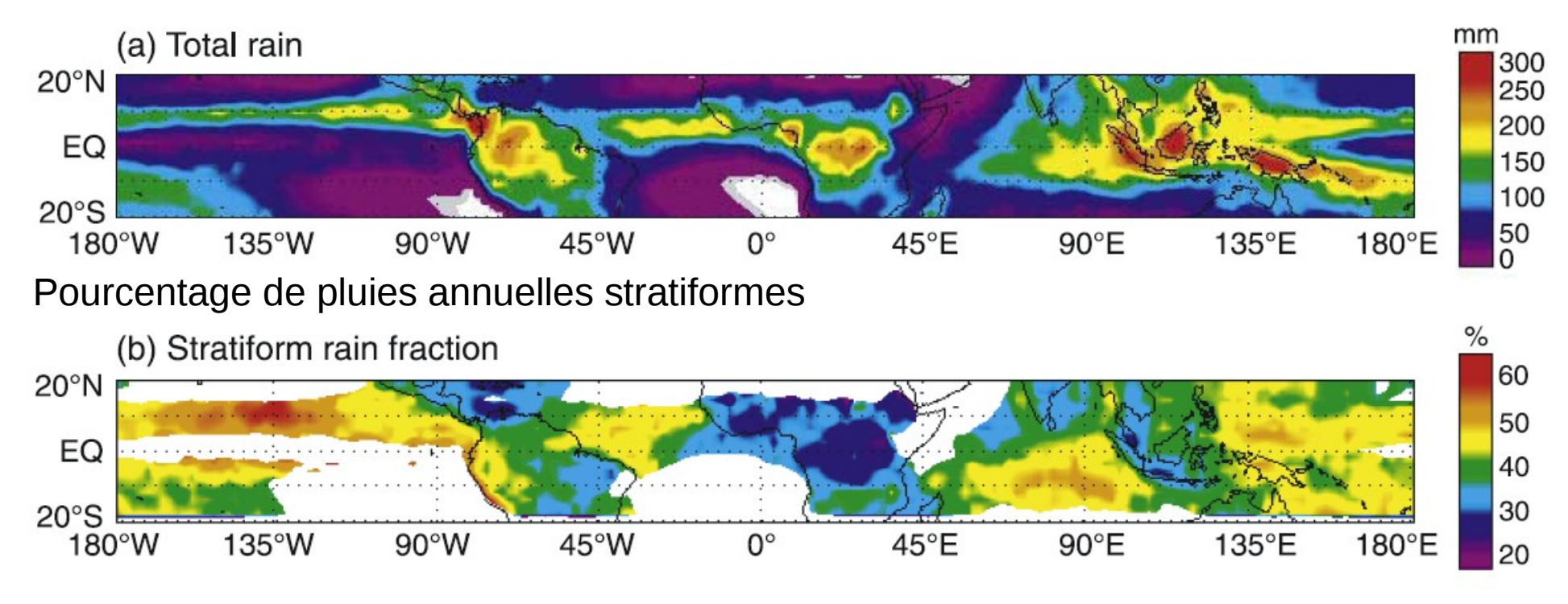
Pourcentage de MCSs avec un fort contenu en glace



#### Intensité moyenne annuelle des éclairs



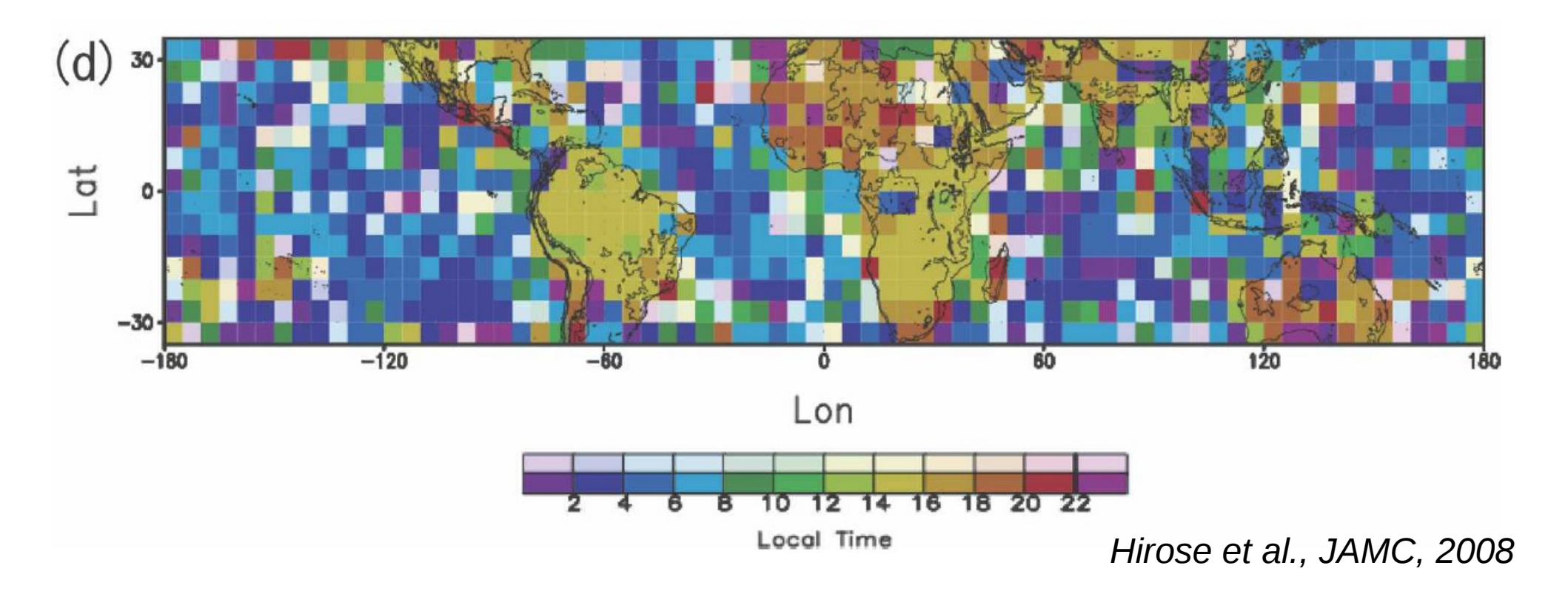
#### Pluies annuelles totales



C. Schumacher

Pourcentage de pluies stratiformes plus important sur océan que sur continent

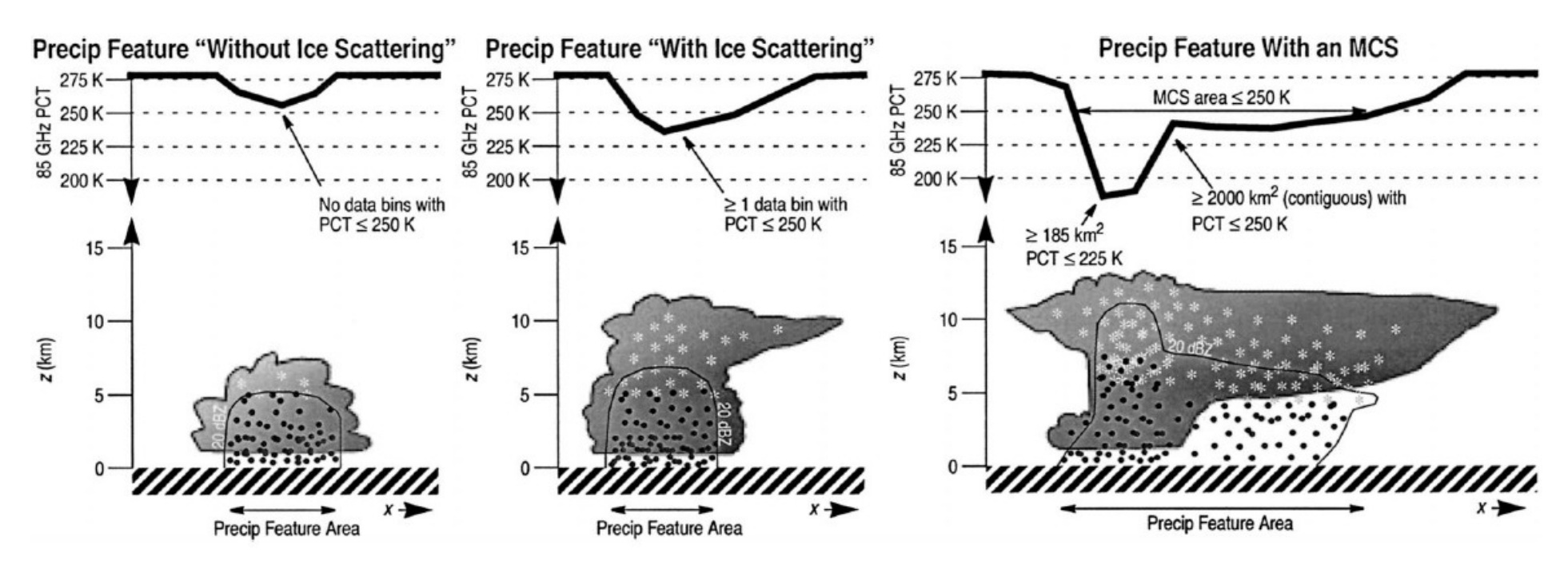
Heure locale observée du maximum de précipitations



Maximum de pluies entre 14h et minuit sur continents, entre 2h et 8h sur océans

Analyse de 3 ans d'observations de TRMM dans les Tropiques

Classification en 3 types de nuages précipitants



Nesbitt et al., Journal of Climate, 2000

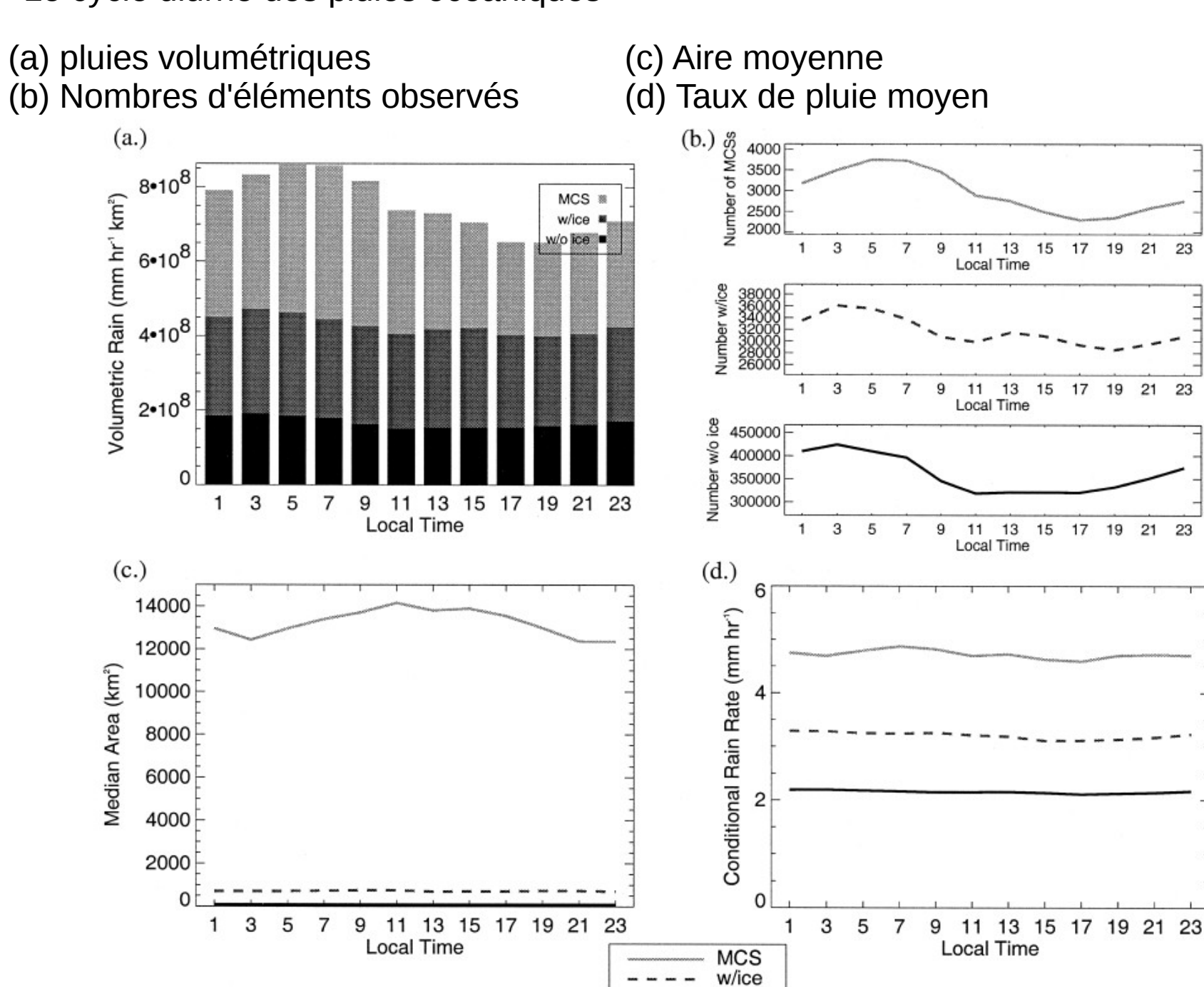
Le cycle diurne des pluies continentales

(a) pluies volumétriques (c) Aire moyenne (b) Nombres d'éléments observés (d) Taux de pluie moyen (p.) Number of MCSs (a.) 2500 2000 1500 Volumetric Rain (mm hr¹ km²) 1000 ■ w/ice w/o ice 11 13 Local Time 15 40000 30000 20000 2•10<sup>8</sup> Local Time 120000 100000 80000 60000 13 15 17 19 21 23 40000 Local Time 11 13 Local Time 15 17 19 (d.)(c.) 14000 Conditional Rain Rate (mm hr¹) 12000 Median Area (km²) 10000 8000 6000 4000 2000 11 13 15 17 19 21 23 13 15 17 19 21 23 3 5 11 Local Time Local Time MCS w/ice

w/o ice

Nesbitt et Zipser, Journal of Climate, 2003

Le cycle diurne des pluies océaniques

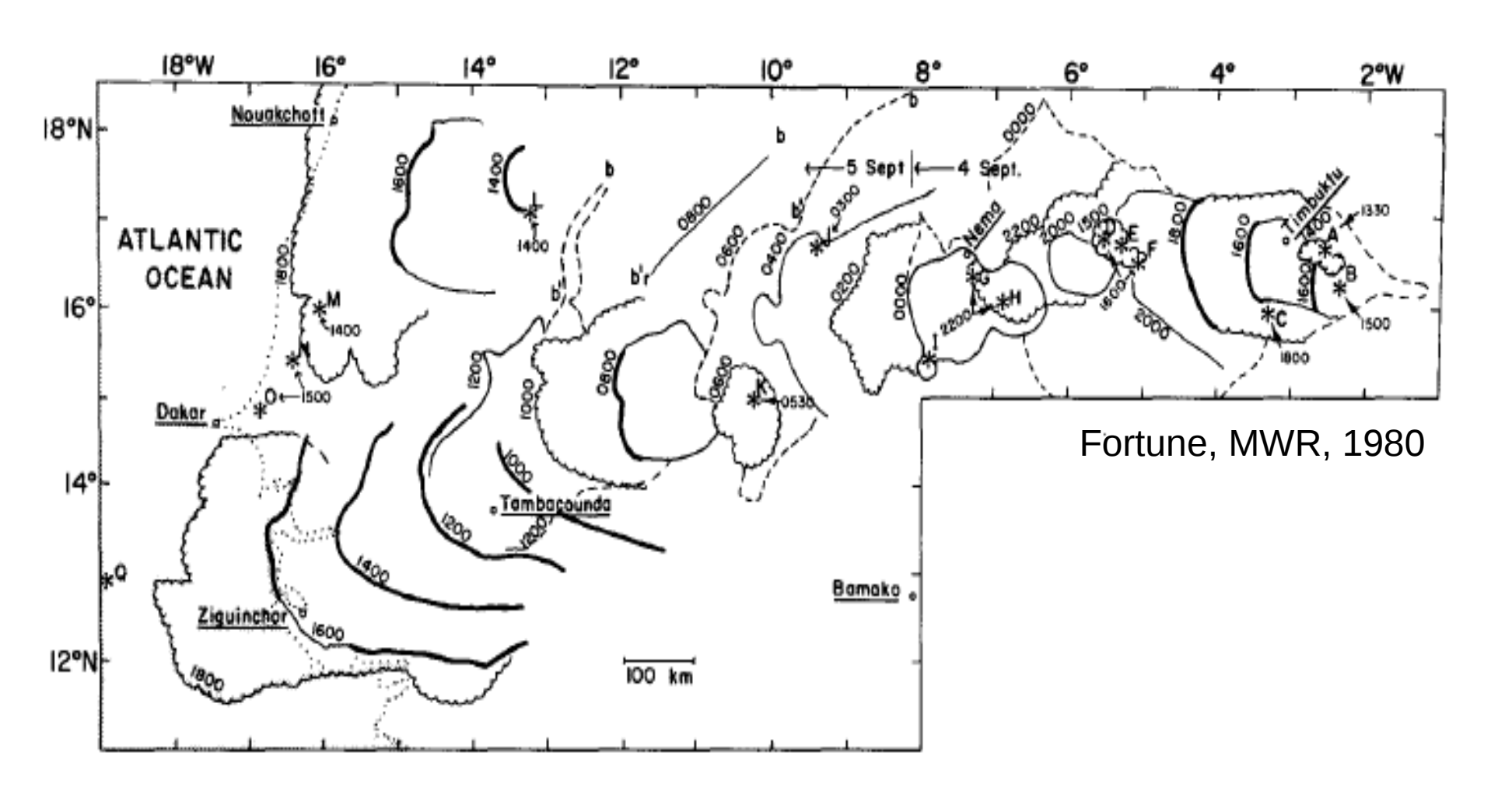


w/o ice

Nesbitt et Zipser, Journal of Climate, 2003

MCS et mousson africaine

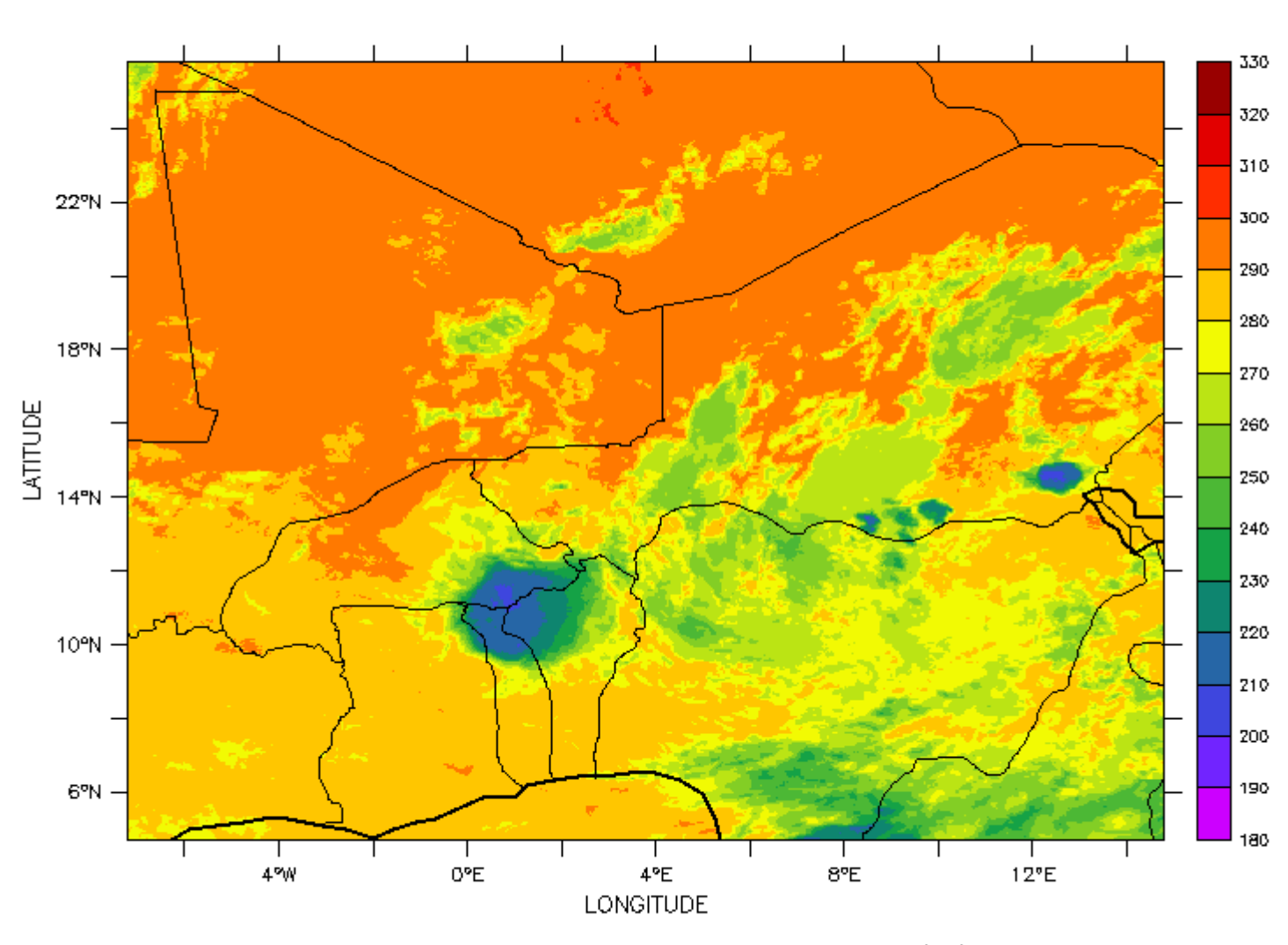
Propagation d'une ligne de grain sur l'Afrique les 4 et 5 septembre 1974



MCS et mousson africaine

Exemple du cas Hapex Sahel du 21 aout 1992

TIME: 21-AUG-1992 06:00



IR Brightness Temperature (K)

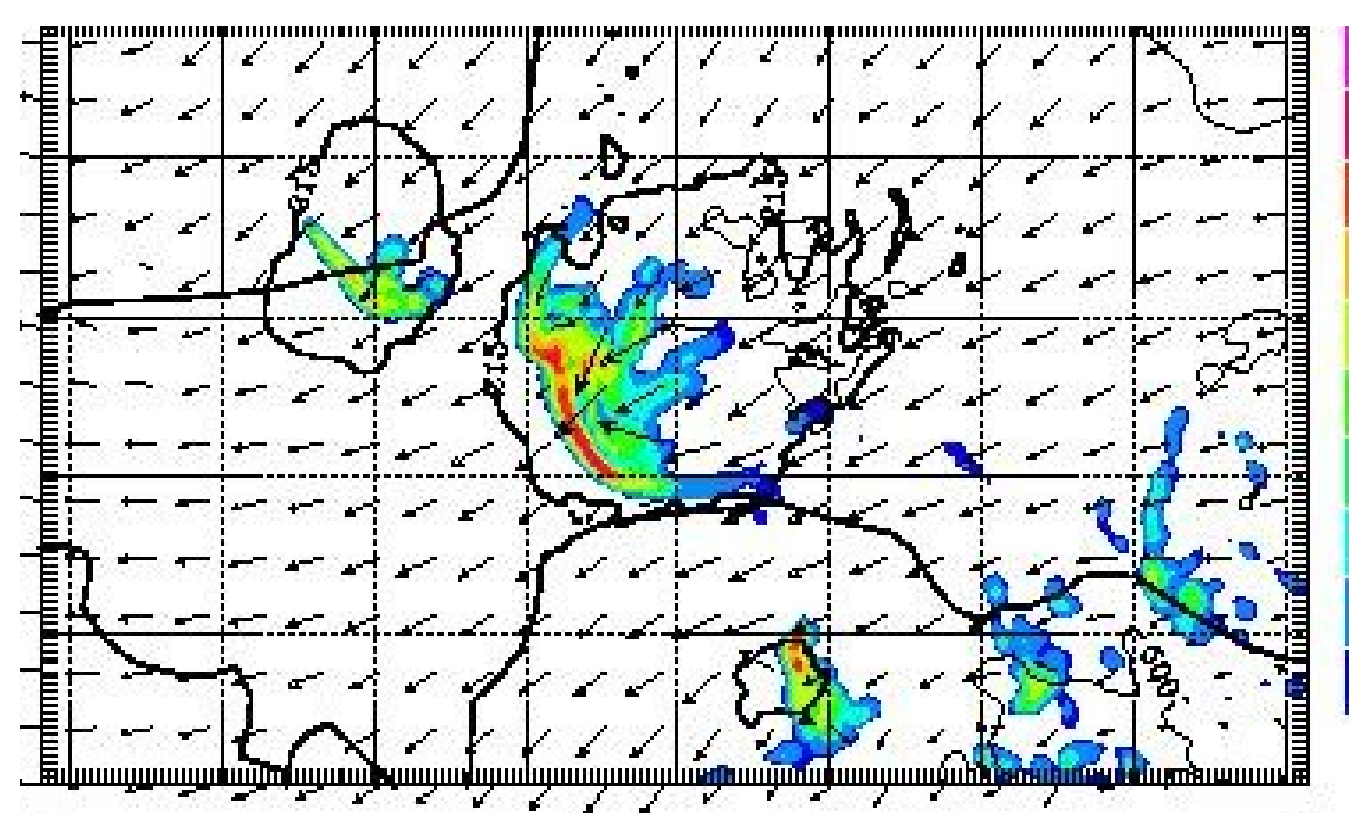
MCS et mousson africaine

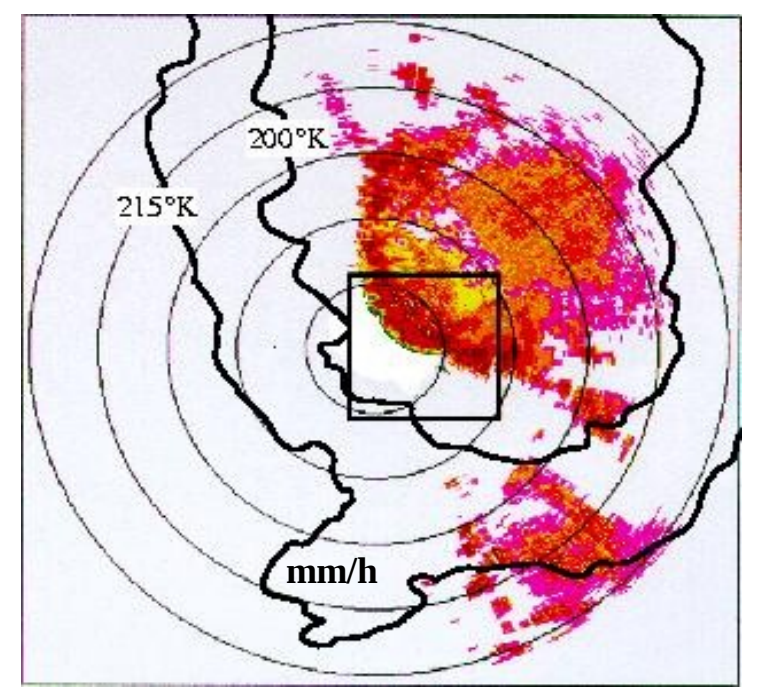
Exemple du cas Hapex Sahel du 21 aout 1992

Pluies observées

Pluies simulées par MESO-NH

30m/s Wind at 650 hPa and surface precipitation







22UTC 21 aout 1992 Stage mature

150.D

100.0

75.00

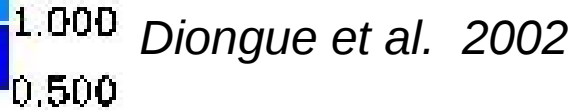
50.00

25.00

15,00

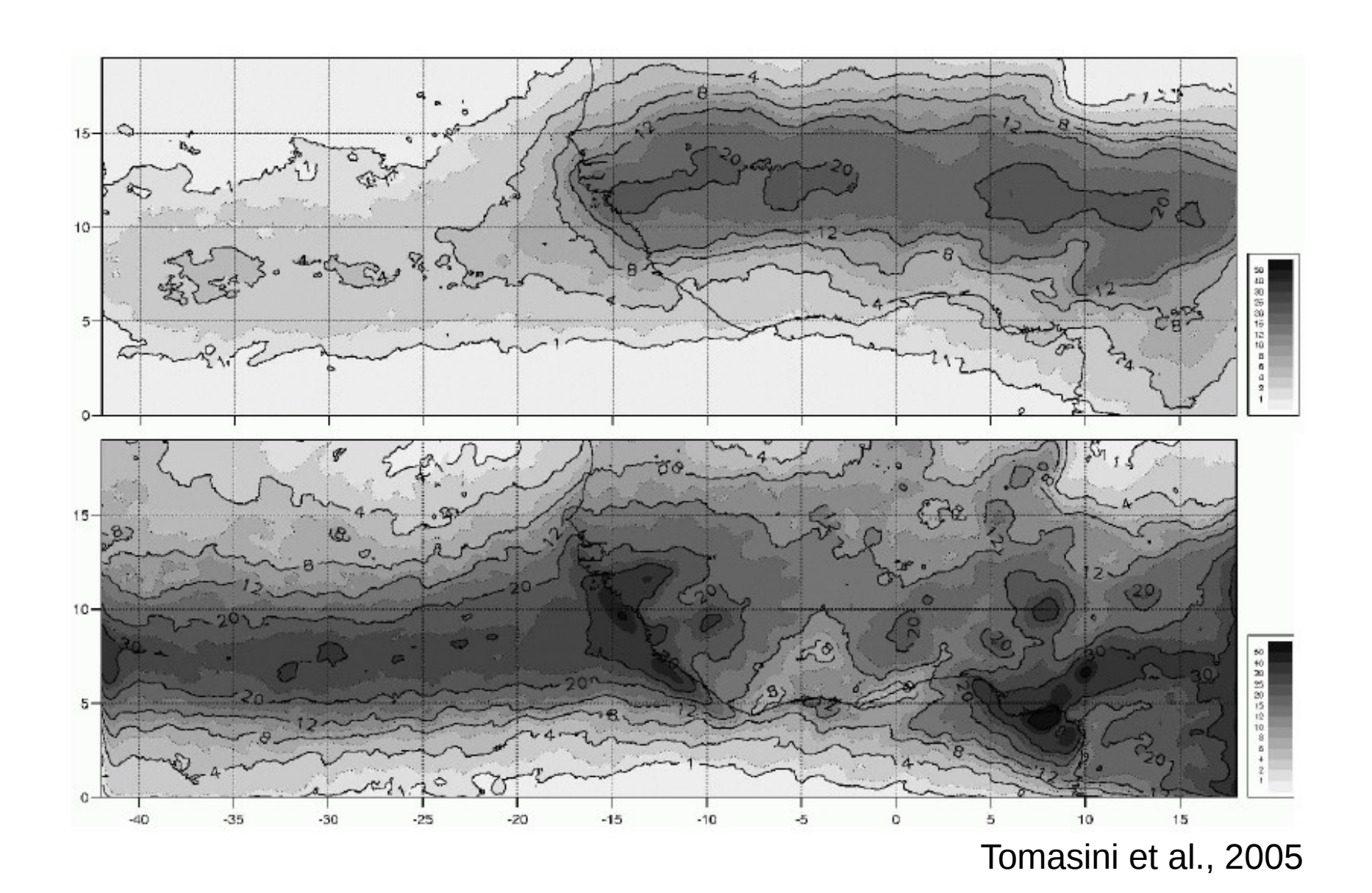
10.00

5.000



MCS et mousson africaine

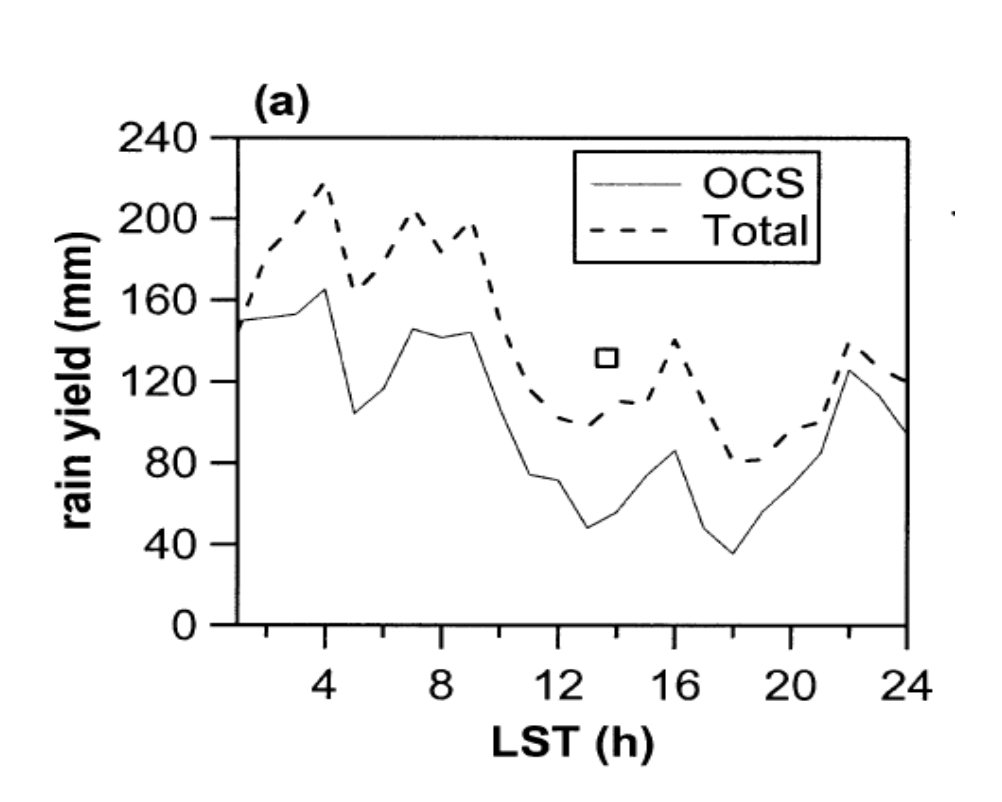
Nébulosité moyenne sur JJAS associée aux MCS rapides (>10m/s) et aux MCS lents (<10m/s)

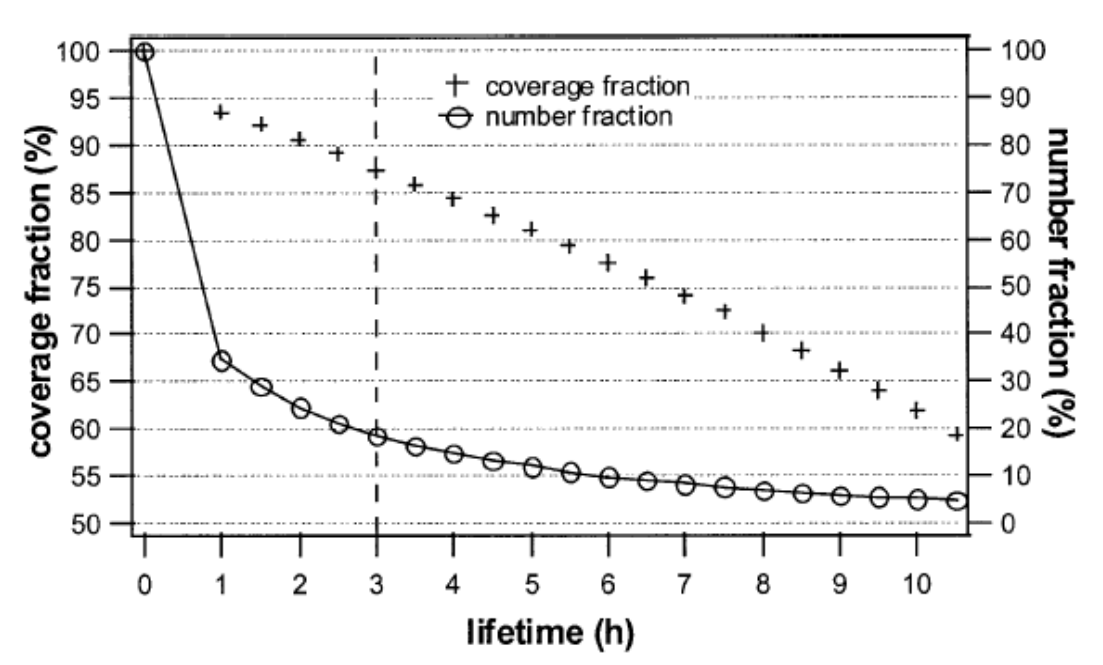


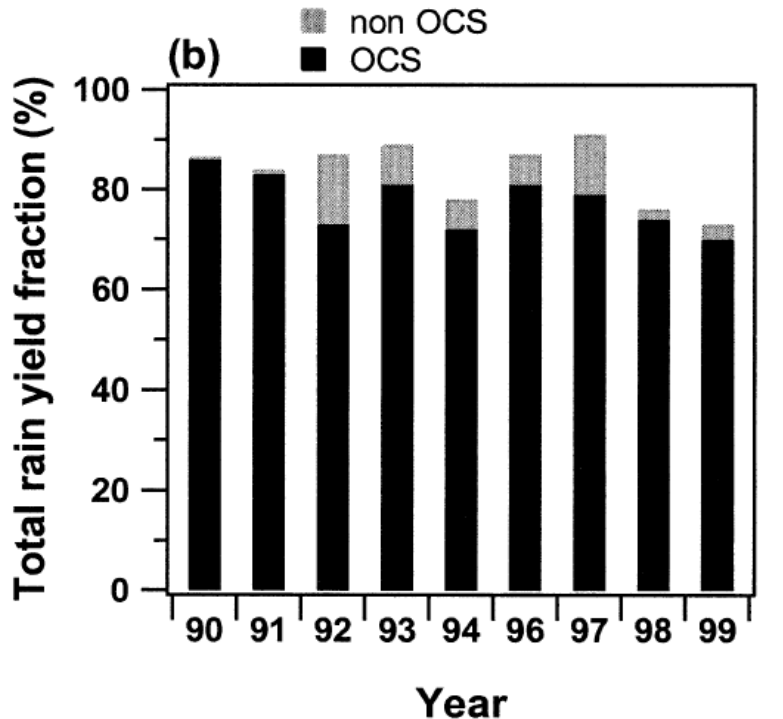
MCS et mousson africaine

Les systèmes convectifs "organisés"

- représentent 12% des systèmes
- contribuent à 80% de la fraction nuageuse convective
- contribuent à 90% des pluies





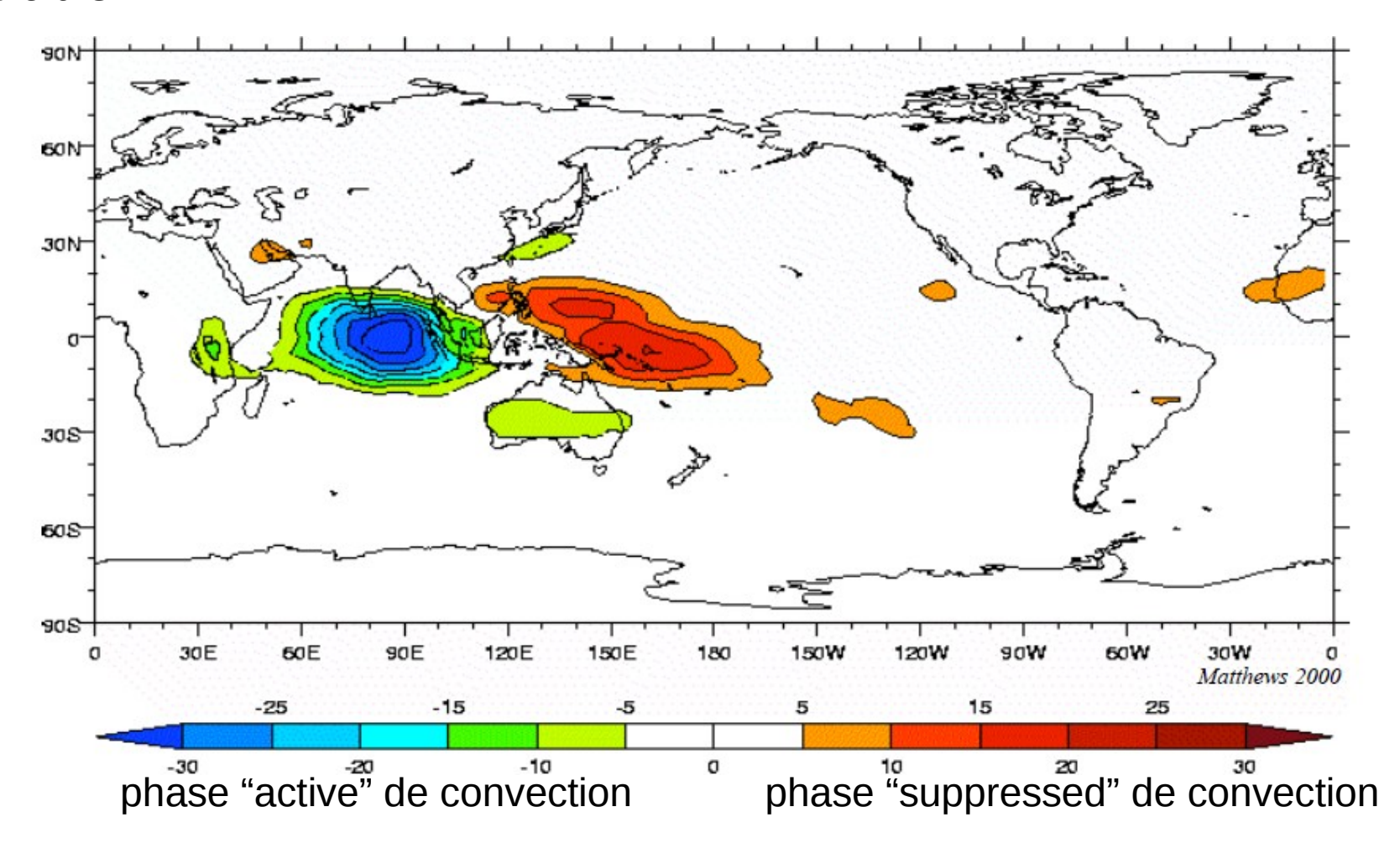


Mathon et al., JAM, 2002

#### L'oscillation de Madden-Julian (MJO)

- onde de périodicité de 30 à 60 jours
- propagation moyenne vers l'est le long de l'équateur.
- mode de variabilité qui module les variations météorologiques dans les Tropiques.

#### Anomalie d'OLR

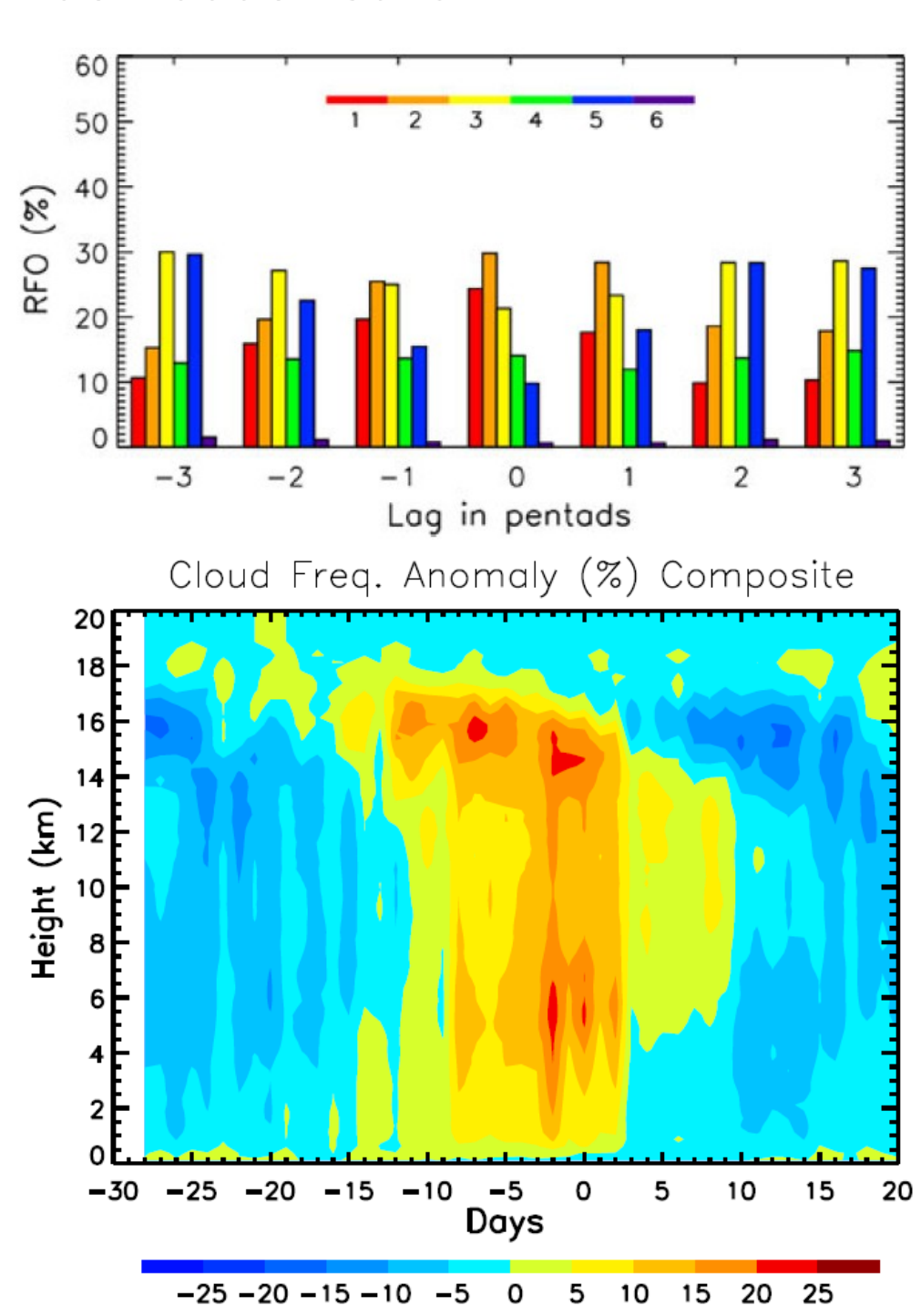


### L'oscillation de Madden-Julian (MJO)

Composite de fréquence d'occurence des différents types de nuages avant et après le maximum de convection

- 1. convection profonde
- 2. enclume
- 3. congestus
- 4. cirrus
- 5. cumulus
- 6. stratocumulus

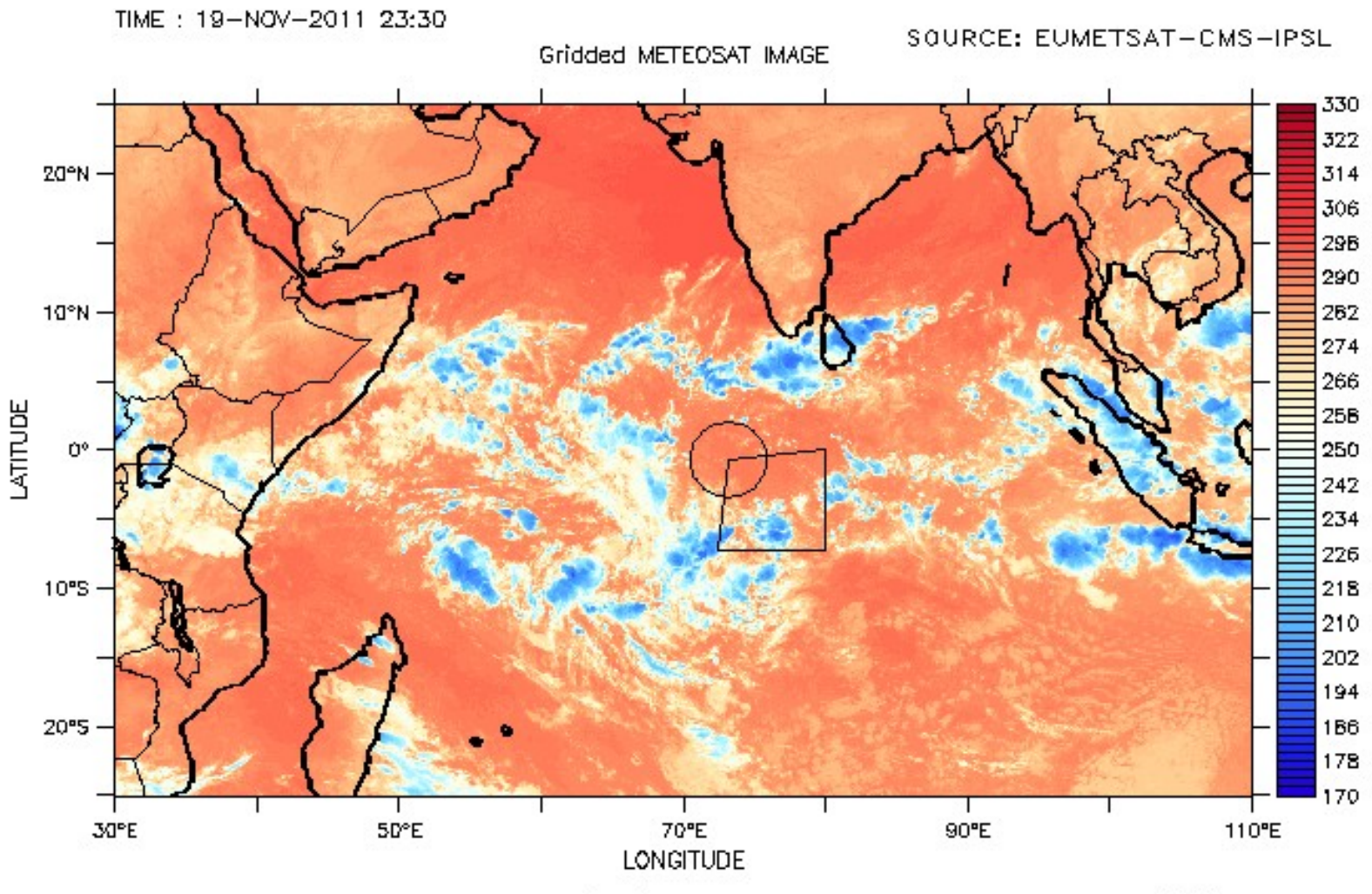
Anomalies de couverture nuageuse



(%)

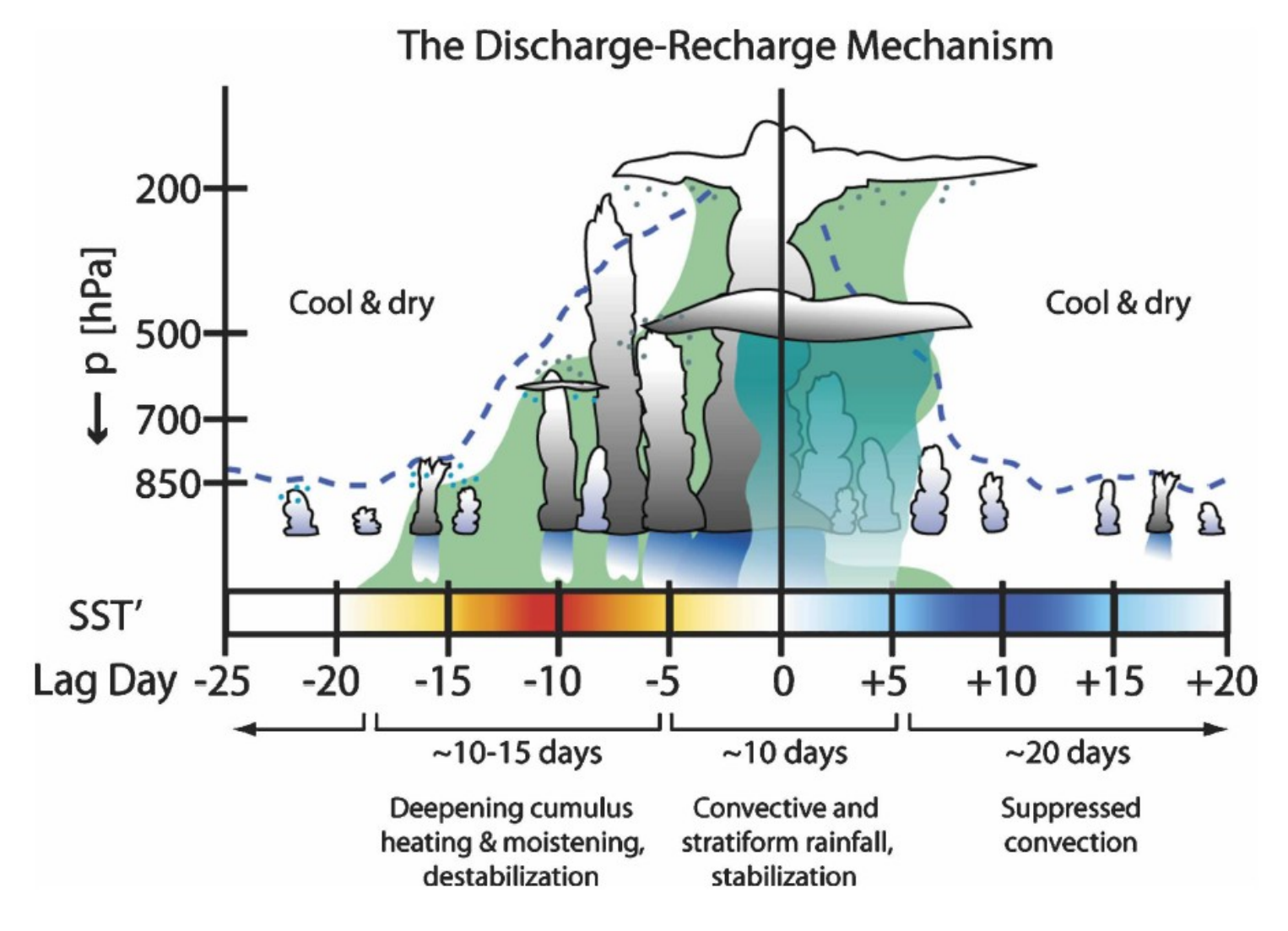
Campagne CINDY-DYNAMO Evênement MJO du 20 novembre au 10 décembre 2011

#### OLR vue par Météosat



METEOSAT\_7 Infrared (IR) Brightness Temperature (K)

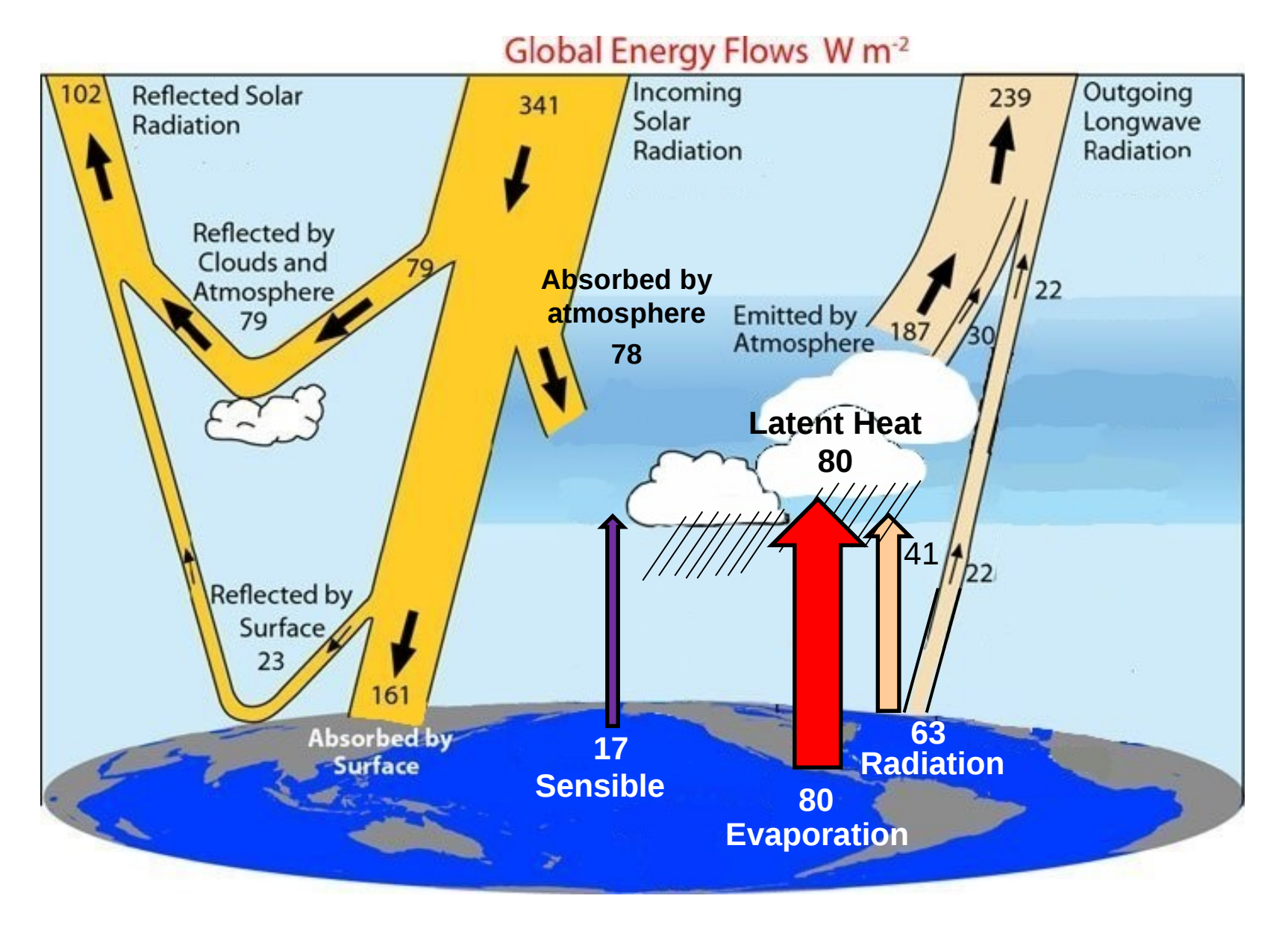
L'oscillation de Madden-Julian (MJO)



Benedict et Randall, JAS, 2007

- Recharge de l'humidité troposphérique par les cumulus peu profonds
- Décharge de l'humidité troposphérique par les pluies et la subsidence compensatoire

## 3. Convection nuageuse et rayonnement



Adapté de [Trenberth & Fasullo, 2012]

#### Rappels sur le forçage radiatif des nuages

Variation du bilan radiatif de la Terre qui résulterait de la disparition de tous les nuages

Le forçage radiatif des nuages: (cloud radiative forcing) une mesure de l'effet des nuages sur le rayonnement

LWCRF = LW ciel clair - LW ciel total SWCRF = SW ciel clair - SW ciel total

LWCRF est plutôt positif car les nuages sont plus froids que la surface (σT<sup>4</sup>) SWCRF est plutôt négatif car les nuages sont plus brillants que la surface

NetCRF = LWCRF+SWCRF

Si NetCRF >0 alors un effet globalement de réchauffement de la planète Si NetCRF < 0 alors un effet globalement de refroidissement de la planète Rappels sur le forçage radiatif des nuages

Forçage radiatif LW

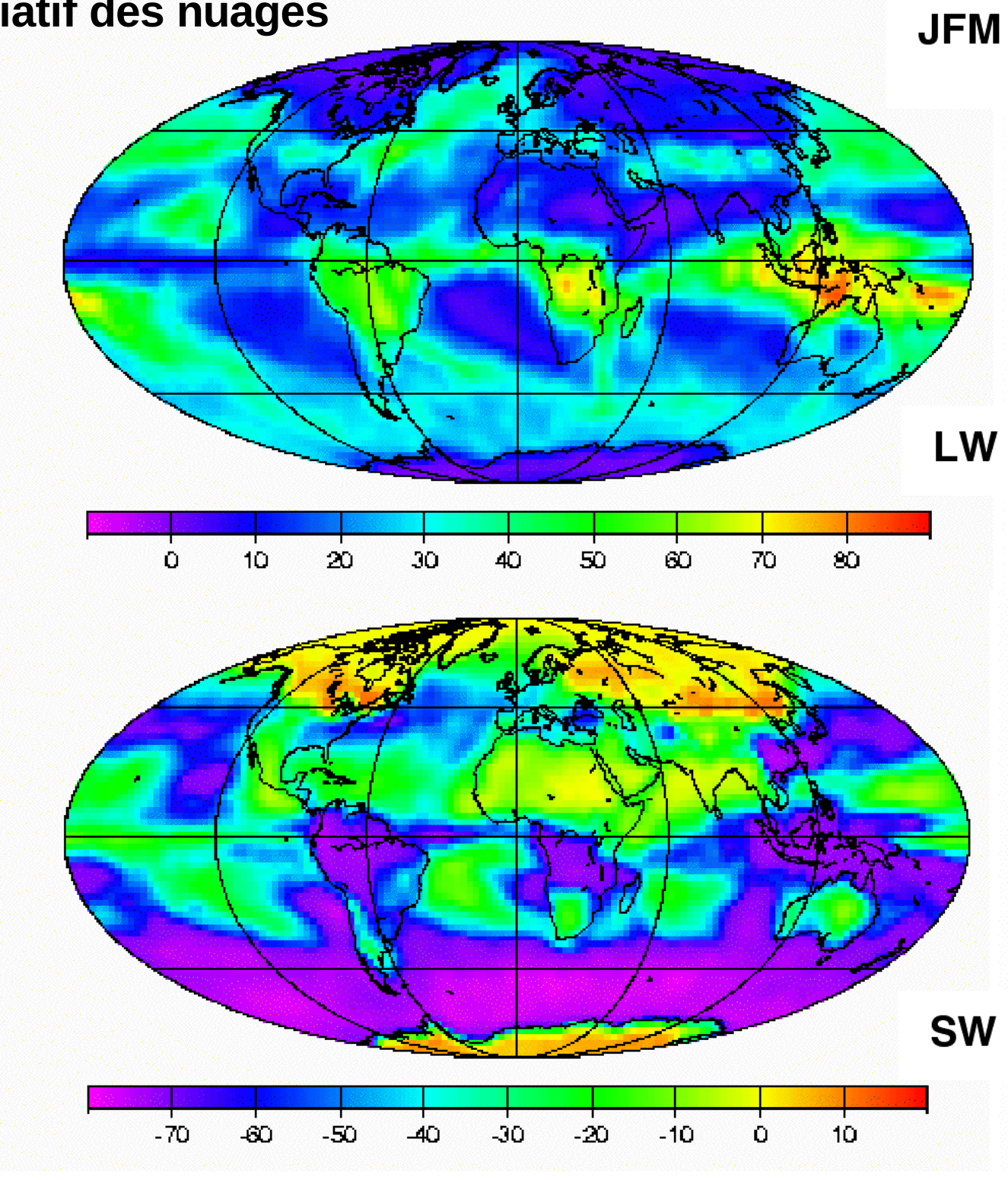
Positif: les nuages diminuent l'énergie réfléchie

Moyenne annuelle: +29W/m2

Forçage radiatif SW

Négatif: les nuages diminuent l'énergie absorbée

Moyenne annuelle: -47W/m2

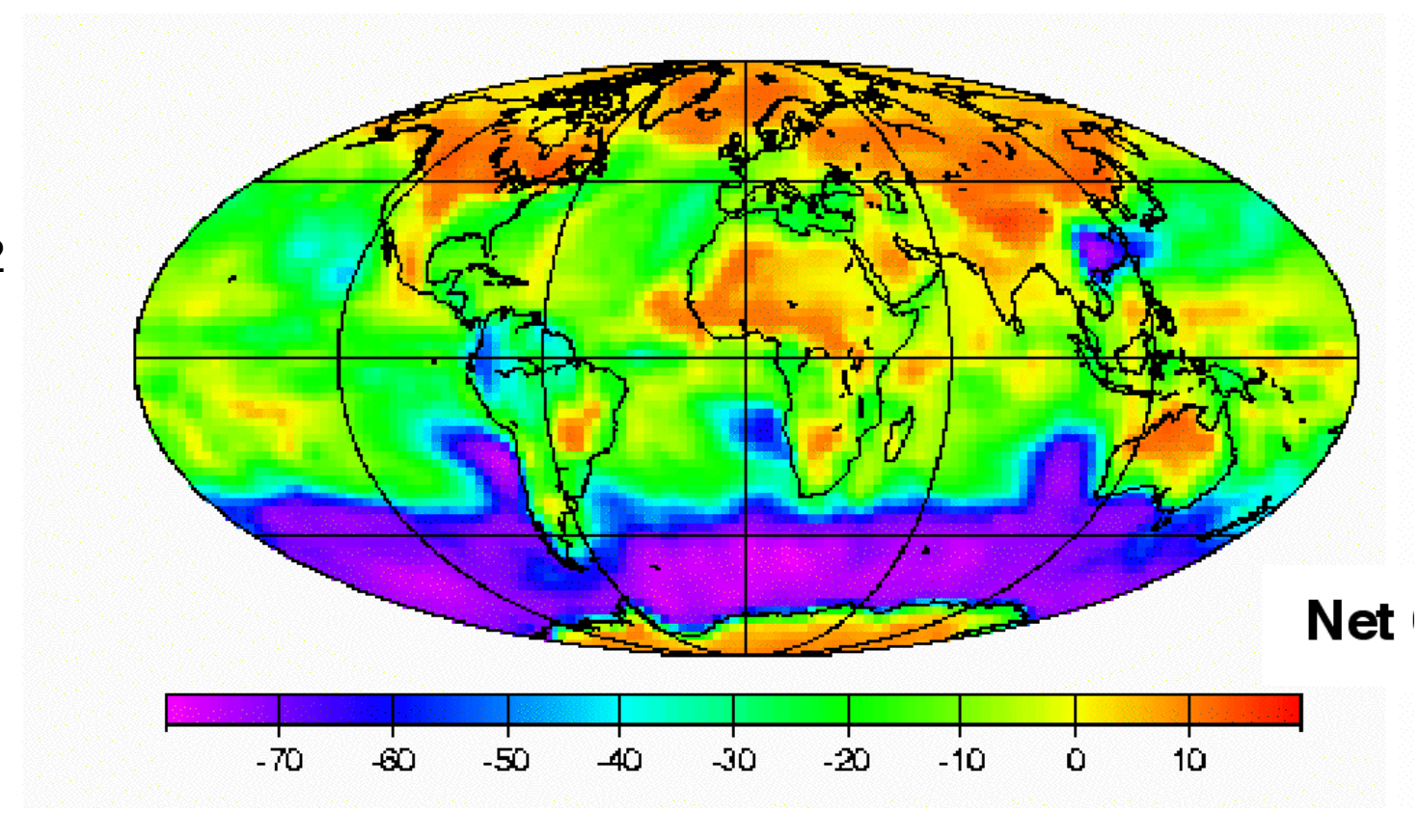


### Rappels sur le forçage radiatif des nuages

Forçage radiatif net

Moyenne annuelle: -18W/m2

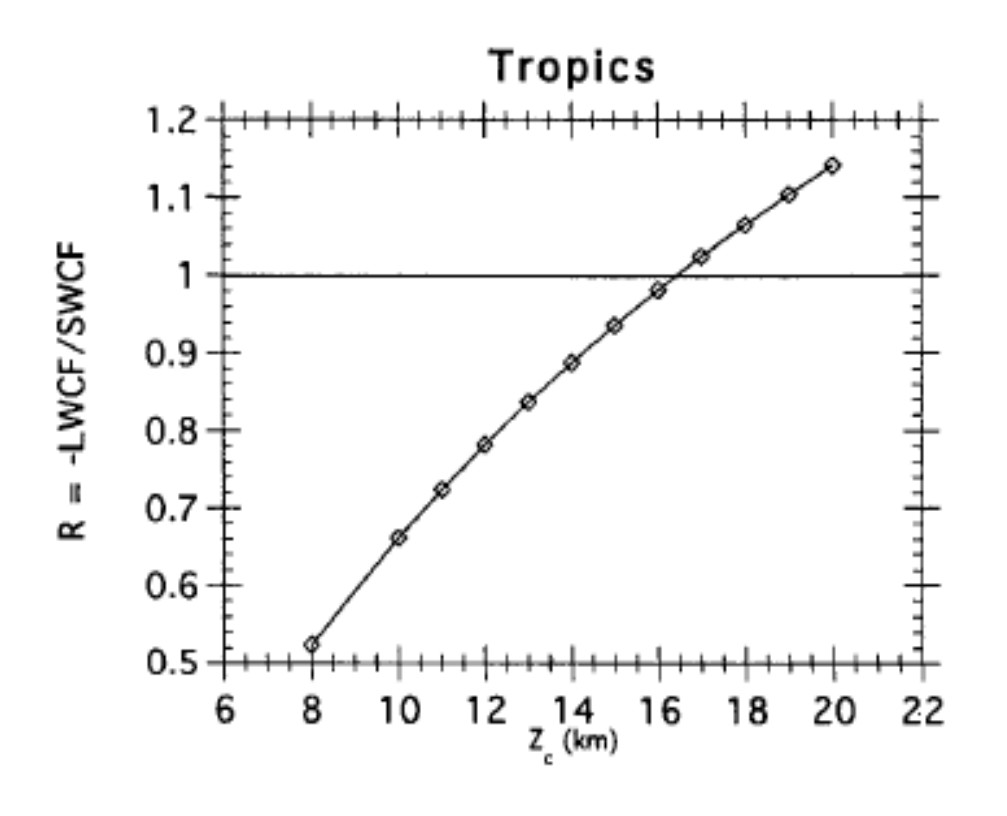
Globalement, l'effet des nuages est de refroidir la planète.

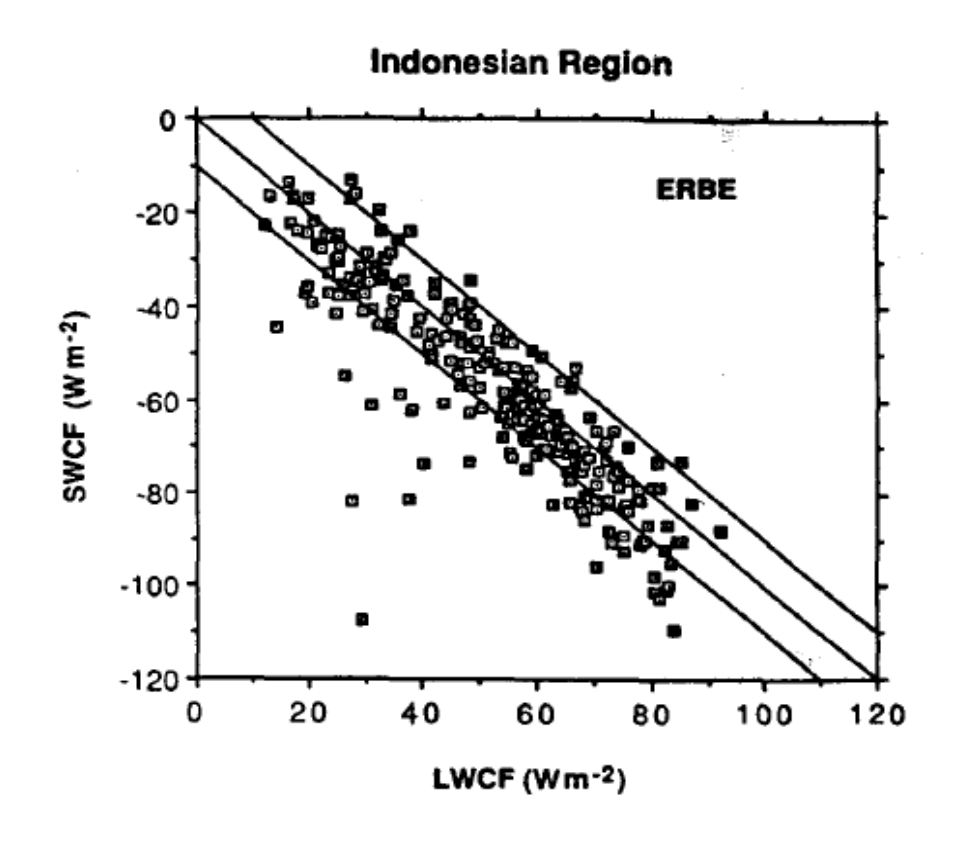


On observe une quasi-annulation du forçage radiatif net des nuages dans certaines régions des Tropiques

#### **Introduction du TP**

Kiehl (1994) propose un modèle simple pour expliquer cette quasi-annulation du forçage radiatif net dans les Tropiques





$$R = -\frac{\text{LWCF}}{\text{SWCF}}$$

$$= \frac{\sigma T_s^4 \left[1 - \left(1 - \frac{\Gamma z_c}{T_s}\right)^4\right] - G_a(0, z_c)}{0.5Q}. \quad (15)$$

Quelle est l'altitude d'un unique nuage "noir" telle que le forçage radiatif LW soit égal au forçage radiatif SW?